UNIVERSIDADE DE SÃO PAULO FACULDADE DE MEDICINA DE RIBEIRÃO PRETO

CRISTIANE MARIA MÁRTIRES DE LIMA

INGESTÃO AGUDA DE LIPÍDEOS E ALTERAÇÃO DA PERFUSÃO CEREBRAL DE PACIENTES OBESOS.

Versão definitiva. Versão anterior se encontra na Comissão de Pós-Graduação.

Ribeirão Preto

Cristiane Maria Mártires de Lima

INGESTÃO AGUDA DE LIPÍDEOS E ALTERAÇÃO DA PERFUSÃO CEREBRAL DE PACIENTES OBESOS.

Tese de Doutorado apresentada ao Programa de Pós-Graduação em Clínica Médica do Departamento de Clínica Médica da Faculdade de Medicina de Ribeirão Preto, da Universidade de São Paulo, para obtenção do Título de Doutor em Ciências.

Orientador: Prof. Dr. Julio Sergio Marchini.

Ribeirão Preto

Autorizo a reprodução e divulgação total ou parcial deste trabalho, por qualquer meio convencional ou eletrônico, para fins de estudo e pesquisa, desde que citada a fonte.

Lima, Cristiane Maria Mártires de

Ingestão aguda de lipídeos e alteração da perfusão cerebral de pacientes obesos. Cristiane Maria Mártires de Lima. Ribeirão Preto, 2015.

88f.

Tese de Doutorado apresentada à Faculdade de Medicina de Ribeirão Preto – USP / Área de Concentração: Clínica Médica.

Orientador: Marchini, Júlio Sérgio

1 - Obesidade. 2 - Lipídeos. 3 - Perfusão Cerebral. 4 - SPECT

LIMA, C.M.M.

Ingestão aguda de lipídeos e alteração da perfusão cerebral de pacientes obesos.

Tese apresentada à Faculdade de Medicina de Ribeirão Preto – Universidade de São Paulo, para obtenção de Doutor em Ciências Médicas.

A	nro	vad	0	em:
$\boldsymbol{\Gamma}$	o	vau	U	CIII.

Banca Examinadora

Prof(a). Dr(a).:		
Assinatura:		
Prof(a). Dr(a).:		
Assinatura:		
Prof(a). Dr(a).:		
Assinatura:		
Prof(a). Dr(a).:		
Assinatura:		
Prof(a). Dr(a).:		
Assinatura:		

Dedico este trabalho ao meu noivo José Henrique da Silva, cujo amor, companheirismo, paciência e força inesgotáveis diante de quaisquer adversidades me possibilitaram essa conquista.

Também o ofereço ao meu sobrinho David, cuja perseverança diária me ensinou a não desistir.

AGRADECIMENTOS

Em primeiro lugar, agradeço aos meus pais João Amazonas Vieira de Lima e Maria das Graças Mártires de Lima e a minha irmã Luciane Maria Mártires de Lima Fridschtein por tudo que me ensinaram, pela fé que depositam em mim e por serem meu porto seguro.

A meu noivo José Henrique da Silva, meu grande companheiro nesta jornada cujo amor e dedicação me tornaram tanto uma pessoa como uma profissional melhor. As minhas amigas Luciane da Rocha Amorim, Ana Cristina Suarez Sicchar e Josephine Marie Fish Cardoso que sempre me apoiaram e incentivaram.

Ao meu orientador Prof. Dr. Julio Sergio Marchini por seu constante incentivo, disponibilidade e generosidade em transmitir seus conhecimentos e experiências.

Agradeço expressamente ao Prof. Dr. Lauro Wichert Ana cujo auxílio intelectual e infraestrutura física por ele dispensada foram essenciais para a realização deste projeto. Aos enfermeiros, auxiliares administrativos e técnicos de enfermagem do Serviço de Medicina Nuclear do Hospital das Clínicas da Faculdade de Medicina da USP de Ribeirão Preto (HCFMRP). Aos alunos de pós-graduação em Física Médica, em especial Daniele Kanashiro Sonvenso e Leonardo Alexandre Santos, que muito contribuíram para a processamento das imagens obtidas.

Às enfermeiras e auxiliares administrativas da Unidade de Pesquisa Clínica do HCFMRP onde as voluntárias foram admitidas nos dias de realização dos testes.

À enfermeira Silvia Aparecida Souza Babo e técnicas de Enfermagem Patrícia Fidélis, Júlia Furlan, Aparecida Ribeiro e Lucelina de Castro, da Unidade Metabólica do HCFMRP, que nos auxiliaram na coleta dos exames para a triagem das voluntárias.

À enfermeira Maria do Rosário Del Lama de Unamuno que nos auxiliou na coleta das dosagens séricas de hormônios e metabólitos durante a realização dos testes. Ao químico Gilberto João Padovan pelo seu empenho no laboratório relacionado ao processamento e armazenamento das amostras coletadas e à biomédica Mônica Silva de Souza Meirelles cujo auxílio foi fundamental para a realização das dosagens laboratoriais.

Agradeço em especial à FAPESP que por meio do processo de auxílio à pesquisa número 2012/03485-2 e do processo de bolsa de doutorado número 2012/21626-2 apoiaram este estudo.

Dedico meus sinceros agradecimentos à banca examinadora e respectivas contribuições, bem como a todos aqueles que direta ou indiretamente contribuíram para a realização deste projeto.

RESUMO

LIMA, C. M. M. Ingestão aguda de lipídeos e alteração da perfusão cerebral de pacientes obesas. 2015. 88f. Tese (Doutorado) - Faculdade de Medicina de Ribeirão Preto - Universidade de São Paulo, Ribeirão Preto, 2015.

A obesidade humana é caracterizada pelo acúmulo corporal de tecido adiposo branco. Sua fisiopatologia não pode ser somente explicada por um desequilíbrio entre ingestão e consumo de energia. Há uma série de fatores genéticos, humorais, ambientais e comportamentais interligados contribuindo para um balanço energético positivo e consequente ganho ponderal. Na regulação do comportamento alimentar, periferia e sistema nervoso central interagem por meio de sinais de fome e saciedade deflagrados por nutrientes ingeridos e peptídeos gastrointestinais. Todavia, pouco ainda se conhece sobre a ingestão de nutrientes isolados e suas repercussões no cérebro. Dessa forma, nossa hipótese é que a ingestão de lipídeo provoque alterações na atividade cerebral relacionadas à obesidade. Objetivos: Identificar quais regiões cerebrais são funcionalmente relacionadas à ingestão de lipídeos. Comparar a perfusão cerebral de voluntárias com e sem obesidade. Correlacionar alterações do fluxo sanguíneo cerebral com a gordura corporal e níveis séricos de glicose, triacilglicerois, insulina e leptina. Materiais e Métodos: Ensaio clínico, aleatorizado e cego envolvendo dois grupos de pessoas. Dez mulheres com obesidade e dez sem obesidade foram avaliadas por meio de exame clínico, calorimetria indireta, bioimpedância elétrica, exames laboratoriais (dosagens séricas de glicose, insulina, leptina e triacilglicerois) e Single-photon Emission Tomography cerebral após ingestão de água e de solução lipídica, tendo sido as voluntárias controles de si mesmas. **Resultados**: As médias (desvios padrão) do índice de massa corporal dos grupos sem e com obesidade foram respectivamente 21 (1,7) e 35 (3) kg/m². Também houve diferenças entre os grupos nas seguintes variáveis expressas em valores aproximados por média (desvio padrão): pressões arteriais sistólica - 107 (13) x 118 (12) mmHg, diastólica - 64 (10) x 74 (8) mmHg, HDL-colesterol - 53 (13) x 39 (6) mg/dL, nas glicemias dos tempos 0 - 82 (8) x 90 (5) mg/dL e 120 minutos do teste oral de tolerância à glicose - 84 (13) x 100 (18) mg/dL e gordura corporal - 17 (5) x 38 (3) kg. Em mulheres com obesidade, após ingestão de solução lipídica, houve redução da perfusão em regiões do lobo frontal, lobo temporal, ínsula, tronco cerebral, cerebelo, tálamo, putâmen, globo pálido, hipocampo, giro parahipocampal e opérculo frontal. Já em mulheres sem obesidade, após ingestão do mesmo desafio alimentar, foi observado aumento de perfusão em regiões anteriores do lobo frontal e do cíngulo anterior. As alterações encontradas não parecem ter relação com absorção lipídica. Discussão e conclusão: O aumento da perfusão cerebral no córtex pré-frontal, observado após a ingestão de solução lipídica apenas em pacientes sem obesidade, pode representar um maior controle do comportamento alimentar nesse grupo de pacientes. Por outro lado em pacientes com obesidade, após ingestão de água houve maior ativação de circuitos relacionados ao reconhecimento de sensações como fome e sede, associada após a ingestão de solução lipídica, à redução da perfusão em regiões envolvidas em regiões sensoriais gustatórias o que pode estar relacionado a uma ingestão alimentar aumentada decorrente de recompensa consumatória prejudicada. Ambos os mecanismos, isolados ou em conjunto, podem resultar em controle inapropriado do peso corporal e consequente obesidade.

Palavras chave: Obesidade. Lipídeo. SPECT. Leptina. Insulina.

ABSTRACT

Human obesity is characterized by body accumulation of white adipose tissue. The pathophysiology can not be explained only by an imbalance between energy intake and consumption. There are a number of genetic, humoral, environmental and behavioral factors interconnected contributing to a positive energy balance and subsequent weight gain. In the regulation of feeding behavior, peripheral and central nervous system interact through hunger and satiety signals triggered by nutrient intake and gastrointestinal peptides. However, little is known about the intake of isolated nutrients and their effects on the brain. Thus, our hypothesis is that lipid intake causes changes in brain activity related to obesity. **Objectives:** Identify which brain regions are functionally related to lipid intake. Compare cerebral perfusion of volunteers with and without obesity. Correlate changes in cerebral blood flow with body fat and serum glucose, triacylglycerols, insulin and leptin. Materials and **Methods:** A blind randomized clinical trial involving two groups of people. Ten women with obesity and ten without obesity were evaluated by clinical examination, indirect calorimetry, bioelectrical impedance analysis, laboratory tests (serum measurements of glucose, insulin, leptin and triacylglycerols) and Single-photon Emission Tomography of brain after ingestion of water and lipid solution, having been the volunteers controls of themselves. Results: The means (standard deviations) of body mass index of the groups with and without obesity were respectively 21 (1.7) and 35 (3) kg/m². There were still differences between the groups in the following variables expressed in approximate values for mean (standard deviation): systolic blood pressure - 107 (13) x 118 (12) mm Hg, diastolic blood pressure - 64 (10) x 74 (8) mmHg, HDL cholesterol - 53 (13) x 39 (6) mg/dL, glucose in times 0 - 82 (8) x 90 (5) mg/dL and 120 minutes of oral glucose tolerance test - 84 (13) x 100 (18) mg/dL and body fat - 17 (5) 38 x (3) kg. In obese women, after ingestion of lipid solution, decreased perfusion in regions of frontal lobe, temporal lobe, insula, brain stem, cerebellum, thalamus, putamen, globus pallidus, hippocampus, parahippocampal gyrus and frontal operculum was observed. On the other hand, women without obesity after eating the same food challenge presented increased perfusion in anterior regions of frontal lobe and anterior cingulate. The alterations found do not seem to be related to lipid absorption. Discussion and conclusion: After intake of lipids in patients without obesity, it was observed increased cerebral perfusion in areas related to control of inappropriate impulses. In patients with obesity, was found decreased perfusion in regions involved in gustatory sensibility. Both mechanisms, poor control of inappropriate impulses and increased food intake due to reduced consummatory reward, alone or together, can result in inappropriate control of body weight and consequent obesity.

Key words: Obesity. Lipid. SPECT. Leptin. Insulin.

LISTA DE ILUSTRAÇÕES

Quadro 1. Classificação da adequação do peso e risco de comorbidades pelo Índice de Massa Corporal
Quadro 2. Risco de complicações metabólicas em relação à avaliação combinada de Índice de Massa Corporal e Circunferência Abdominal
Figura 1. Interações entre homeostase energética e circuitos de recompensa na determinação do comportamento alimentar
Figura 2. Fluxograma sobre o processo de recrutamento de voluntárias
Figura 3. Linha do tempo da realização do protocolo de pesquisa
Quadro 3. Características dos grupos sem e com obesidade em média (desvio padrão) ou mediana (intervalo interquartil)
Quadro 4. Peso, Índice de Massa Corporal e Pressão Arterial nas fases de triagem e com ingestão de lipídeo ou água em média (desvio padrão)
Quadro 5. Calorimetria e bioimpedância elétrica por grupo e fase, em média (desvio padrão)
Quadro 6. Médias (desvio padrão) de insulina, leptina, triglicérides e glicose séricas por grupo e fase
Figura 4. Regiões com perfusão aumentada em mulheres com obesidade em comparação às sem obesidade, após ingestão de água
Quadro 7. Regiões que apresentaram maior intensidade do sinal em mulheres com obesidade em relação às sem obesidade, após ingestão de água
Figura 5. Regiões com perfusão reduzida em mulheres com obesidade em comparação às sem obesidade, após ingestão de água
Quadro 8. Regiões que apresentaram menor perfusão cerebral em mulheres com obesidade em relação às sem obesidade, após ingestão de água
Quadro 9. Múltiplas comparações com correlação (<i>r; valor p</i>) entre intensidade do sinal extraída da subtração de imagens OBES água menos NOBES água e outras variáveis42
Figura 6. Regiões com perfusão aumentada em mulheres com obesidade em comparação às sem obesidade, após ingestão de solução lipídica
Quadro 10. Regiões que apresentaram maior perfusão cerebral em mulheres com obesidade em relação às sem obesidade, após ingestão de solução lipídica
Quadro 11. Múltiplas comparações com correlação (<i>r; valor p</i>) entre intensidade do sinal extraída da subtração de imagens OBES lipídeo menos NOBES lipídeo e gordura corporal e concentrações séricas de hormônios e metabólitos para ambos os grupos e para todas as voluntárias

Figura 7. Regiões com perfusão aumentada em mulheres sem obesidade comparadas a elas mesmas, após ingestão de solução lipídica
Figura 8. Gráfico com médias das mudanças na intensidade do sinal nos dois grupos após ingestão de solução lipídica
Quadro 12. Regiões que apresentaram maior perfusão cerebral em mulheres sem obesidade comparadas a elas mesmas, após ingestão de solução lipídica
Quadro 13. Coeficientes de correlação de Pearson entre a mudança na atividade cerebral (região com maior perfusão em mulheres sem obesidade após lipídeo) e a mudança nas concentrações séricas de hormônios e metabólitos para ambos os grupos e para todas as voluntárias
Figura 9. Regiões com perfusão reduzida em mulheres sem obesidade comparadas a elas mesmas, após ingestão de solução lipídica
Figura 10. Gráfico com médias das mudanças na intensidade do sinal nos dois grupos após ingestão de solução lipídica
Quadro 14. Regiões que apresentaram menor perfusão cerebral em mulheres sem obesidade comparadas a elas mesmas, após ingestão de solução lipídica
Quadro 15. Coeficientes de correlação de Pearson entre a mudança na atividade cerebral (região com menor perfusão em mulheres sem obesidade após lipídeo) e a mudança nas concentrações séricas de hormônios e metabólitos para ambos os grupos e para todas as voluntárias
Figura 11. Regiões com perfusão reduzida em mulheres com obesidade comparadas a elas mesmas, após ingestão de solução lipídica
Figura 12. Gráfico com médias das mudanças na intensidade do sinal nos dois grupos após ingestão de solução lipídica
Quadro 16. Regiões que apresentaram menor perfusão cerebral em mulheres com obesidade comparadas a elas mesmas, após ingestão de solução lipídica
Quadro 17. Coeficientes de correlação de Pearson entre a mudança na atividade cerebral (região com menor perfusão em mulheres com obesidade após lipídeo) e a mudança nas concentrações séricas de hormônios e metabólitos para ambos os grupos e para todas as voluntárias

LISTA DE ABREVIATURAS E SIGLAS

AgRP- Agouti Related Protein

ARC - Núcleo arqueado do hipotálamo

BA - Área de Brodmann

CA - Circunferência abdominal

DAT - Transportadores da Recaptação da Dopamina

fMRI - Ressonância Magnética funcional

HCFMRP - Hospital das Clínicas da Faculdade de Medicina de Ribeirão Preto

HDL - High density lipoprotein

IMC - Índice de Massa Corporal

LDL - Low density lipoprotein

MNI - Montreal Neurological Institute

NOBES - Grupo de voluntárias sem obesidade

NPY - Neuropeptídeo Y

NTS - Núcleo do trato solitário

OBES - Grupo de voluntárias com obesidade

OFC - Córtex orbitofrontal

PBN - Núcleo Parabraquial

PVN - Núcleo Paraventricular do hipotálamo

PET - Positron Emission Tomography

POMC - Proopiomelanocortina

ROIs - regions of interest

RNM - Ressonância Nuclear Magnética

SNC - Sistema nervoso central

SPECT - Single-photon Emission Tomography

SPM - Statistical Parametric Mapping

TC - Tomografia Computadorizada

99mTc-ECD - 99mTecnécio associado ao Ethyl Cysteinate Dimer

SUMÁRIO

1 INTRODUÇÃO	13
2 OBJETIVOS	21
3 MATERIAIS E MÉTODOS	22
3.1 Delineamento do estudo	22
3.2 Casuística	22
3.3 Critérios de inclusão	22
3.4 Critérios de exclusão	22
3.5 Recrutamento	23
3.6 Protocolo de Pesquisa	226
3.7 Dosagens laboratoriais	30
3.8 Aquisição das imagens	30
3.9 Reconstrução tomográfica	30
3.10 Processamento das imagens	31
3.11 Transformação Espacial	31
3.12 Modelos de Inferência	32
3.13 Extração de Dados	33
3.14 Análise Estatística	33
4 RESULTADOS	35
4.1 Análise descritiva	35
4.2 Grupos OBES x NOBES, após ingestão de água	39
4.3 Grupos OBES x NOBES, após ingestão de lipídeo	42
4.4 Grupo NOBES após ingestão de lipídeo x NOBES após água	45
4.5 Grupos OBES após ingestão de lipídeo x OBES após água	50
5 DISCUSSÃO	54
6 CONCLUSÃO	58
REFERÊNCIAS BIBLIOGRÁFICAS	59
APÊNDICES	70

1 - Aprovação no Comitê de Ética	70
2 - Termo de Consentimento Livre e Esclarecido	71
3 - Códigos dos tubos das coletas de sangue e microtubos das amostras de soro	78
4 - Correção de atenuação e reconstrução	81
5 - Banco de Dados	83

1 INTRODUÇÃO

A obesidade é uma doença determinada pelo excesso de gordura corporal¹. A massa corporal total de um paciente reflete o balanço energético, ou seja, a diferença entre a energia ingerida sob a forma de alimentos e aquela utilizada nos processos metabólicos para a manutenção do organismo. A energia não utilizada é armazenada sob a forma glicogênio hepático e muscular, bem como nos triacilglicerois do tecido adiposo e nas proteínas estruturais e funcionais².

A princípio, não há avaliação perfeita para diagnóstico de sobrepeso e obesidade. Na prática clínica, há métodos quantitativos e qualitativos para caracterizar a gordura corporal. Técnicas de imagem, como ressonância magnética, tomografia computadorizada e absorciometria com raios-X de dupla energia constituiriam alternativas, não fosse o custo elevado e a escassa disponibilidade dos equipamentos necessários para sua realização. Outros métodos como a medida das pregas cutâneas, ultrassonografia e análise de bioimpedância são relativamente mais baratos, porém ainda de pouco acesso em muitas unidades de saúde³.

O Índice de Massa Corporal (IMC), também conhecido como Índice de Quetelet, baseia-se em dados antropométricos e divide o peso em quilogramas (kg) pelo quadrado da altura em metros (m). A associação entre IMC, doenças crônicas e mortalidade tem sido utilizada para estabelecer classificação de risco de comorbidades em adultos⁴. O quadro 1 descreve, em adultos descendentes de europeus, a classificação da adequação do peso e o risco de comorbidades de acordo com o IMC:

Quadro 1. Classificação da adequação do peso e risco de comorbidades pelo Índice de Massa Corporal.			
Classificação	IMC (kg/m ²)	Risco de comorbidades	
Baixo Peso	< 18,5	Baixo	
Normal	18,5 – 24,9	Médio	
Sobrepeso	25 – 29,9	Aumentado	
Obesidade grau I	30 – 34,9	Moderado	
Obesidade grau II	35 – 39,9	Grave	
Obesidade grau III	≥40	Muito Grave	
Fonte: Diretrizes Brasileiras de Obesidade (2009).			

No entanto, deve-se considerar que apesar de ser um bom indicador, o IMC não se correlaciona totalmente com a gordura corporal⁵, não discrimina com precisão a massa magra da massa gordurosa e nem reflete sua distribuição corporal^{6,7}. Fatores como sexo, idade e etnia também alteram a relação do deste índice com a quantidade de gordura. Principalmente nos maiores graus de adiposidade⁸, esta relação pode ser não linear. Portanto, para diferentes indivíduos com um mesmo IMC pode haver uma considerável variação na quantidade e na distribuição da gordura corporal⁹.

A distribuição de gordura é importante na avaliação de sobrepeso e obesidade uma vez que, independente da gordura corporal total, a gordura visceral intra-abdominal é um fator de risco potencial para a doença cardiovascular¹⁰. A medida da circunferência abdominal (CA) é uma ferramenta muito utilizada por sua praticidade e por associar-se fortemente com a gordura corporal total e com a gordura abdominal¹¹. Entretanto, é importante ressaltar que esta associação varia de acordo com a idade¹² e entre diferentes grupos étnicos. Para a população brasileira, a melhor opção para realizar o diagnóstico de sobrepeso e obesidade é provavelmente, a utilização combinada do IMC com a medida da circunferência abdominal¹³. O quadro 2 mostra o risco de complicações metabólicas em relação à avaliação combinada de IMC e medida da CA³.

Quadro 2. Risco de complicações metabólicas em relação à avaliação combinada de Índice de Massa Corporal e Circunferência Abdominal.			
Circunferência abdomii	nal (CA) em cm		
Classificação segundo	IMC (kg/m ²)	Homem: 94-102	>102
Índice de Massa			
1114100 40 1114004		Mulher: 80-88	>88
Corporal (IMC)			
Risco de complicações metabólicas			
Baixo Peso	< 18,5		
Peso Normal	18,5 – 24,9		Aumentado
Sobrepeso	25 – 29,9	Aumentado	Alto
Obesidade	>30	Alto	Muito alto
Fonte: Diretrizes Brasileiras de Obesidade (2009).			

Atualmente, estima-se que 69% da população adulta mundial tenha sobrepeso e 35% obesidade¹⁴. As projeções para 2015 atingem 700 milhões de pessoas¹⁵. Na população brasileira, dados de 2013 da Vigilância de Fatores de Risco e Proteção para Doenças Crônicas por Inquérito Telefônico (VIGITEL) revelaram em maiores de 18 anos residentes nas 26 capitais e Distrito Federal a prevalência de 51% para sobrepeso e 17% para obesidade. Esses números representam um aumento de 8% e 6% respectivamente em relação às prevalências de 2006. No mesmo inquérito é descrito que embora a porcentagem de pessoas que consomem as recomendações de frutas e hortaliças tenha aumentado para 24% da população, a ingestão regular de refrigerantes e de carnes com elevado teor lipídico gira em torno de 23% e 31%. Por outro lado, 49% da população são classificados como insuficientemente ativos enquanto que a porcentagem de pessoas que pratica atividade física é de 34%, sendo mais elevada na população masculina 41% versus 27% na feminina¹⁶.

Contudo, para melhor compreender a obesidade, é necessário considerar também que além da composição da dieta, fatores genéticos, humorais, ambientais e comportamentais interligam-se e contribuem para o balanco energético positivo e consequente ganho ponderal¹⁷.

O controle do comportamento alimentar envolve uma rede intrincada de mecanismos que conectam a periferia ao Sistema Nervoso Central (SNC), nos quais estímulo sensoriais, sinais de fome e saciedade deflagrados por nutrientes ingeridos e peptídeos gastrointestinais são processados simultaneamente em circuitos nervosos envolvidos na determinação da homeostase energética e nos processos emocionais e motivacionais.

Dentre os sítios anatômicos relevantes para este processo, destacam-se o hipotálamo, núcleos do tronco cerebral, córtex cerebral em especial o córtex pré-frontal e as estruturas pertencentes aos circuitos de motivação e recompensa¹⁸.

Nos circuitos homeostáticos, hormônios secretados e nutrientes absorvidos na periferia sinalizam fome ou saciedade ao SNC. Como exemplo dessa sinalização, a presença intraluminal de ácidos graxos livres saturados estimula a secreção de peptídeos anorexígenos como a colecistoquinina (CCK), peptídeo YY (PYY) e Glucagon like peptide 2 (GLP 2), enquando inibe a de orexígenos como a grelina¹⁹.

Mais precisamente no hipotálamo e nos núcleos do tronco cerebral, neurônios que expressam receptores para esses sinais 17,20 modulam suas respostas em função dos níveis dessas substâncias e de aferências neuronais sobre status energético do organismo²¹.

Nos neurônios do núcleo arqueado hipotalâmico (ARC), a expressão de agouti related protein (AgRP) e neuropeptídeo Y (NPY) é estimulada por mediadores orexígenos como a grelina²² com consequente busca ²³ e consumo²⁴ de alimentos e inibida por sinais anorexígenos como a leptina²⁵, insulina²⁶ e glicose²⁷. São, portanto, neurônios essenciais para processos envolvidos no comportamento alimentar. A ligação da insulina e leptina a receptores no ARC promove a expressão do peptídeo anorexígeno proopiomelanocortina (POMC) reduzindo assim a procura por nutrientes²⁸.

Na ponte, o núcleo parabraquial (PBN) recebe aferências viscerais e gustatórias periféricas principalmente originárias no núcleo do trato solitário (NTS)^{29,30}. Durante o jejum, tanto os neurônios POMC como os do núcleo parabraquial e os do núcleo paraventricular do hipotálamo (PVN) recebem eferências inibitórias dos neurônios AgRP²⁰, favorecendo assim a ingestão de alimentos. A interação desses grupos celulares tem sido apontada como ponto crítico para a regulação do comportamento alimentar³¹.

No entanto, a distribuição de receptores de insulina, leptina e mesmo de glicose, em outros sítios do SNC além do hipotálamo, sugere haver participação desses hormônios em outros circuitos além da homeostase energética^{32,33,34}.

Na face medial de cada hemisfério cerebral, observa-se uma estrutura cortical anelar contínua constituída pelo giro do cíngulo, giro para-hipocampal e hipocampo denominada o lobo límbico. Em conjunto com o hipotálamo, o tálamo, o lobo límbico, por meio do circuito de Papez, está relacionado ao processamento subjetivo central da emoção e à sua expressão³⁵. Corpos amigdaloides, área septal, núcleos mamilares, núcleos anteriores do tálamo e núcleos habenulares, constituem com as estruturas corticais, o sistema límbico. Sua função essencial é regular os processos emocionais e do sistema nervoso autônomo, além de participar dos processos motivacionais essenciais à sobrevivência da espécie e do indivíduo, como fome, sede e sexo.

Embora não demonstrado de forma incontestável em humanos, dois componentes dos mecanismos de recompensa têm sido descritos em animais: o "querer" e o "gostar" ^{36,37}. O primeiro refere-se à motivação para consumir um alimento desencadeada pela exposição a estímulos alimentares e envolve as estruturas pertencentes às vias dopaminérgicas mesolímbicas da área tegmentar ventral para o núcleo accubens. Inicialmente, a percepção dos lipídeos dietéticos, sob a forma de ácidos graxos livres, pode ser primeiramente determinada pelo sabor e textura³⁸. Independente de fome ou estado motivacional, a codificação de identidade e intensidade do estímulo gustatório, é feita no córtex sensorial primário ínsula/opérculo. As informações provenientes da ínsula e do opérculo, são transmitidas ao hipocampo, à amígdala e ao córtex orbitofrontal (OFC) para integração sensorial multimodal com informações referentes à experiências prévias e aos valores hedônicos codificados³⁹. Sendo os últimos envolvidos na motivação para o consumo de alimentos^{40,41}.

Já o "gostar" diz respeito à resposta afetiva deflagrada pelo gosto de comidas palatáveis e é associada a circuitos no núcleo accumbens e pálido ventral, hipotálamo lateral, OFC 42, 43 e ínsula envolvendo neurotransmissores opioides, gabaérgicos e endocanabinoides⁴⁴.

O processamento das eferências de circuitos homeostáticos e de motivação e recompensa sinaliza o início, a continuação ou o término de uma refeição.

Alterações no prazer evocado por estímulos olfatórios^{45,46}, gustatórios⁴⁷ e visuais⁴⁸, têm sido observadas ao se comparar voluntários em jejum e em estado alimentado. Alguns do neuropeptídeos que regulam o balanco energético no hipotálamo também modulam atividade dopaminérgica dos circuitos motivacionais⁴⁹. Como exemplo, é descrita a ação da insulina sobre os transportadores da recaptação da dopamina (DAT) responsáveis pela inativação da sinalização dopaminérgica na fenda sináptica⁵⁰. Assim, em situações de balanço energético negativo, os baixos níveis circulantes de leptina e insulina, diminuiriam a expressão do DAT e reforçariam a motivação para obter o alimento^{51, 52, 53} ao aumentar a dopamina disponível na fenda sináptica. Por outro lado, há relatos de que o uso de insulina intranasal em humanos reduziu a ingestão alimentar⁵⁴. Existem evidências de que a leptina também module a liberação de dopamina e atividade de neurônios dopaminérgicos⁵⁵.

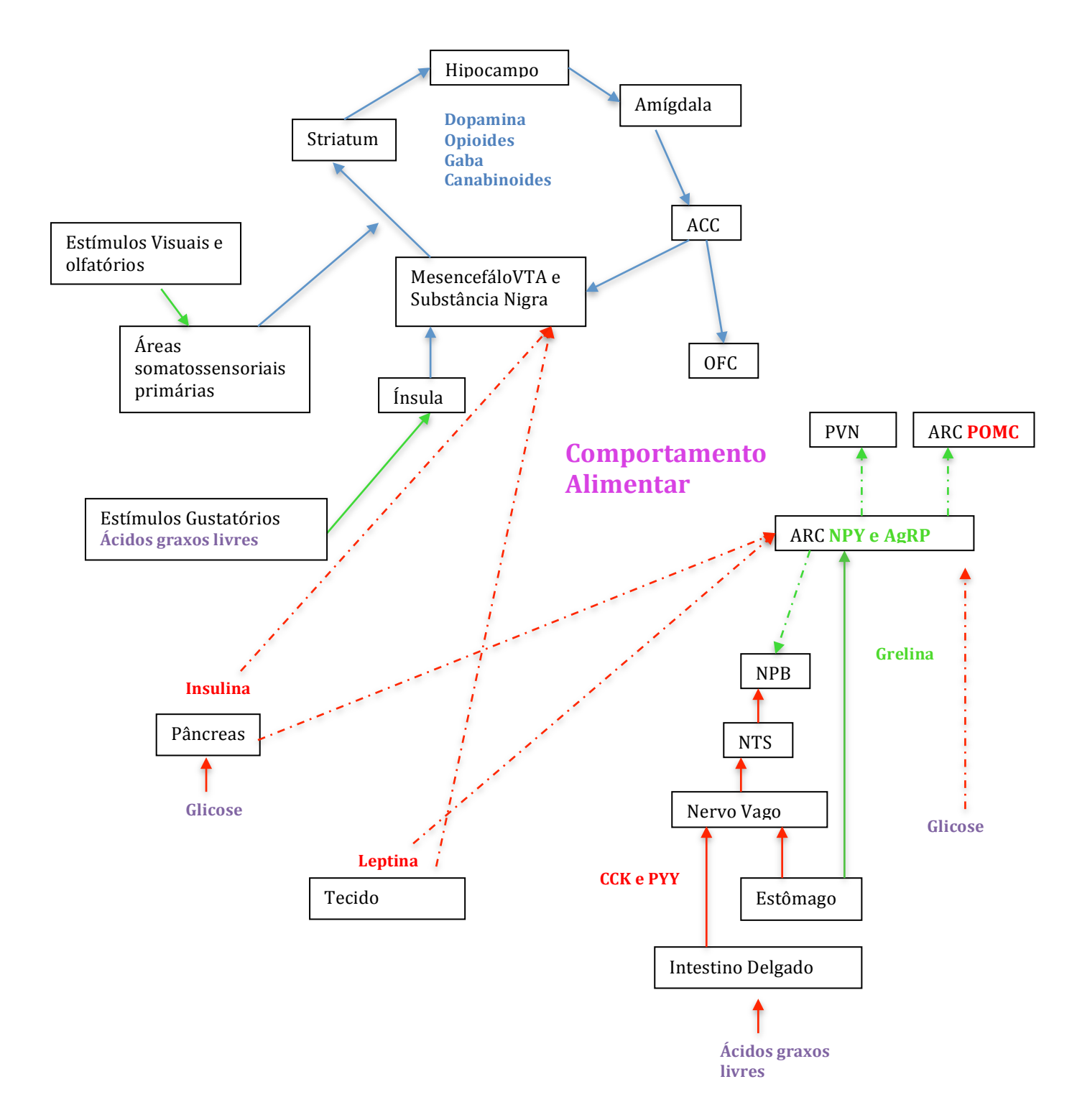


Figura 1 - Interações entre homeostase energética e circuitos de recompensa na determinação do comportamento alimentar. As estruturas em verde indicam circuitos, peptídeos e neurotransmissores orexígenos, enquanto as em vermelho anorexígenos, as em azul neurotransmissores dos circuitos de motivação e recompensa e as em roxo, macronutrientes intraluminais. As setas contínuas indicam sinapses estimulatórias e as pontilhadas inibitórias. Legenda: ACC, córtex do cíngulo anterior; ARC NPY e AgRP, neurônios NPY/AgRP do núcleo arqueado; ARC POMC, neurônios POMC do núcleo arqueado; CCK, colecistoquinina; OFC, córtex orbitofrontal; NPB, núcleo parabraquial; NTS, núcleo do trato solitário; PVN, núcleo paraventricular; PYY, polipetídeo YY; VTA, área tegmentar ventral.

A secreção de insulina pelas células eta das ilhotas de Langerhans pancreáticas em resposta à elevação da glicemia, segue padrão regular, encontrando-se em níveis baixos e estáveis entre as refeições, elevando-se para retornar a glicose para níveis basais no período pós-prandial⁵⁶. Possui em relação direta com a adiposidade corporal, sendo maior nos indivíduos com maior proporção de massa adiposa⁵⁷. É aceito que, no SNC, o movimento da insulina ocorra no sentido plasma-cérebro-líquido cérebro espinhal, sendo a insulina transportada de modo saturável, por meio de receptores nos capilares do endotélio cerebral^{58,59}. Após cruzar a barreira hematoencefálica, liga-se a receptores dispersos no hipotálamo^{60,61} e em todo o SNC^{62,63,64,65,66,67}, onde, tal qual a leptina, age como sinal de adiposidade^{68,69}.

A leptina por sua vez, desempenha papel crucial na regulação de numerosas funções neuroendócrinas. desde a homeostase energética até a reprodução. Secretada predominantemente pelo tecido adiposo, este hormônio cruza a barreira hematoencefálica por um sistema saturável e independente de transporte atua em regiões cerebrais reguladoras do comportamento alimentar⁷⁰. Seus receptores são encontrados em virtualmente todos os tecidos e em áreas do SNC relacionadas à alimentação como o tronco cerebral, o hipotálamo (mediobasal e ARC) e centros de recompensa. Quando em níveis elevados, como em estados de saciedade, age no hipotálamo respectivamente aumentando a expressão de POMC e reduzindo a de NPY/AgRP. Em situações em que há redução da leptinemia, como no frio ou no jejum, há estímulo à alimentação, redução do gasto energético e supressão de função reprodutiva.

Pessoas com obesidade apresentam níveis elevados leptina, sugerindo a existência de um estado de resistência às suas ações⁷¹, seja por deficiência no transporte^{72, 73, 74, 75, 76} através da Barreira Hematoencefálica ou por resposta neuronal alterada. Embora por mecanismos ainda pouco compreendidos, há evidências de que a resistência à leptina predisponha ou mesmo promova a obesidade⁷¹, principalmente em dietas com elevado teor lipídico⁷⁷.

Ao ligar-se ao receptor da leptina, a gordura dietética pode provocar defeitos na cascata de sinalização celular desencadeada por este hormônio. As moléculas lipídicas podem ainda causar lesão neuronal tóxica⁷⁸. Ao considerar que dietas com elevado teor lipídico são em geral mais palatáveis e que há uma maior preferência de alimentos ricos em lipídeos e carboidratos por pessoas com obesidade 79, torna-se necessário estudar os substratos anatômicos e circuitos neuronais envolvidos com a ingestão oral de lipídeos.

Para a melhor análise dessas interações (sinais periféricos e SNC) e compreensão da neurofisiopatologia da obesidade, estudos de neuroimagem funcional surgiram como

ferramentas não invasivas capazes de informar a respeito da atividade cerebral ao avaliar alterações no fluxo sanguíneo local^{80,8182}. Positron emission tomography (PET), ressonância magnética funcional (fMRI) e single-photon emission tomography (SPECT) são algumas das técnicas que têm sido utilizadas para avaliar circuitos neuronais envolvidos no processamento de estímulos alimentares.

Diversos desafios alimentares têm sido empregados em trabalhos envolvendo populações com ou sem obesidade para avaliar aspectos da sensibilidade gustatória, visual e visceral envolvidos na neurofisiologia do comportamento alimentar.

Estudos com fMRI reportaram decréscimos no sinal hipotalâmico em resposta à ingestão oral de glicose⁸³ e ausência dessa resposta em pacientes diabéticos sem obesidade⁸⁴. Em RNM, foi observado aumento do sinal em tronco encefálico e hipotálamo⁸⁵ após infusão intragástrica de ácido láurico em homens saudáveis.

Baseada na emissão de raios gama por fóton simples, a formação de imagens no SPECT ocorre a partir da interação da energia eletromagnética liberada no decaimento do radioisótopo com os tecidos biológicos a serem representados⁸⁶. Para tanto é necessária a administração prévia ao paciente de radiofármacos, ou seja, substâncias compostas por um radioisótopo combinadas a um carreador. Assim, por exemplo, por meio de alterações regionais do fluxo sanguíneo cerebral detectadas por acúmulo ou redução de radiofármacos no local, o SPECT avalia aumento ou redução da atividade cerebral.

Neste contexto, o presente estudo se propõe a utilizar metodologia comprovada para avaliar modificações físicas eliciadas pela ingestão um macronutriente isolado, o lipídeo, no SNC de voluntárias com e sem obesidade. Temos como hipótese alternativa que a ingestão de lipídeos provoque alterações no fluxo sanguíneo cerebral relacionadas à obesidade. As imagens obtidas serão analisadas em conjunto com o gasto energético de repouso, dados da composição corporal e dosagens séricas de glicose, triacilglicerois, leptina e insulina das voluntárias.

2 OBJETIVOS

O presente estudo pretende atender aos seguintes pontos:

- 1. Identificar, por meio de SPECT, após estímulo de água e de solução lipídica, quais regiões anatômicas cerebrais são funcionalmente relacionadas à ingestão de lipídeos em pacientes com obesidade;
- 2. Comparar, mediante o mesmo estímulo metabólico, a perfusão cerebral de pacientes com obesidade com a de voluntários sem obesidade;
- 3. Correlacionar alterações do fluxo sanguíneo cerebral com a gordura corporal e os níveis séricos de glicose, triacilglicerois, insulina e leptina.

3 MATERIAIS E MÉTODOS

3.1 Delineamento do estudo

Trata-se de ensaio clínico prospectivo, aleatorizado, cego e cruzado no qual imagens obtidas por SPECT foram avaliadas em busca alterações no fluxo sanguíneo cerebral regional eliciadas pela ingestão oral de uma solução composta de lipídeo e água em voluntárias com e sem obesidade. Foi realizado também, em dia diferente, outro teste com o mesmo volume e nas mesmas condições fisiológicas, apenas com água, em todas as voluntárias. No presente estudo, houve dois tipos de pareamento: 1) auto-emparelhamento de cada voluntária antes e depois do teste com solução de lipídeo e apenas água, 2) emparelhamento entre os grupos, com e sem obesidade. Tal proposta visa controlar fontes estranhas de variação que de outra maneira, poderiam influenciar os resultados da comparação⁸⁷. Em conformidade com os aspectos éticos, o projeto foi aprovado pelo Comitê de Ética do Hospital das Clínicas da Faculdade de Medicina de Ribeirão Preto/USP, número 14080/2011 (Apêndice 1).

3.2 Casuística

Dois grupos de voluntárias foram incluídos neste projeto. Um composto por 10 voluntárias sem obesidade e outro por 10 voluntárias com obesidade.

3.3 Critérios de inclusão

- Ser do sexo feminino;
- Ter idade entre 18 e 40 anos:
- Apresentar ciclo menstrual regular:
- Para o grupo de obesos, ter peso corporal inferior a 120 kg e apresentar IMC entre 30 kg/m^2 e 40 kg/m^2 ;
- Para o grupo de não obesos, ter IMC entre 18,5 kg/m² e 24,9 kg/m².

3.4 Critérios de exclusão

- Apresentar outras comorbidades além da obesidade, inclusive psiquiátricas;
- Usar alguma medicação, exceto anticoncepcionais;

- Ser etilista, tabagista ou fazer uso de drogas ilícitas;
- Estar grávida ou planejar gravidez durante o ensaio;
- Estar em vigência de tratamento para obesidade;

3.5 Recrutamento

Para o grupo de voluntárias com obesidade, o recrutamento ocorreu por meio de anúncios em veículos de comunicação como rádio, televisão e site da internet de propriedade da Universidade de São Paulo – Campus Ribeirão Preto. O processo de recrutamento foi mediado pelo Departamento de Acessoria Jurídica do Hospital das Clínicas da Faculdade de Medicina de Ribeirão Preto (HCFMRP).

Para o grupo sem obesidade, além dos meios supracitados, também foi solicitado às voluntárias com obesidade que indicassem voluntária sem obesidade, caso dispusessem de pessoa em sua comunidade, sem grau de parentesco, que atendesse aos critérios de inclusão.

No período de fevereiro de 2012 a agosto de 2013, 211 mulheres foram convidadas, por contato telefônico, a participar da pesquisa. Durante este primeiro contato, foi feita uma primeira triagem. Estando a paciente apta, a mesma era convidada a comparecer ao HCFMRP para entrevista clínica, exame físico, coleta de sangue para exames bioquímicos e reforço das explicações a respeito do projeto já fornecidas previamente durante o primeiro contato telefônico. Somente sendo aprovadas nesta segunda etapa de triagem, as pacientes tornavamse elegíveis para a pesquisa.

Das 211 voluntárias entrevistadas, 101 souberam do projeto por meio de propaganda em mídia televisiva, 24 por meio de terceiros, 21 por meio da internet, 3 por panfletos e 1 por rádio, 61 por contato telefônico. Das 211 voluntárias, 16 relataram peso e estatura compatíveis com IMC entre 18.5 e 24.9 kg/m², 168 relataram peso e altura para IMC > 30kg/m² e 1 voluntária relatou peso e altura compatível com IMC< 18,5 kg/m². Em 26 pacientes, suas medidas as classificavam na faixa de sobrepeso, ou seja, IMC entre 25 e $29,9 \text{kg}/\text{m}^2$.

Do total de 211 mulheres, foram descartadas 154 pessoas durante o primeiro contato telefônico, das quais 127 eram obesas, 26 apresentaram sobrepeso e 1 apresentava IMC<18,5 kg/m². As causas para exclusão de 127 obesas foram:

- IMC superior a 40 kg/m² (44 casos):
- Peso superior a 120 kg (7 casos);

- Uso de medicação (13 casos);
- Doença prévia (25 casos);
- Idade superior a 40 anos (27 casos);
- Idade inferior a 18 anos (2 casos);
- Irregularidade menstrual (9 casos);
- Horário incompatível (1 caso);
- Residência fora de Ribeirão Preto (11 casos);
- Outros motivos (23 casos).

As doenças prévias referidas foram: Diabetes Mellitus tipo 2 (6 casos), Hipertensão Arterial Sistêmica (6 casos), Dislipidemia (3 casos), Doença Hepática (1 caso), Pós-operatório de Cirurgia Bariátrica (1 caso), Doença Psiquiátrica (2 casos), Tabagismo (3 casos), Tireoidopatia (5 casos), Ovário Policístico (2 casos).

Os outros motivos referidos compreenderam: não concordância do companheiro, parentesco de 1º grau com outra voluntária, tratamento atual para obesidade ou indisponibilidade ao contato telefônico. Nota-se que a somatória de todos os motivos para o descarte extrapola o número total de voluntárias descartadas porque algumas pessoas apresentavam mais de uma das razões descritas.

Com isso, 57 entrevistadas foram convidadas a comparecer ao HC para participar da segunda etapa da triagem. Até então, 41 voluntárias classificavam-se com obesidade e 16 sem obesidade. Após esta etapa, restaram 13 com obesidade e as 15 sem obesidade.

Os motivos para o exclusão, nesta segunda etapa da triagem, das 28 voluntárias com obesidade e 1 previamente classificada como sem obesidade foram:

- Tireoidopatia (1 caso);
- Sobrepeso (4 casos);
- Hipertensão arterial (4 casos);
- Dislipidemia (5 casos);
- Glicemia de jejum alterada e/ou intolerância à glicose (2 casos);
- Obesidade (1 caso a paciente não obesa);
- Outros (12 casos).

Os outros motivos foram: desistência, irregularidade menstrual, residência fora de Ribeirão Preto e tabagismo.

Das vinte e oito selecionadas, desistiram cinco mulheres sem obesidade antes do início do projeto e três com obesidade durante a realização do mesmo.

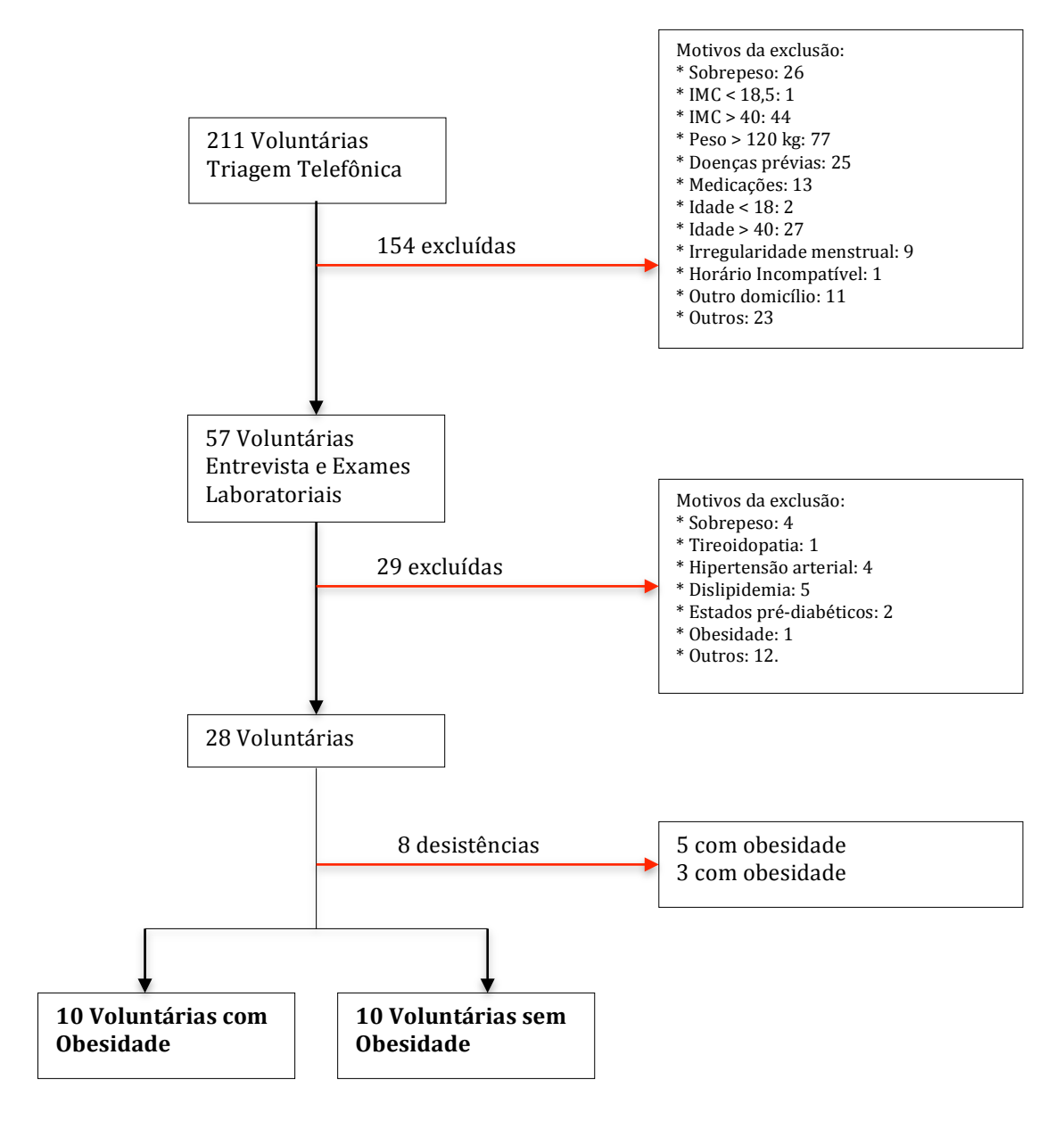


Figura 2. Fluxograma sobre o processo de recrutamento de voluntárias.

3.6 Protocolo de Pesquisa

Previamente à seleção das participantes, a ordem em que cada uma receberia água e lipídeo foi aleatorizada, por meio de sorteio, usando uma mesma moeda, onde "cara" significava água e "coroa" lipídeo. Dessa forma, à medida que eram incluídas na pesquisa, cada voluntária assumia um código em ordem crescente (OBES1, OBES2, OBES3 ou NOBES1, NOBES2, NOBES3 por exemplo), cuja ordem dos desafios alimentares já estava estabelecida.

No dia anterior à realização dos SPECTs, as voluntárias foram orientadas a não ingerir café, bebidas alcoólicas, chocolate e chá, além de iniciar jejum a partir das 22 horas. Portanto, considerando que os testes foram realizados no período vespertino, planejou-se um período mínimo de jejum de 12 horas antes do desafio alimentar com solução lipídica ou água.

Entre 12 de março de 2012 a 16 de setembro 2013, de acordo com a disponibilidade de vagas na enfermaria do Serviço de Nutrologia e da Unidade de Pesquisa Clínica do HCFMRP, as voluntárias foram admitidas na data da realização dos testes. Todos os SPECTs foram realizados durante fase luteínica do ciclo menstrual das voluntárias. Em torno de 8 horas da manhã, as voluntárias eram admitidas na enfermaria e assinavam o Termo de Consentimento Livre e Esclarecido (Apêndice 2). Após aferição do peso, as pacientes permaneciam em repouso por trinta minutos, para então se submeterem à calorimetria indireta 88 com aparelho de modelo QUARK-RMR, Cosmed®, Itália. Em seguida, era realizado exame clínico e análise da composição corporal por meio da bioimpedância elétrica com o aparelho Biodynamics[®], modelo 450, frequência fixa de 50 kHz^{89,90}. No primeiro dia dos testes, foi solicitado às voluntárias que preenchessem Questionário de Lateralidade⁹¹.

Às 12 horas, era obtido acesso venoso periférico calibroso geralmente em veia cubital. Cinco mL de solução salina fisiológica 0,9% foram utilizados para manter pérvio o acesso puncionado durante todo o protocolo.

De acordo com a ordem pré-estabelecida por "cara" ou "coroa" para cada voluntária incluída, as participantes ingeriam 300 mL água ou solução isovolumétrica contendo 60 gramas de lipídeo. A solução lipídica foi constituída de 180 mL de água e 120 mL de um suplemento alimentar sem sabor composto por triglicérides de cadeia longa, sendo 56% de óleo de canola e 44% de óleo de girassol (Calogen®, Support Advance Medical Nutrition, Brasil). Cada 100 mL do produto fornecem 450 kcal sob a forma de 50 g de gordura sendo 61% de gordura monoinsaturada, 29% de poliinsaturada e 11%. de saturada. Todas as voluntárias receberam água e solução lipídica, em momentos distintos.

Às 13 horas, as voluntárias eram encaminhas à Seção de Medicina Nuclear do HCFMRP. A administração do desafío aconteceu 60 minutos antes da injeção do radiofármaco, objetivando que concomitante à sua administração tivéssemos elevação de triglicerídeos circulantes⁹². Ou seja, propôs-se estudar as imagens no momento de potencial estimulatório ou inibitório por parte da ingestão de lípides.

Na Seção de Medicina Nuclear do HCFMRP, após a ingestão de água, seguia-se um repouso de trinta minutos que antecedia à administração do radiofármaco. No dia da solução lipídica, este repouso iniciava-se trinta minutos após a ingestão da solução. O repouso consistia em um período de 30 minutos, permanecendo a voluntária em decúbito dorsal, em local isolado e em silêncio, com os olhos abertos e na penumbra, sendo restritas a fala e a audição, para evitar ou atenuar os efeitos de estímulos cognitivos ambientais.

Após o repouso, portanto após 60 minutos da ingestão lipídica e 30 minutos após a ingestão de água, os tecnólogos em medicina nuclear entravam silenciosamente no recinto e administravam a dose de 1.295 MBq (35 mCi) do radiofármaco 99m Tecnécio associado ao Ethyl Cysteinate Dimer (99mTc-ECD) por meio do acesso venoso previamente puncionado. Este radiofármaco foi previamente preparado marcando-se o fármaco Ethy Cysteinate Dimer (ECD) com o radioisótopo ^{99m}Tecnécio (^{99m}Tc), eluído de um gerador estéril fornecido pelo Instituto de Pesquisas Energéticas Nucleares/Comissão Nacional Energia Nuclear do Ministério de Ciência e Tecnologia.

A partir de uma hora após a injeção do radiofármaco era realizado o SPECT. As imagens obtidas de voluntárias com obesidade (OBES) no dia do teste com água foram classificadas como OBES X A, enquanto as do teste com lipídeo, como OBES X L. Sendo X o número da voluntária. O estudo foi então cego para o avaliador das imagens que não soube qual o desafio empregado em cada imagem. Para as voluntárias sem obesidade (NOBES), foi feito semelhante protocolo sendo as imagens denominadas NOBES X A (para o teste com água) e NOBES X L(para o teste com lipídeo). Portanto, de igual modo, as voluntárias sem obesidade realizaram dois estudos em momentos distintos, com água e solução lipídica, em um teste cego e aleatorizado. As imagens foram armazenadas em servidor computacional e em formato DICOM 3.0, para serem utilizadas nos processamentos computacionais que permitiram as quantificações comparativas entre o grau de ativação cerebral obtido com água versus solução lipídica.

Em cada dia de teste com SPECT, foram coletadas cinco amostras sangüíneas para dosagem laboratorial de glicose, insulina, leptina e triacilglicerois. A primeira coleta foi realizada imediatamente antes da administração do desafio alimentar (tempo 0) e a seguir por mais quatro vezes com intervalos de trinta minutos entre cada coleta (tempos 30, 60, 90 e 120 minutos). Dos 15 mL, volume total de sangue aspirado em cada tempo, 5 mL foram transferidos para um tubo de coleta BD Vacutainer® NaF 6.0mg Na₂EDTA 12 mg, de tampa cinza, para dosagem de glicemia. Os 10 mL restantes foram divididos entre dois tubos de coleta BD Vacutainer® ativador de coágulo, de tampa vermelha. Um destinado às dosagens de insulina e leptina e o outro a de triacilglicerois. Os tubos utilizados foram previamente codificados conforme apêndice 3. As amostras foram mantidas em caixa contendo gelo, própria para amostra de materiais.

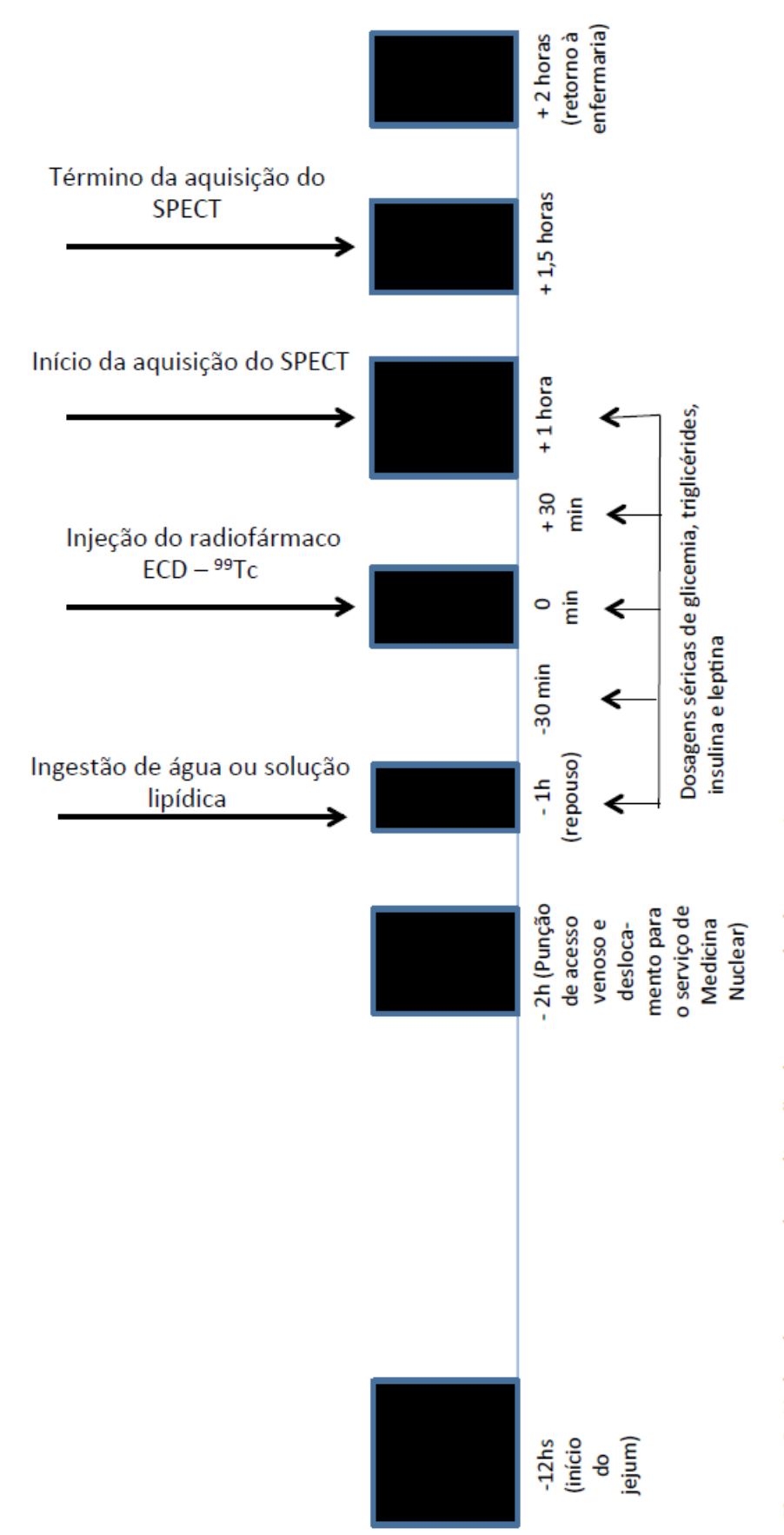


Figura 2: Linha do tempo da realização do protocolo de pesquisa.

Após retornarem à enfermaria, cerca de 3 ou 4 horas depois, as voluntárias ingeriam um lanche e recebiam alta hospitalar. Uma segunda internação para a repetição do protocolo com o segundo desafio era programada.

Após o término da participação no estudo, as pacientes com obesidade receberam orientações quanto à reeducação alimentar e foram referenciadas à rede pública de saúde, para seguimento no Ambulatório de Nutrologia da Prefeitura de Ribeirão Preto.

3.7 Dosagens laboratoriais

Ao término da última coleta de cada dia de teste, no Laboratório de Pesquisa do Departamento de Clínica Médica, os tubos eram centrifugados por 15 minutos a 5000 rpm e a 24°C para separação dos hemocomponentes. O soro foi extraído com uso de pipeta, armazenado em microtubos Safe-Lock Tubes 1.5 ml Eppendorf Tubes[®] e mantido congelado a -80° C.

As amostras destinadas à mensuração de glicose e triglicérides, após descongeladas, foram dosadas por método de fotometria, respectivamente com os kits Glicose Liquiform[®] e Triglicérides Liquiform[®], Labtest - Lagoa Santa, Brasil.

As amostras destinadas à mensuração de insulina e leptina foram dosadas por metodologia Luminex® xMAP® que envolve o uso microesferas magnéticas marcadas com fluorescência denominadas MagPlex TM -C microspheres com o emprego de kits EMD Millipore's MILLIPLEX ® Human Metabolic Hormone Magnetic Bead Panel, HMHMAG-34K-08, Merck Millipore, EMD Millipore Corporation, Billerica, MA, USA.

3.8 Aquisição das Imagens

As imagens de SPECT cerebral foram adquiridas em uma gama-câmara BrigthView XCT (modelo EBW), composta por duas cabecas detectoras formadas por cristais de NaI(Tl), equipada com colimador de baixa energia e alta resolução (low energy and high resolution), com fotopico para o isótopo ^{99m}Tc centrado em sua energia característica de 140keV e janela de aceitação de 20%.

Cada imagem foi adquirida a partir de 128 projeções (64 por detector) em uma matriz de 128x128, com uma rotação de 180° de cada detector. Foi utilizada uma magnificação (zoom) de 2x e um tempo de aquisição de 30 minutos totalizando aproximadamente 100.000 contagens por projeção.

3.9 Reconstrução tomográfica

As imagens foram reconstruídas em uma Workstation Philips EBW (Philips Healthcare, Cleveland, Ohio, EUA) por meio do método denominado OSEM (Ordenedsubset Expectation Maximization) implementado com um algoritmo iterativo de reconstrução. Foram utilizados 8 subsets e 3 iterações para a reconstrução das imagens. Todas as imagens foram corrigidas para os efeitos de atenuação dos fótons de raio gama com a matéria através do método de Chang de primeira ordem (Chang's Method, no qual ele sugere utilizar um coeficiente de atenuação linear de 0,11 cm⁻¹) (Apêndice 4) e que trata o meio corrigido como sendo um meio homogêneo. Todas as imagens foram amaciadas a partir de um filtro Berworth de 9^a ordem e frequência de corte 0,14 ciclos/mm (frequência de Nyquist).

3.10 Processamento das imagens

Ao fim da etapa de reconstrução das imagens, elas foram salvas em um formato DICOM 3.0, porém, por problemas de compatibilidade, para as etapas seguintes foi utilizado o software para visualização de imagens médicas MRIcro (desenvolvido por Chris Rorden, Neurophychology Lab, Columbia SC, USA).

O Statistical Parametric Mapping (SPM) versão 8 é uma ferramenta amplamente utilizada em análises de dados através da inferência estatística aplicada no campo da neuroimagem funcional e imagem molecular. Para que a extração dos dados do conjunto de imagens de SPECT cerebral fosse realizada com sucesso, foram realizadas as seguintes etapas de processamento: Transformação Espacial, Normalização do Sinal e Extração dos Dados (Marsbar).

3.11 Transformação Espacial

A fim de garantir que todas as imagens analisadas ocupassem a mesma posição espacial, baseada em um espaço anatômico padrão conhecido, algumas etapas de préprocessamento foram indispensáveis: reorientação, realinhamento, normalização espacial, filtragem por máscara binária e frequência.

Reorientação

Todas a imagens tiveram as suas coordenadas de origem no Espaço Euclidiano (0,0,0) realocadas para o mesmo ponto de referência, a Comissura Anterior. Isto garantiu que todas elas passassem a ter o mesmo ponto de origem (ou próximo a ele, devido a problemas de localização anatômica).

Realinhamento

Para evitar artefatos de movimento que pudessem implicar em erros sistemáticos na sua análise, foi realizado o realinhamento de imagens do mesmo paciente obtidas em dias diferentes, utilizando três parâmetros translacionais e três rotacionais de transformação.

Normalização Espacial

Para deformar cada uma das imagens inseridas, foi aplicada uma transformação de corpo rígido (affine) que utilizou 12 parâmetros definidos. Cada transformação foi realizada de forma individual, baseada em um mesmo espaço padrão anatômico (MNI - Montreal Neurological Institute) através de um template de SPECT cerebral fornecido pelo próprio SPM. As novas imagens foram normalizadas utilizando uma bounding box de 2,0 x 2,0 x 2,0 mm³ com interpolação através de uma bspline de 7ª ordem.

Aplicação de Máscara Binária

Com o objetivo de eliminar qualquer vestígio de radiação espalhada além da calota craniana foi aplicada uma máscara binária, com as mesmas dimensões da bounding box utilizada, sobre todas as imagens.

Amaciamento

A etapa final neste processamento de 2º level foi o amaciamento de todas as imagens através de um filtro kernel Gaussiano com FWHM (full-width at half maximum) 12 x 12 x 12 mm para eliminar qualquer sinal de alta frequência remanescente.

3.12 Modelos de Inferência

Foram utilizados dois modelos de inferência para a análise dos dados que melhor representassem os efeitos de interesse:

- 1. Teste t para amostras independentes:
 - a. Grupo OBES versus Grupo NOBES, após ingestão de água;
 - b. Grupo OBES versus Grupo NOBES, após ingestão de lipídeo.
- 2. Teste t para dados emparelhados:
 - Grupo NOBES, ingestão de lipídeo versus a ingestão de água; a.
 - Grupo OBES, ingestão de lipídeo versus a ingestão de água.

O pré-processamento realizado garantiu que todas as imagens apresentassem características localizatórias espaciais similares, isto é, que cada voxel analisado possuísse o seu correspondente, de similar orientação localizatória, em cada imagem presente no modelo de inferência construído.

Para a extração dos dados de cada uma das imagens foi utilizada uma toolbox incorporada ao software SPM denominada Marsbar desenvolvida na plataforma MATLAB. Juntamente ao Marsbar foi possível normalizar a intensidade do sinal de cada uma das imagens para uma escala proporcional a média global de 80% de todo o sinal presente na imagem (threshold 0,8) e ponderado por um fator fisiológico de 50 ml/min/100g (fluxo sanguíneo em 100g de tecido cerebral a cada minuto).

Por se tratar de uma análise exploratória, foi utilizada um valor threshould de p=0.05 não corrigido com um threshould para tamanho de cluster de k=125 voxels. Logo a nossa análise selecionou apenas os clusters que sobreviveram a esta análise de inferência com valores de p<0.05 (Family Wise Error - FWE), tanto para um nível de cluster quanto para um nível de pico. Todos os resultados foram corrigidos para pequenos volumes (small volumes correction - SVC).

3.13 Extração de Dados

Os clusters, agrupamentos de neurônios, que apresentaram evidências da existência de diferenças perfusionais entre os grupos construídos para cada modelo foram utilizados para construir ROIs (region of interest) e auxiliar na extração do sinal de contagens médias por voxels de todas as imagens de SPECT utilizadas para esta investigação.

3.14 Análise Estatística

A análise estatística foi realizada por meio do software Stata/IC versão 11.2 Stata Corp LP, EUA. Todas as variáveis foram sumarizadas por meio de tabelas de distribuição de frequência, bem como representadas em gráficos, como Box Plot, histograma e Normal Probability Plot para detecção de dados atípicos e da distribuição dos dados. Para os testes de hipótese, o nível de significância foi fixado em 5%. Na etapa de análise descritiva dos dados foi utilizado teste t para as variáveis com distribuição próxima à Normal ou seu equivalente não paramétrico, o teste da soma dos postos de Wilcoxon. ANOVA para medidas repetidas foi utilizada para testar diferenças entre médias das fases triagem, água e lipídeo do estudo. Também foi utilizada para testar diferenças entre as médias de glicemia, trigliceridemia, insulinemia e leptinemia entre os cinco tempos de coleta de cada fase do estudo. Correlações lineares entre a atividade cerebral (intensidade do sinal em contagens médias por voxel) e glicemia, trigliceridemia, insulinemia, leptinemia e gordura corporal foram avaliadas pelo Coeficiente de Correlação de Pearson (r). A fim de normalizar a distribuição de determinadas variáveis, transformações logarítmicas e inversas foram realizadas.

4 RESULTADOS

4.1 Análise descritiva

Ao fim da triagem, das 20 voluntárias selecionadas, uma era sinistra, uma ambidestra, sendo as 18 restantes destras. Os dados coletados nas 20 voluntárias estão disponíveis no Apêndice 5. Os grupos OBES e NOBES apresentaram respectivamente diferenças nas seguintes variáveis descritas em média (desvio padrão) ou mediana (intervalo interquartil) no quadro 3: peso, índice de massa corporal, pressões arteriais sistólica e diastólica, HDLcolesterol, hormônio tireoestimulante (TSH), e nas glicemias dos tempos 0 e 120 minutos do teste oral de tolerância à glicose.

Quadro 3. Características dos grupos sem e com obesidade em média (desvio padrão) ou				
mediana (intervalo interquartil).				
Variáveis	NOBES $(n = 10)$	OBES $(n = 10)$	p	
Idade (anos)	30 (5.0)	30.1 (6.0)	0.97	
Exame físico				
Peso (kg)	58.7 (8.1)	91.9 (7.3)	0.00	
Altura (m)	1.67 (0.06)	1.63 (0.05)	0.15	
IMC (kg/m ²)	21.1 (1.7)	34.7 (2.8)	0.00	
Pressão sistólica (mmHg)#	110 (100; 116)	120 (110; 128)	0.04	
Pressão diastólica (mmHg)	64.2 (9.7)	73.6 (8.2)	0.03	
Exames de sangue				
Colesterol total (mg/dL)	170.8 (34.8)	172.2 (19.4)	0.91	
Triglicérides (mg/dL)	78.8 (30.2)	84 (30.9)	0.71	
HDL-colesterol (mg/dL)	53.2 (12.8)	39.1 (6.2)	0.01	
LDL-colesterol (mg/dL)	103.9 (28.1)	116.2 (12.5)	0.22	
Ureia sérica (mg/dL)	24.6 (3.8)	24.1 (4.4)	0.79	
Creatinina sérica (mg/dL)	0.7 (0.11)	0.8 (0.09)	0.13	
AST (IU/L)	18.4 (4.4)	16.9 (6.8)	0.59	
ALT (IU/L)	16.1 (9.3)	22.4 (18.2)	0.35	
Fosfatase alcalina (IU/L)	136.5 (47.2)	148.1 (34.1)	0.54	
TSH (µIU/mL)#	1.3 (1.04; 1.39)	1.7 (1.4; 2.04)	0.04	
GTT 0 (mg/dL)	81.9 (7.9)	90.6 (5.2)	0.01	
GTT 120 (mg/dL)	83.7 (13.6)	99.6 (18.4)	0.04	
I I				

Legenda:

 $\alpha = 0.05$.

#Mediana

NOBES, voluntárias sem obesidade; OBES, voluntárias com obesidade; IMC, índice de massa corpórea; AST, aspartato aminotransferase; ALT, alanina aminotransferase;

Colesterol total, Triglicérides, LDL e HDL (frações de baixa e alta densidade das lipoproteínas carreadoras de colesterol no sangue, respectivamente); GTT, teste oral com 75 gramas de glicose; GTT0, tempo 0 minutos e GTT120, tempo 120 minutos ambos em mg/dL; FA, fosfatase alcalina; GGT, gama glutamil transferase; TGO, transaminase glutâmico oxaloacética; TGP, transaminase glutâmico pirúvica; TSH, Hormônio estimulante da tireoide.

Em uma avaliação intragrupo, nos dois grupos, não houve diferenças entre peso, IMC e pressão arterial entre o início da pesquisa e as fases subsequentes (quadro 4).

Quadro 4. Peso, Índice de Massa Corporal e Pressão Arterial nas fases de triagem e com ingestão de lipídeo ou água em média (desvio padrão).							
	ľ	NOBES $(n = 1)$	0)		OBES (n = 10))	
Variável	Triagem	Lipídeo	Água	Triagem	Lipídeo	Água	
Peso (kg)	58,7 (8,2)	58,7 (8,1)	58,7 (7,8)	91,9 (7,3)	91,5 (6,7)	91,6 (6,4)	
IMC (kg/m ²)	21,1 (1,72)	21,1 (1,7)	21,1 (1,6)	34,7 (2,8)	34,6 (2,5)	34,6 (2,5)	
PAS (mmHg)	106,8 (13,1)	107,8 (8)	101,2 (10,2)	117,8 (12,1)	122 (19,3)	111 (7,4)	
PAD (mmHg)	64,2 (9,7)	67,5 (8,9)	66,2 (9,2)	73,6 (8,2)	73,3 (9,9)	74 (8,4)	

Legenda: NOBES, voluntárias sem obesidade; OBES, voluntárias com obesidade; IMC, Índice de Massa Corporal; PAS, Pressão Arterial Sistólica; PAD, Pressão Arterial Diastólica; DP, desvio-padrão. ANOVA para medidas repetidas. $\alpha = 0.05$.

Em relação ao gasto energético e demais dados da calorimetria indireta assim como os referentes à composição corporal, houve diferença entre os grupos nas variáveis: volume de O₂ consumido (VO₂), volume de CO₂ produzido (VCO₂), gasto energético de repouso (GER), resistência (R), reactância (Xc) e gordura corporal (BF). No entanto, a comparação intragrupo das mesmas variáveis entre as fases lipídeo e água não mostrou diferenças (quadro 5).

Conforme apresentado no quadro 6, em ambos os dias de testes não houve diferença entre médias de glicemias das voluntárias com e sem obesidade nos cinco tempos coletados. Houve diferença entre as glicemias nos tempos 30 e 60 minutos entre o grupo OBES e NOBES no dia de teste com água. O grupo OBES apresentou diferença entre as médias de glicemias dos dois dias de testes aos 120 minutos.

Em relação à trigliceridemia, após a ingestão da solução lipídica, as voluntárias sem e com obesidade atingiram as maiores médias aos 120 minutos, 102 e 91 mg/dL, respectivamente. Não houve diferença entre os grupos OBES e NOBES. No dia de testes com água, não houve diferença entre as médias de trigliceridemia dos cinco tempos.

Quadro 5. Calorimetria e bioimpedância elétrica por grupo e fase, em média (desvio padrão).						
	NOBES	(n=10)	OBES (n = 10)			
Variável	Lipídeo	Água	Lipídeo	Água		
Vo ₂ (mL/min)	188 (21,2)** ^a	185 (25,6)* ^a	229 (21,7)	219 (39,9)		
Vco ₂ (mL/min)	153 (23,4) ** ^a	137 [#] (31,6) * ^a	186 (19,8)	173,1 (33,4)		
QR	0,81 (0,08)	0,74 (0,15)	0,81 (0,08)	0,8 (0,16)		
GER (Kcal/dia)	1296 (149,7)** ^a	1253 (176,1) * ^a	1578 (140,3)	1501 (242,7)		
R (ohms)	627 (33,5) ** ^a	638 (37,6) ** ^a	521 (419,3)	529 (55,3)		
Xc (ohms)	72 (7,4) * ^a	71 (5,3)	66 (6,21)	68.4 (8,7)		
BF (kg)	17 (5,1)** ^a	17 (4,9) ** ^a	38 (3,1)	38 (2,4)		

 $\alpha = 0.05$

Legenda: * p < 0.05 ** p < 0.01.

NOBES, grupo de mulheres sem obesidade; OBES, grupo de mulheres com obesidade, Vo₂, Volume de O₂ consumido; Vco₂, Volume de CO₂ produzido; QR, quociente respiratório; GER, gasto energético em repouso; R, resistência; Xc, reactância; BF, body fat em kg; DP, desvio-padrão.

A análise das dosagens de insulina revelou que houve diferença entre as médias dos cinco tempos exceto no teste com água no grupo OBES. Nos tempos 30, 90 e 120 minutos houve diferença entre as médias do grupo NOBES entre as fase água e lipídeo. No grupo OBES essa diferença só foi observada aos 30 minutos. Também aos 30 minutos, também foi observada diferença na comparação entre os grupos OBES e NOBES após o teste com lipídeo. No dia do teste com água, houve diferença entre os grupos em todos os tempos.

A análise das dosagens de leptina revelou que houve diferença entre as médias apenas grupo OBES em ambas as fases. No tempo 30 minutos houve diferença entre as médias do grupo NOBES entre as fase água e lipídeo. No grupo OBES essa diferença só foi observada aos 60 minutos. Diferenças na comparação entre os grupos OBES e NOBES após o teste com lipídeo e no dia do teste com água, foram observadas em todos os tempos (quadro 6).

Não houve diferença entre as médias de glicemias em ambos os grupos e em ambas as fases.

[#] n = 9, após exclusão de uma observação (valor atípico = 0,35)

^a Teste t para amostras independentes. Comparação entre grupos em uma mesma fase.

Quadro 6. M	Quadro 6. Médias (desvio padrão) de insulina, leptina, triglicérides e glicose séricas por grupo e						
fase.							
		NOBES	(n = 10)	OBES (n = 10)			
Fase	Tempo	Lipídeo	Água	Lipídeo	Água		
	0'	3,6 (2,1)	2,68 (1,7)* °	5,0 (2,3)	5,9 (1,3)		
T 1'	30'	5,6 (1,4)** ^b	1,77 (1,1)* ^{a j}	9,2 (1,7)* ^c	$3,3 (1,2)^{\#*bc}$		
Insulina	60'	2,7 (1,7)* ^{a i}	3,06 (1,6)* °	3,4 (2,3)* ^{a l}	6,4 (1,3)		
(μUI/mL)	90'	4,6 (1,3)* ^b	2,05 (1,5)* °	6,4 (1,8)	5,4 (1,2)		
	120'	4,1 (1,5)* ^b	2,6 (1,4)* °	7,4 (2,6)	4,8 (1,1)		
	0'	3,6 (2,2)** °	3,2 (2,8)** °	12 (2,5)	15,1 (2)		
T	30'	3,7 (2,2)* ^b	2,5 (2,5)** ^c	15,6 (2,3)** ^c	10,7 (1,8)* a e.f		
Leptina	60'	2,9 (2)** ^c	1,8 (7,2) ** ^c	6,8 (1,7)* ^{a d}	15,2 (2)* ^b		
(ng/mL)	90'	3,5 (2,1) ** ^c	2,5 (3,3) ** ^c	11,2 (2)	12,4 (2,3)*		
	120'	3,4 (2) ** ^c	2,5 (2,7) ** ^c	9,4 (1,18)	11,7 (2,2)		
	0'	73,5 (25,4)* ^{a g}	76,9 (27,7)	79 (21)	79 (34)		
Tuigligánidas	30'	75,7 (28,9)* ^{a h}	72,4 (23,3)	84 (23)	78 (34)		
Triglicérides	60'	79,3 (24)**a h	75,4 (26,3)	74 (21)* ^{a h}	81 (29)		
(mg/dL)	90'	89,3 (31,1)	81,2 (29,3)	86 (23)	78 (30)		
	120'	102 (36,9)	81,1 (27,2)	91 (33)	80 (34)		
	0'	76 (8,2)	73 (8)	77,6 (8)	77,9 (11,5)		
Clinasa	30'	77,2 (6,5)	75 (5,4)** ^c	79,7 (4)	81,1 (3,5)		
Glicose (mg/dL)	60'	73,8 (5,5)	75,5 (7,3)* ^c	75,2 (8.8)	79,8 (4,1)		
(mg/uL)	90'	74,6 (6,7)	76,4 (7,4)	89,3 (6,0)	79,8 (5,3)		
	120'	72,2 (8,7)	76,4 (9,1)	74,2 (8,4)* ^b	83,4 (5,2)		

Legenda:

NOBES, grupo de mulheres sem obesidade; OBES, grupo de mulheres com obesidade.

Para insulina e leptina, as médias e desvios padrão (DP) foram transformados para a escala original após testes em escala logarítmica. Os tempos 0', 30', 60', 90' e 120' referem-se às coletas de sangue ocorridas 0, 30, 60, 90 e 120 minutos após a ingestão de lipídeo ou água $\alpha = 0.05$.

- *Valor p < 0.05.
- **Valor p < 0,01.
- [#] n = 9 observações.
- ^a ANOVA para medidas repetidas. Comparação intragrupo, entre os cinco tempos de coleta de cada fase.
- ^b Teste t para dados emparelhados. Comparação intragrupo, entre as fases lipídeo e água, para um mesmo tempo de coleta.
- ^c Teste t para amostras independentes. Comparação entre grupos, em um mesmo tempo e fase.
- # n = 9 observações.
- ^a Comparação intragrupo, entre os cinco tempos de coleta de cada fase.
- ^b Comparação intragrupo, entre as fases lipídeo e água, em um mesmo tempo.
- ^c Comparação entre grupos, em um mesmo tempo e fase.
- ^d Inferior aos tempos zero 0 e 30 minutos.
- ^e.Inferior ao tempo 0 minuto.
- f Inferior ao tempo 60 minutos.
- ^g.Inferior aos tempos 60 e 120 minutos.
- ^h. Inferior ao tempo 120 minutos.
- Inferior aos tempos 30 e 90 minutos
- Inferior aos tempos 0, 60, 90 e 120 minutos.
- ¹. Inferior ao tempo 30 minutos.

4.2 Grupos OBES x NOBES, após ingestão de água

Em mulheres com obesidade em relação àquelas sem obesidade após ingestão de água, a análise por cluster mostrou maior perfusão cerebral em um aglomerado de 19328 voxels distribuídos nas seguintes áreas:

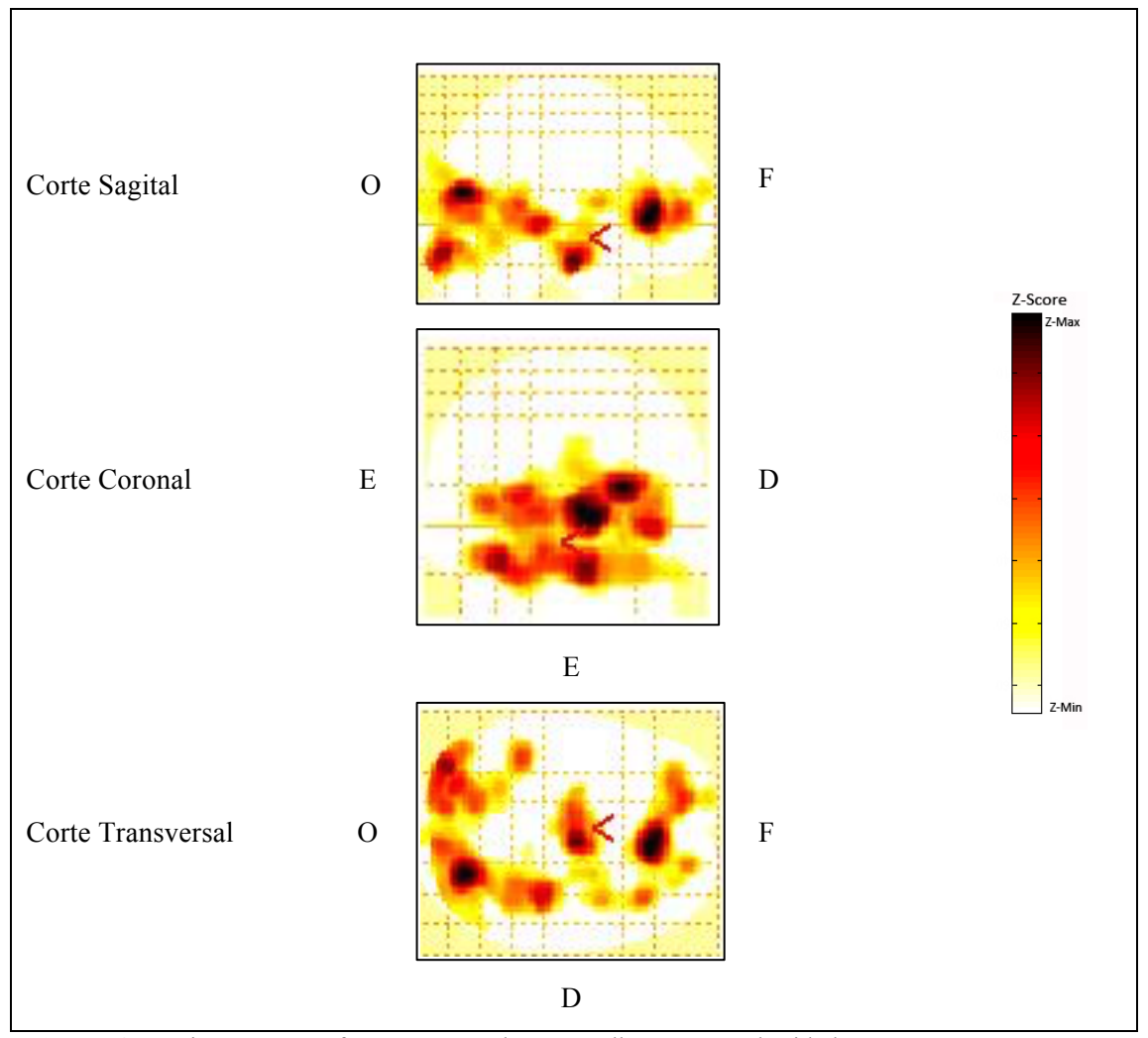


Figura 4. Regiões com perfusão aumentada em mulheres com obesidade em comparação às sem obesidade, após ingestão de água. Áreas mais escuras indicam maior diferença de intensidade. Legenda: O, Polo Occipital; F, Polo Frontal; D, lado direito; E, lado esquerdo.

1. Lobo occipital: cúneus, giros lingual e fusiforme posterior, Área de Brodman (BA) 18 e 19 (também conhecidos como giro occipito-temporal medial), sulco calcarino e córtex adjacente (BA 17), giros occipitais médio e inferior com menor ativação à direita. Giro occipital superior com maior ativação à direita;

- 2. Lobo frontal: Projeções anteriores bilaterais dos giros frontais superior, médio e inferior, anterior do giro frontal medial^a (BA 10);
 - 3. Lobo temporal: Amígdala e giro temporal superior direitos;
- 4. Lobo límbico: Hipocampo, giro parahipocampal, cíngulo anterior direito (BA 32 e 24) e cíngulo posterior (BA 30, 31);
 - 5. Lobos cerebelares posteriores bilaterais: Declive;
 - 6. Tronco encefálico: Ponte e mesencéfalo:
 - 7. Ínsula direita (BA 13);
 - 8. Núcleo lentiforme^b: à direita.

A análise por pico de intensidade do sinal revelou as regiões descritas no quadro abaixo (correspondentes às áreas mais escuras da figura 4).

Quadro 7. Regiões que apresentaram maior intensidade do sinal em mulheres com obesidade em relação às sem obesidade, após ingestão de água.							
			Coordena	das ^a			
Região	Área (s) de Brodmann	X	y	Z	Z score		
Pré-cúneus Direito	7	24	-7432	16 ₂	3,70		
Cíngulo Anterior Direito	24, 32	4	36	6	3,66		
Mesencéfalo Direito		8	-10	-22	3,43		
Giro Lingual Esquerdo	18	-34	-86	-18	3,32		

^a Coordenadas do Atlas Padrão MNI, tais que x é a distância em milímetros para a direita (+) ou esquerda (-) da linha média, y é a distância em milímetros anterior (+) ou posterior (-) à comissura anterior e z é a distância em milímetros superior (+) ou inferior (-) ao plano horizontal que passa pelas comissuras anterior e posterior. Z score: valor p < 0,000 (não corrigido para múltiplas comparações).

Por sua vez, também após ingestão de água em mulheres com obesidade em relação às sem obesidade, a análise por cluster também mostrou menor perfusão cerebral em um aglomerado de 17520 voxels distribuídos nas seguintes áreas:

- 1. Lobo frontal: Giro pré-central (BA 4), parte opercular (BA 44) e área motora suplementar (BA 6 e 8).
- 2. Lobo parietal: Pré-cúneus (BA 7), lóbulo paracentral com maior atividade à direita, giro pós-central (BA 1, BA 2, BA 3 e B5); com menor atividade à direita, giros parietal superior (BA 7) e inferior (BA 39 e BA 40) direitos.
 - 3. Lobo temporal: Giros temporais superior e médio esquerdos (BA 21 e BA 22).

^a Giro frontal medial: continuação medial do Giro frontal superior.

^b Núcleo lentiforme: putâmen e o globo pálido.

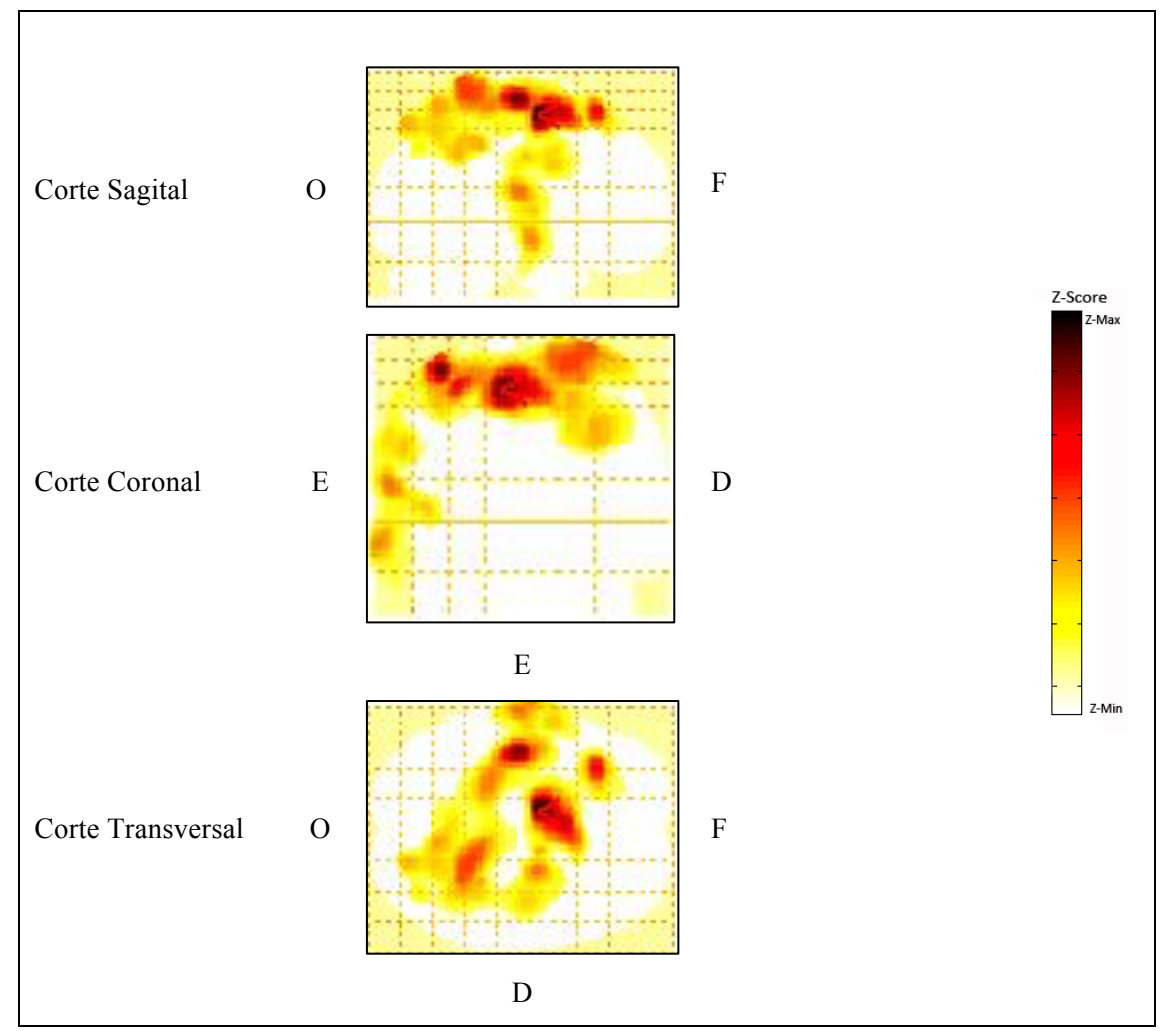


Figura 5. Regiões com perfusão reduzida em mulheres com obesidade em comparação às sem obesidade, após ingestão de água. Áreas mais escuras indicam maior diferença de intensidade. Legenda: O, Polo Occipital; F, Polo Frontal; D, lado direito; E, lado esquerdo.

A análise por pico de intensidade do sinal revelou as regiões com menor perfusão descritas no quadro 8.

Após a ingestão de água, a intensidade do sinal nas regiões onde houve aumento de perfusão em pacientes com obesidade apresentou correlação linear negativa com a insulina e positiva com a glicemia e gordura corporal quando avaliada toda a amostra. Contudo, ao separarem-se os grupos, apenas a correlação negativa entre gordura corporal e intensidade do sinal em pacientes sem obesidade permaneceu.

Quadro 8. Regiões que apresentaram menor perfusão cerebral em mulheres com obesidade em relação às sem obesidade, após ingestão de água.							
		Coordenadas ^a					
Região	Área (s) de Brodmann	X	y	Z		Z score	
Giro Pré-central Esquerdo	4	-40	-18 32	66	2	4,09	
Giro Frontal Superior	6	-2	8	56		3,65*	
Esquerdo	8	-32	26	58		3,45	

^a Coordenadas do Atlas Padrão MNI, tais que x é a distância em milímetros para a direita (+) ou esquerda (-) da linha média, y é a distância em milímetros anterior (+) ou posterior (-) à comissura anterior e z é a distância em milímetros superior (+) ou inferior (-) ao plano horizontal que passa pelas comissuras anterior e posterior.

A intensidade do sinal nas regiões onde houve redução da perfusão em pacientes com obesidade apresentou correlação linear negativa com a leptina, glicemia, trigliceridemia e gordura corporal quando avaliada toda a amostra. Contudo, ao separarem-se os grupos, apenas a correlação negativa com a leptina nas voluntárias com obesidade e a positiva com gordura corporal e intensidade do sinal naquelas sem obesidade permaneceram.

Quadro 9. Múltiplas comparações com correlação (r; valor p) entre intensidade do sinal extraída da subtração de imagens OBES água menos NOBES água e outras variáveis.								
		n perfusão aun grupo OBES	nentada	Cluster com perfusão reduzida no grupo NOBES				
Variáveis	NOBES	OBES	Ambos os	NOBES	OBES	Ambos os		
			grupos			grupos		
Leptina	- 0,67 (0,03)	- 0,25 (0,4)	0,35 (0,1)	0,49 (0,15)	- 0,64 (0,04)	- 0,47 (0,037)		
Insulina	- 0,41 (0,2)	- 0,02 (0,9)	-0,6 (0,001)	0,40 (0,25)	- 0,44 (0,2)	0,49 (0,02)		
Glicemia	0,53 (0,1)	- 0,09 (0,8)	0,63 (0,002)	- 0,33 (0,34)	0,25 (0,4)	- 0,48 (0,03)		
Trigliceridemia	- 0,08 (0,8)	- 0,11 (0,7)	0,04 (0,8)	0,07 (0,83)	- 0,23 (0,5)	- 0,14 (0,5)		
Gordura corporal	- 0,70 (0,02)	- 0,21 (0,5)	0,67 (0,001)	0,74 (0,01)	- 0,06 (0,8)	- 0,57 (0,008)		
Legenda: r coeficien	te de correlação lin	ear de Pearson	· ORES grupo	de mulheres cor	n obesidade: NC	ORES grupo de		

Legenda: r, coeficiente de correlação linear de Pearson; OBES, grupo de mulheres com obesidade; NOBES, grupo de mulheres sem obesidade; Variáveis transformadas: Leptina (log); insulina (1/ insulina ao cubo).

4.3 Grupos OBES x NOBES, após ingestão de lipídeo

Em mulheres com obesidade em relação àquelas sem obesidade após ingestão de solução lipídica, a análise por cluster mostrou maior perfusão cerebral em um aglomerado de 7289 voxels distribuídos nas seguintes áreas:

1. Lobo occipital: cúneus, giro lingual medial, sulco calcarino e córtex adjacente, giros occipitais médio e inferior (BA 17, BA 18, BA 19) com menor ativação à direita;

Z score: valor p < 0,000 (não corrigido para múltiplas comparações).

^{*} Z score: valor p < 0,000 (corrigido para múltiplas comparações).

- 2. Cerebelo: Região posterior e lóbulos semilunares superior e inferior com maior ativação à direita e declive;
 - 3. Lobo temporal: Giro fusiforme com maior ativação à direita;
 - 4. Lobo Límbico: Cíngulo posterior e istmo do cíngulo (BA 30).

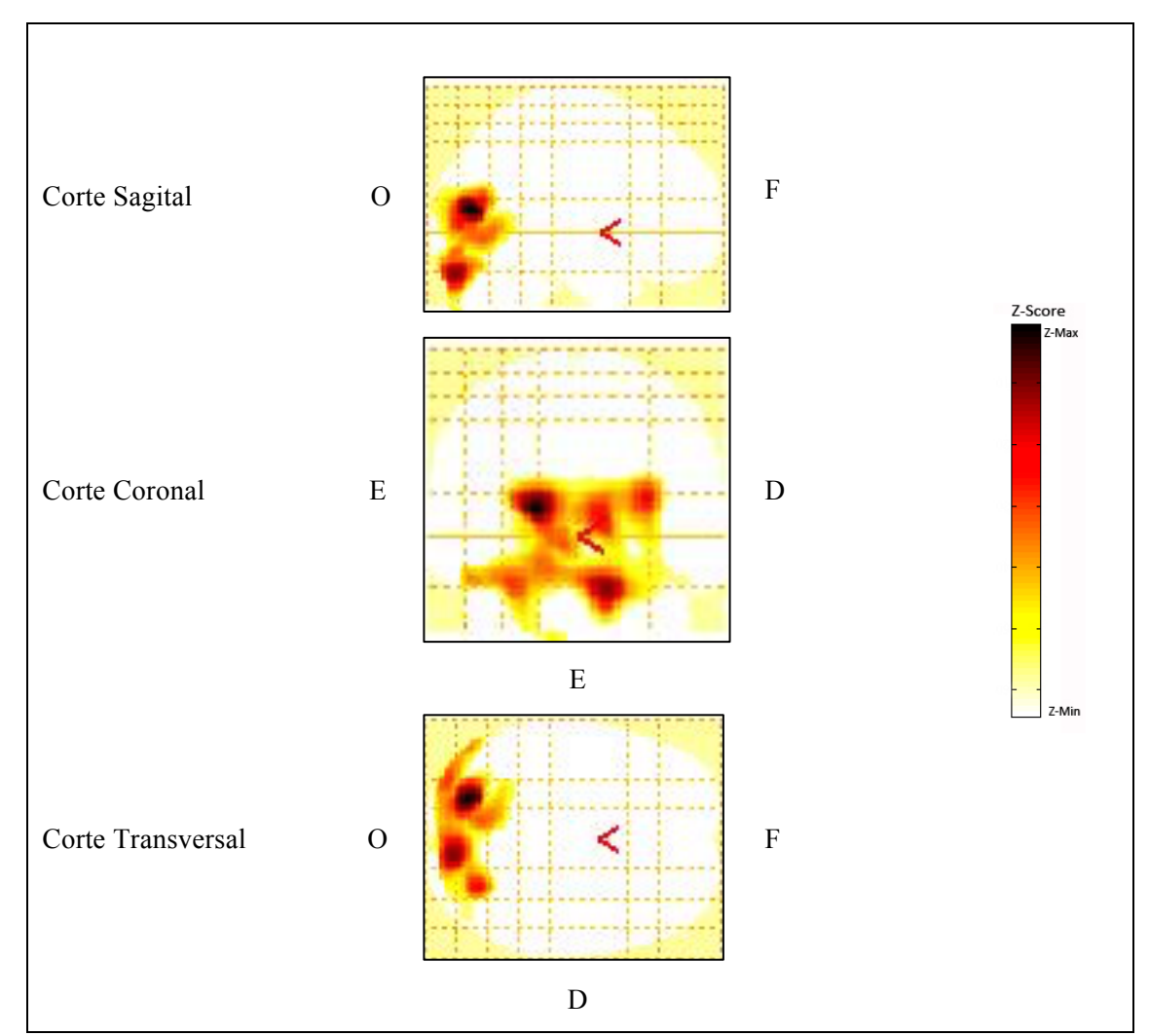


Figura 6. Regiões com perfusão aumentada em mulheres com obesidade em comparação às sem obesidade, após ingestão de solução lipídica. Áreas mais escuras indicam maior diferença de intensidade. Legenda: O, Polo Occipital; F, Polo Frontal; D, lado direito; E, lado esquerdo.

A análise por pico de intensidade do sinal revelou as regiões com maior perfusão descritas no quadro 10.

Quadro 10. Regiões que apresentaram maior perfusão cerebral em mulheres com obesidade em relação às sem obesidade, após ingestão de solução lipídica						
		Coordenadas ^a				
Região	Área (s) de Brodmann	X	y	Z	Z score	
Cúneus Esquerdo	17	-20	-76 ₃₂	10	2 3,84*	
Lóbulo Seminular Superior e Declive à direita	6	12	-86	26	3,46	
Giro Fusiforme	18	-30	-90	-24	3,43	

^a Coordenadas do Atlas Padrão MNI, tais que x é a distância em milímetros para a direita (+) ou esquerda (-) da linha média, y é a distância em milímetros anterior (+) ou posterior (-) à comissura anterior e z é a distância em milímetros superior (+) ou inferior (-) ao plano horizontal que passa pelas comissuras anterior e posterior.

Por sua vez, em mulheres com obesidade comparadas àquelas sem obesidade, após ingestão de solução lipídica, não houve áreas de menor perfusão cerebral em ambas as análises, por cluster e por pico.

Após a ingestão de solução lipídica, a intensidade do sinal nas regiões onde houve aumento da perfusão em pacientes com obesidade apresentou correlação linear positiva com a gordura corporal quando avaliada toda a amostra. Contudo, ao separarem-se os grupos, não houve correlação significante.

Quadro 11. Múltiplas comparações com correlação (r; valor p) entre intensidade do sinal extraída da subtração de imagens OBES lipídeo menos NOBES lipídeo e gordura corporal e concentrações séricas de hormônios e metabólitos para ambos os grupos e para todas as voluntárias. Variáveis OBES (n = 10)NOBES (n = 10)Todas as voluntárias Glicose 0,03 (0,9) 0,28(0,4)0,12 (0,6) Triacilglicerol 0,41 (0,2) - 0,23 (0,5) - 0,11 (0,6) Insulina - 0,09 (0,8) - 0,55 (0,09) - 0,3 (0,1) Leptina -0.06(0.8)-0.35(0.3)0,31 (0,1) Gordura corporal 0,06 (0,8) - 0,21 (0,5) 0.7 (< 0.001)

Legenda: Entre parênteses foram inseridos valores p não corrigidos para múltiplas comparações; r, coeficiente de correlação linear de Pearson; OBES, grupo de mulheres com obesidade; NOBES, grupo de mulheres sem obesidade; Variáveis transformadas: Insulina, 1/raiz quadrada da insulina; Leptina, Log leptina.

Z score: valor p < 0,000 (não corrigido para múltiplas comparações).

Z score: valor p < 0,000 (corrigido para múltiplas comparações).

4.4 Grupo NOBES após ingestão de lipídeo x NOBES após água

Em mulheres sem obesidade comparadas a elas mesmas, após ingestão de solução lipídica, a análise por cluster mostrou maior perfusão cerebral em um aglomerado de 9515 voxels distribuídos nas seguintes áreas:

1. Lobo frontal: Giro frontal superior dorsolateral bilateral (BA 8), córtex pré-frontal anterior (BA 10) e dorsolateral (BA 9), região orbitária dos giros frontal superior, médio e medial com menor perfusão à direita. Giro frontal médio com maior perfusão à direita e giro frontal inferior opercular direito.

2. Lobo límbico: Giro do cíngulo anterior com menor ativação à direita (BA 32).

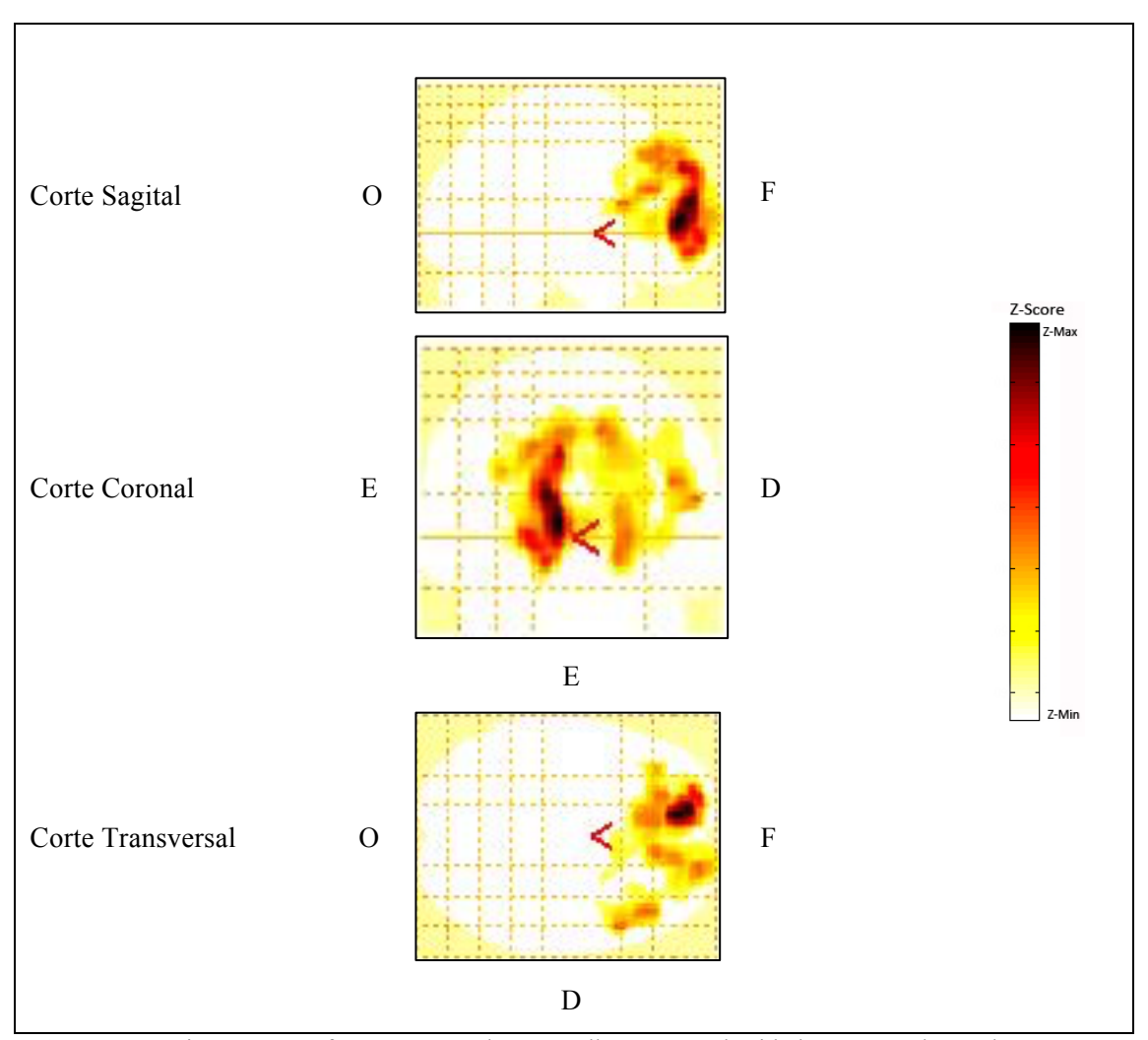


Figura 7. Regiões com perfusão aumentada em mulheres sem obesidade comparadas a elas mesmas, após ingestão de solução lipídica. Áreas mais escuras indicam maior diferenca de intensidade. Legenda: O, Polo Occipital; F, Polo Frontal; D, lado direito; E, lado esquerdo.

Nas regiões onde houve perfusão elevada, a diferença da média de elevação de intensidade de sinal entre voluntárias sem e com obesidade após a ingestão de solução lipídica em relação à ingestão de água é ilustrada na figura abaixo.

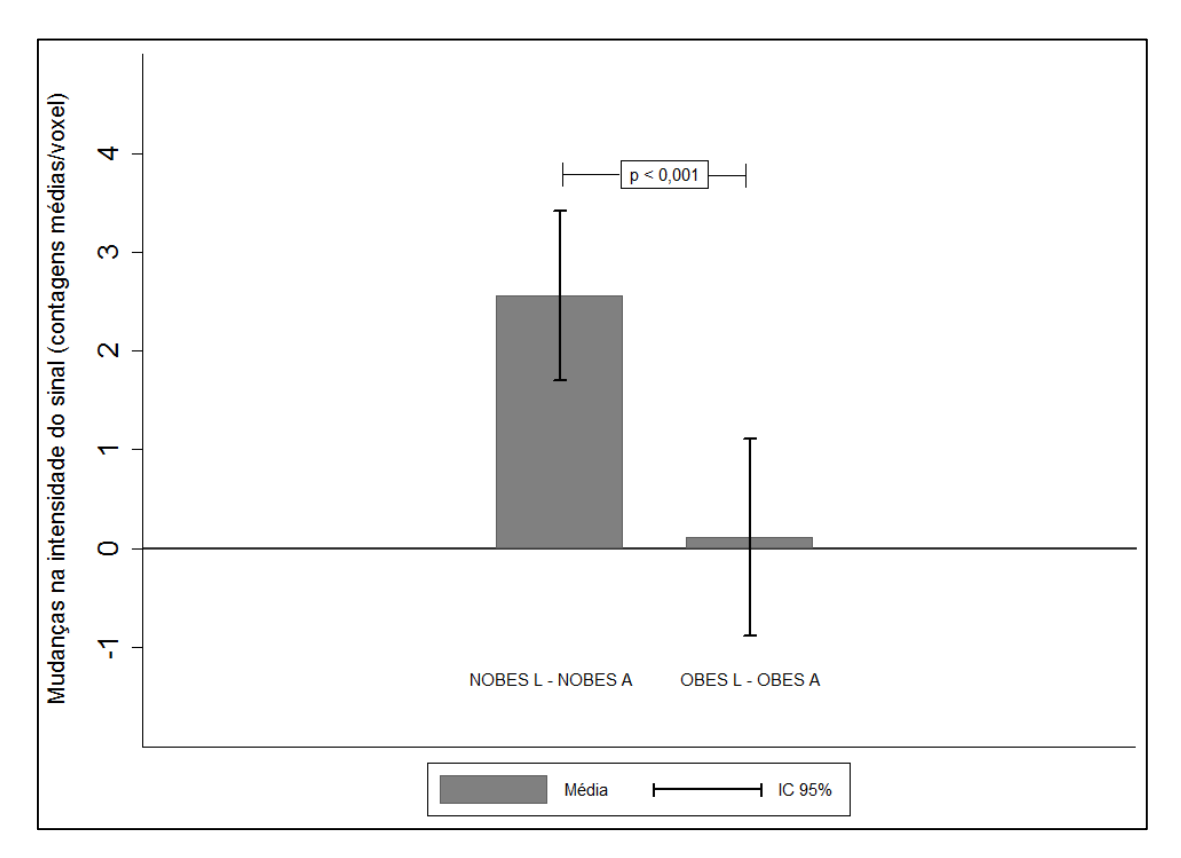


Figura 8. Gráfico com médias das mudanças na intensidade do sinal nos dois grupos após ingestão de solução lipídica.

A análise por pico de intensidade do sinal revelou as regiões com maior perfusão descritas no quadro abaixo.

Quadro 12. Regiões que apresentaram maior perfusão cerebral em mulheres sem obesidade comparadas a elas mesmas, após ingestão de solução lipídica.					
		Coordenadas ^a			
Região	Área (s) de Brodmann	X	y	Z	Z score
Giro Frontal Médio	10	-12	-5432	16 ₂	4
Cíngulo Anterior	9	-10	46	4	4,09*

^aCoordenadas do Atlas Padrão MNI, tais que x é a distância em milímetros para a direita (+) ou esquerda (-) da linha média, y é a distância em milímetros anterior (+) ou posterior (-) à comissura anterior e z é a distância em milímetros superior (+) ou inferior (-) ao plano horizontal que passa pelas comissuras anterior e posterior.

Z score: valor p < 0,000 (não corrigido para múltiplas comparações).

^{*} Z score: valor p < 0,000 (corrigido para múltiplas comparações).

Após a ingestão de lipídeo, a intensidade do sinal nas regiões onde houve aumento da perfusão em pacientes sem obesidade não apresentou correlação linear com hormônios e gordura corporal quando avaliada toda a amostra. Contudo, ao separarem-se os grupos, houve correlação positiva com a leptina em voluntárias com obesidade e negativa com leptina em voluntárias sem obesidade (quadro 13).

Ouadro 13. Coeficientes de correlacão de Pearson entre a mudanca na atividade cerebral (região com maior perfusão em mulheres sem obesidade após lipídeo) e a mudança nas concentrações séricas de hormônios e metabólitos para ambos os grupos e para todas as voluntárias. Variáveis OBES (n = 10)NOBES (n = 10)Todas as voluntárias Glicose 0,24 (0,5) - 0,47 (0,1) 0,35 (0,1) Triacilglicerol - 0,002 (0,9) 0,05 (0,8) 0,18 (0,4) Insulina 0,21 (0,5) 0,52 (0,1) 0,04 (0,8) Leptina 0,73 (0,01) - 0,65 (0,03) 0.36(0.1)- 0,22 (0,5) Gordura - 0,11 (0,7) -0.18(0.4)

Legenda: Entre parênteses foram inseridos valores p não corrigidos para múltiplas comparações; r, coeficiente de correlação linear de Pearson; OBES, grupo de mulheres com obesidade; NOBES, grupo de mulheres sem obesidade; Variáveis transformadas: Insulina, 1/raiz quadrada da insulina; Leptina, Log leptina.

Por sua vez, nas mulheres sem obesidade comparadas a elas mesmas após a ingestão de solução lipídica, a análise por cluster também mostrou menor perfusão cerebral em um aglomerado de 4209 voxels distribuídos nas seguintes áreas do hemisfério esquerdo:

- 1. Lobo frontal: Giro pré-central (BA 4), giro frontal inferior (parte triangular BA 45 e giro frontal médio (BA 6, 46).
 - 2. Lobo parietal: Giro pós-central (BA 3).

corporal

3. Lobo temporal: Giro temporal médio (BA 21) e giro temporal superior.

Nas regiões onde houve perfusão reduzida, a diferença da média de alteração de intensidade de sinal entre voluntárias sem e com obesidade após a ingestão de solução lipídica em relação à ingestão de água é ilustrada na figura 10.

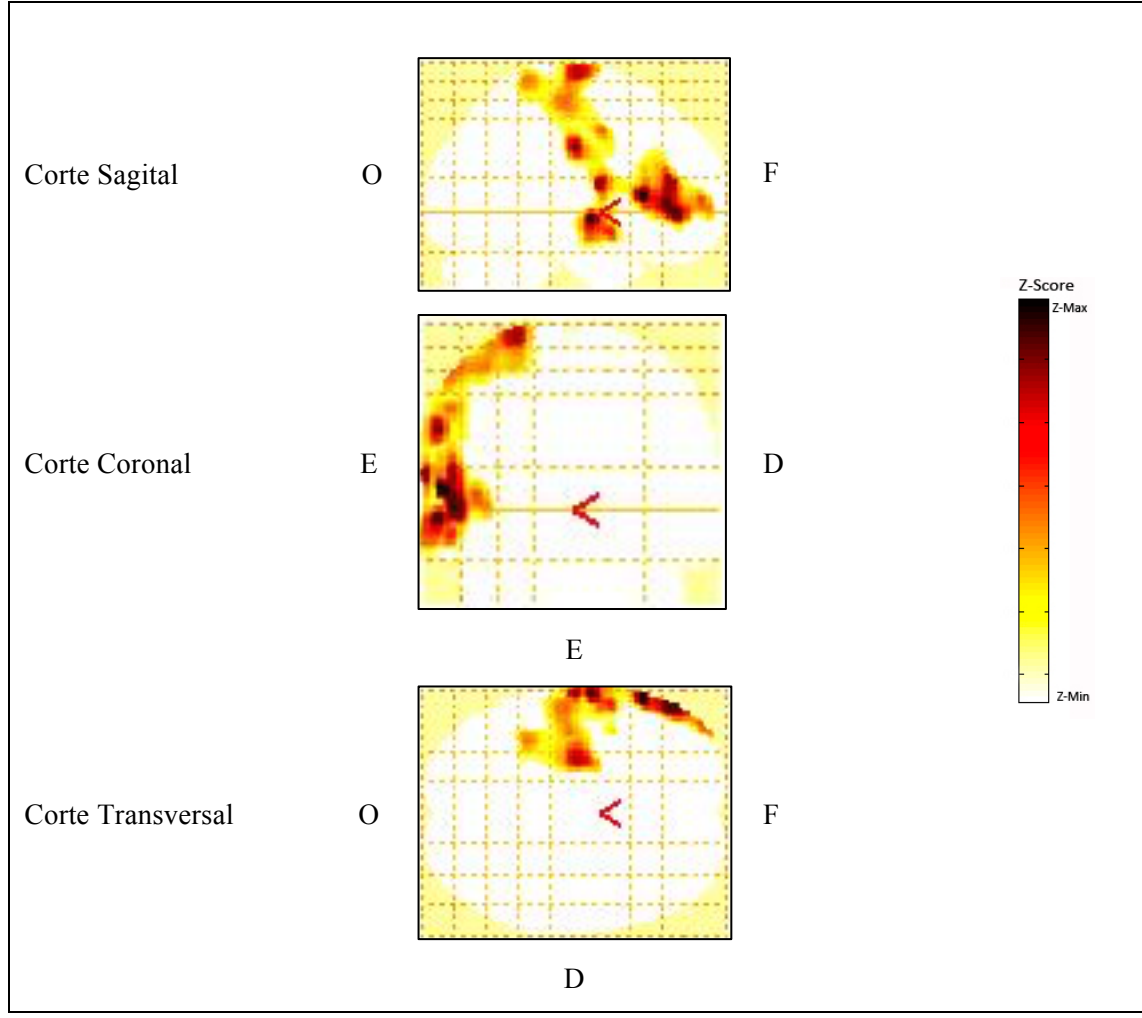


Figura 9. Regiões com perfusão reduzida em mulheres sem obesidade comparadas a elas mesmas, após ingestão de solução lipídica. Áreas mais escuras indicam maior diferença de intensidade. Legenda: O, Polo Occipital; F, Polo Frontal; D, lado direito; E, lado esquerdo.

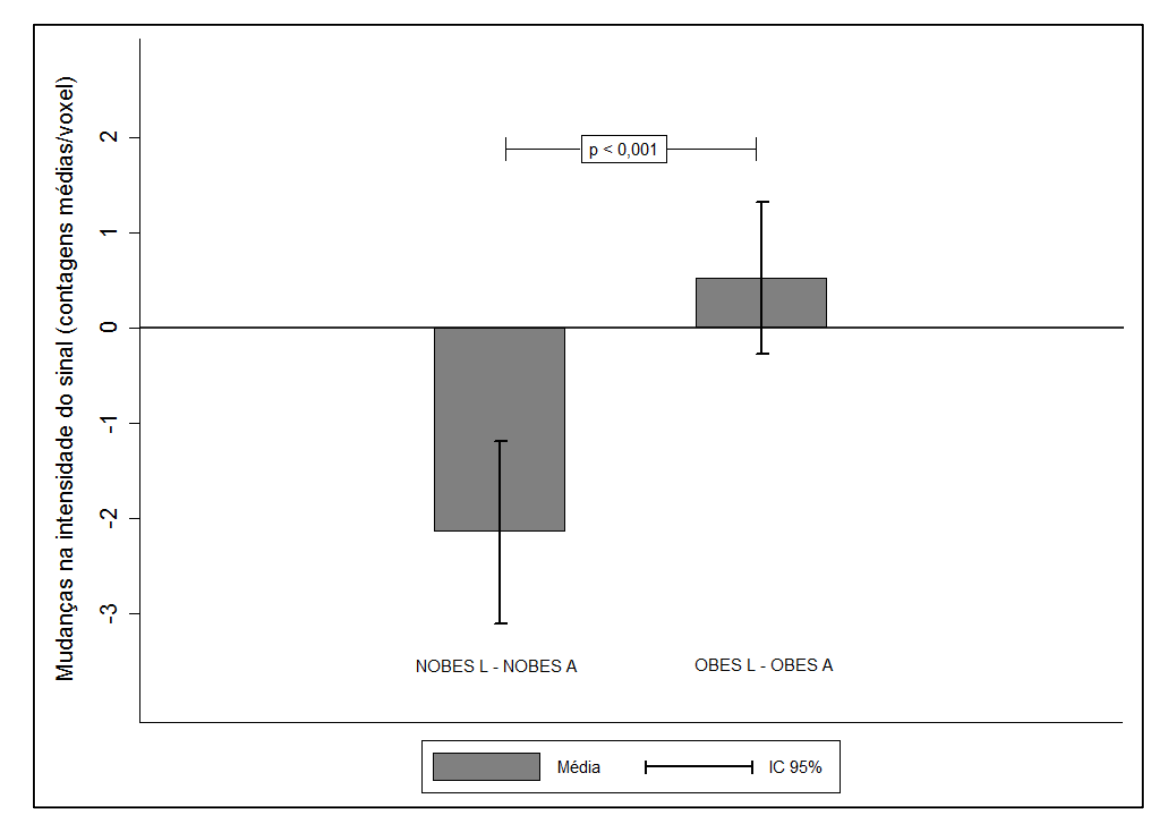


Figura 10. Gráfico com médias das mudanças na intensidade do sinal nos dois grupos após ingestão de solução lipídica.

A análise por pico de intensidade do sinal revelou as regiões com menor perfusão descritas na Quadro abaixo.

Quadro 14. Regiões que apresentaram menor perfusão cerebral em mulheres sem obesidade comparadas a elas mesmas, após ingestão de solução lipídica.							
		Coordenadas ^a					
Região	Área (s) de Brodmann	X	y	Z	Z score		
Giro Frontal Inferior (parte triangulada)	45	-60	22 32		2 3,65		
(parte transgamus)	45	-56 -56	40 36	-2 2	3,48 3,45		
Giro Pós-central		-64	-16	34	3,37		

^aCoordenadas do Atlas Padrão MNI, tais que x é a distância em milímetros para a direita (+) ou esquerda (-) da linha média, y é a distância em milímetros anterior (+) ou posterior (-) à comissura anterior e z é a distância em milímetros superior (+) ou inferior (-) ao plano horizontal que passa pelas comissuras anterior e posterior.

Z score: valor p < 0,000 (não corrigido para múltiplas comparações).

Após ingestão de solução lipídica, a intensidade do sinal nas regiões onde houve redução da perfusão em pacientes sem obesidade apresentou correlação linear negativa com a leptina quando avaliada toda a amostra. Contudo, ao separarem-se os grupos, apenas a correlação positiva entre gordura corporal e intensidade do sinal em voluntárias com obesidade permaneceu.

Ouadro 15. Coeficientes de correlação de Pearson entre a mudança na atividade cerebral (região com menor atividade em mulheres sem obesidade após lipídeo) e a mudança nas concentrações séricas de hormônios e metabólitos para ambos os grupos e para todas as voluntárias.

Variáveis	OBES $(n = 10)$	NOBES $(n = 10)$	Todas as voluntárias
Glicose	0,36 (0,3)	0,61 (0,06)	- 0,1 (0,6)
Triacilglicerol	0,13 (0,7)	- 0,38 (0,2)	- 0,22 (0,3)
Insulina	- 0,57 (0,08)	- 0,13 (0,7)	- 0,01 (0,9)
Leptina	- 0,77 (0,008)	0,21 (0,5)	- 0,46 (0,04)
Gordura corporal	0,74 (0,01)	0,24 (0,4)	0,4 (0,08)

Legenda: Entre parênteses foram inseridos valores p não corrigidos para múltiplas comparações; r, coeficiente de correlação linear de Pearson; OBES, grupo de mulheres com obesidade; NOBES, grupo de mulheres sem obesidade; Variáveis transformadas: Insulina, 1/raiz quadrada da insulina; Leptina, Log leptina.

4.5 Grupos OBES após ingestão de lipídeo x OBES após água

Em mulheres com obesidade comparadas a elas mesmas, após ingestão de solução lipídica, não houve áreas de maior perfusão cerebral em ambas as análises, por cluster e por pico.

Por sua vez, em mulheres com obesidade comparadas a elas mesmas após ingestão de solução lipídica, a análise por cluster mostrou menor perfusão cerebral em um aglomerado de 10400 voxels distribuídos principalmente no hemisfério direito nas seguintes áreas:

- 1. Lobo Temporal: Giros temporal superior, médio, inferior, lingual e sulco calcarino e córtex adjacente.
- 2. Lobo Frontal: Córtex pré-frontal dorsolateral (BA 46), Giro pré-central e giro frontal inferior (parte triangular) e Opérculo Rolândico.
 - 3. Tronco Encefálico
 - 4. Ínsula (BA 13)
 - 5. Tálamo, Núcleo lentiforme
 - 6. Cerebelo: Lobo anterior (cúlmen)
 - 7. Lobo límbico: Hipocampo e giro parahipocampal

Nas regiões onde houve redução da perfusão em pacientes com obesidade após a ingestão de solução lipídica, a diferença da média de redução de intensidade de sinal entre os grupos em relação a ingestão de água é ilustrada na figura 12.

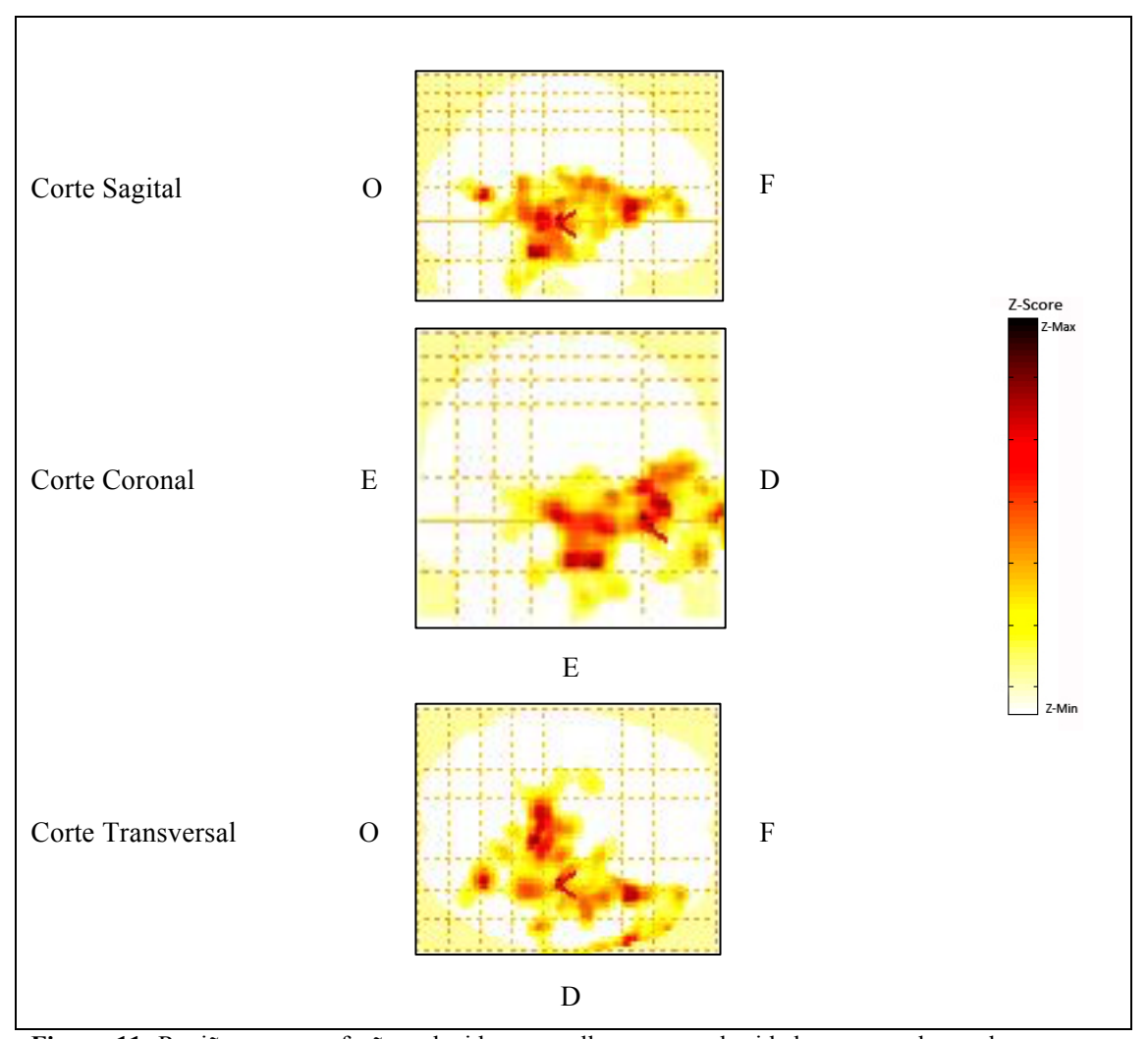


Figura 11. Regiões com perfusão reduzida em mulheres com obesidade comparadas a elas mesmas, após ingestão de solução lipídica. Áreas mais escuras indicam maior diferença de intensidade. Legenda: O, Polo Occipital; F, Polo Frontal; D, direito; E, esquerdo.

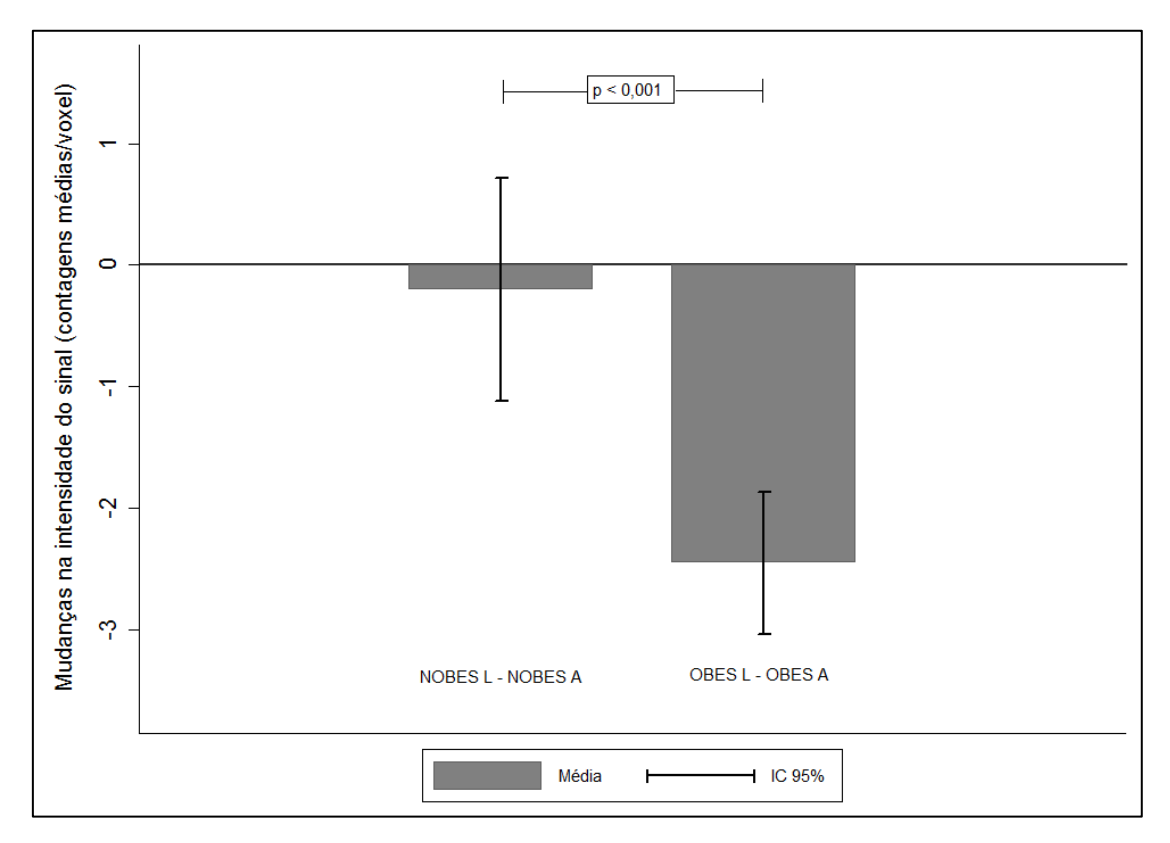


Figura 12. Gráfico com médias das mudanças na intensidade do sinal nos dois grupos.

A análise por pico de intensidade do sinal revelou as regiões com menor perfusão descritas na Quadro abaixo.

Quadro 16. Regiões que apresentaram menor perfusão cerebral em mulheres com obesidade comparadas a elas mesmas, após ingestão de solução lipídica.						
			Coordena	adas ^a		
Região	Área (s) de Brodmann	X	y	Z	Z score	
Putâmen		32	-20 32	2	2 3,99	
Mesencéfalo		8	-34	20	3,69	
		0	-30	20	3,52	
		-6	-30	0	3,47	
Ínsula		40	20	4	3,57	

^aCoordenadas do Atlas Padrão MNI, tais que x é a distância em milímetros para a direita (+) ou esquerda (-) da linha média, y é a distância em milímetros anterior (+) ou posterior (-) à comissura anterior e z é a distância em milímetros superior (+) ou inferior (-) ao plano horizontal que passa pelas comissuras anterior e posterior.

Z score: valor p < 0,000 (não corrigido para múltiplas comparações).

Após ingestão de solução lipídica, a intensidade do sinal nas regiões onde houve redução da perfusão em pacientes com obesidade não apresentou correlação linear com hormônios ou gordura corporal quando avaliada toda a amostra ou quando separados os grupos.

Quadro 17. Coeficientes de correlação de Pearson entre a mudança na atividade cerebral (região com menor perfusão em mulheres com obesidade após lipídeo) e a mudança nas concentrações séricas de hormônios e metabólitos para ambos os grupos e para todas as voluntárias. OBES (n = 10)Variáveis NOBES (n = 10)Todas as voluntárias Glicose -0.53(0.1)-0.59(0.06)0,05 (0,8) Triacilglicerol - 0,24 (0,4) 0,47 (0,1) 0,23 (0,3) Insulina 0.04 (0.9) - 0,3 (0,3) - 0,3 (0,1) 0,37 (0,2) 0,01 (0,9) 0,38 (0,1) Leptina - 0,13 (0,5) Gordura - 0,36 (0,3) 0,27 (0,4) corporal

Legenda: Entre parênteses foram inseridos valores p não corrigidos para múltiplas comparações; r, coeficiente de correlação linear de Pearson; OBES, grupo de mulheres com obesidade; NOBES, grupo de mulheres sem obesidade; Variáveis transformadas: Insulina, 1/raiz quadrada da insulina; Leptina, Log leptina.

5 DISCUSSÃO

As diferenças apresentadas entre os grupos OBES e NOBES no início do protocolo ou são características dos grupos como peso e IMC, ou estão associadas à obesidade e aos estados de resistência insulínica como pressões arterial sistólica e diastólica, HDL colesterol e glicemias nos tempos 0 e 120 do teste oral de tolerância à glicose^{93,94,95}.

Conforme descrito na literatura, o momento de maior elevação da trigliceridemia após ingestão de refeição gordurosa abrange uma faixa que vai de 60^{92} a 240 minutos ⁹⁶. A ausência de elevação após 60 minutos da ingestão da solução, e portanto, no momento da administração do radiofármaco e da captação das imagens, pode ter resultado das diversas condições que influenciam a absorção de lipídeos⁹². Vale ressaltar que não houve diferença entre as médias de trigliceridemia entre os grupos aos 60 minutos. Durante a realização do protocolo com solução lipídica, a manutenção das médias de glicemia em níveis semelhantes pode dever-se à utilização de glicose como substrato energético.

A discussão dos resultados foi realizada de acordo com duas possíveis comparações:

- 1. Intergrupo, onde as imagens do grupo OBES foram comparadas às do NOBES após a ingestão do mesmo desafio alimentar (água ou solução lipídica) e;
- 2. Intragrupo onde as imagens após ingestão de solução lipídica foram comparadas com imagens do mesmo grupo após ingestão de água.

Deve ser considerado que pelo menos em parte, as diferenças entre nossos achados e os descritos na literatura podem ser explicadas pelas diferentes metodologias, tipos de estímulo, técnicas de neuroimagem funcional e análises estatísticas empregadas assim como as características dos voluntários recrutados nos estudos⁹⁷. Também deve ser destacado que, os tempos diferentes para administração do radiofármaco, para água 30 minutos e para a solução lipídica 60 minutos, basearam-se nos diferentes tempos de esvaziamento gástrico para ambos os estímulos 98,99.

Na comparação intergrupo, em pacientes com obesidade em relação à voluntárias sem obesidade, após trinta minutos da ingestão de água, houve maior perfusão em áreas pertencentes à Salience Network¹⁰⁰ e à Default Mode Network¹⁰¹. Esses circuitos neuronais estão relacionados ao reconhecimento e à atribuição de valores hedônicos a estímulos, assim como à percepção do sensações do meio interno como fome e sede.

Ao contrário, na mesma comparação, houve redução da perfusão em áreas relacionadas às seguintes funções: córtex somatossensorial primário, córtex motor primário e área motora suplementar, córtex de associação somatossensorial de visão espacial e memória de trabalho, compreensão da linguagem e gerenciamento da memória e processamento de estímulos auditivos.

Sessenta minutos após a ingestão de solução lipídica, na comparação de imagens de voluntárias com obesidade em relação às imagens de voluntárias sem obesidade, após mesmo desafio alimentar, houve aumento da perfusão em áreas relacionadas às seguintes funções: córtex visual primário e secundário e controle de movimentos involuntários e tônus muscular. Observase que não houve aumento de perfusão em estruturas envolvidas em inibição de comportamentos inapropriados, nem em estruturas envolvidas nos circuitos de motivação e recompensa (lobo límbico, ínsula, núcleo lentiforme). No entanto, não houve redução de atividade, inferida pela diminuição do fluxo sanguíneo em nenhuma região. Não parece haver relação entre o aumento perfusional observado e absorção da solução lipídica uma vez que em ambos os grupos a maior elevação da trigliceridemia ocorreu aos 120 minutos e que no momento da captação das imagens, não houve diferença entre as médias dos testes com água e lipídeo.

atividade cerebral aumentada. após ambos estímulos. observada predominantemente no lobo occipital esquerdo não foi descrita em estudos com Ressonância Magnética em voluntários sem obesidade ou com sobrepeso após infusão intragástrica de glicose¹⁰² e ácidos graxos livres⁸⁵.

Embora de forma inconsistente, a maioria dos estudos comparando voluntários com obesidade aos sem obesidade observa, após a ingestão de refeições mistas contendo três macronutrientes, atividade cerebral aumentada em áreas gustatórias e somatossensoriais, o que seria compatível nossa observação de aumento da perfusão nos córtices visuais primário e secundário, e reduzida na região pré-frontal caracterizando uma resposta antecipatória exacerbada^{96,103,104,99,105,106107}. Tal observação só foi encontrada em nosso estudo após o estímulo com água. Também é descrita na literatura, a redução da atividade cerebral no Striatum, que pode estar relacionada, após o consumo do alimento, a uma recompensa consumatória diminuída ^{97,108}. No entanto, deve-se ressaltar que o desafio alimentar utilizado em nosso estudo foi constituído apenas de um macronutriente, o lipídeo.

A elevação da perfusão cerebelar tem sido observada em resposta à fome e à infusão intragástrica de glicose e à estimulação, visual, gustatória e olfatória 99,109,110,111,112. Projeções cerebelo-hipotalâmicas podem estar relacionadas à movimentação ávida por alimento em resposta a sinais viscerais (aferências vagais, colecistoquininina, leptina e glicemia) e sensoriais. Além disso, o cerebelo, por meio de circuitos diretos com o córtex e indiretos com a amígdala e o sistema límbico, pode estar associado ao reconhecimento afetivo e cognitivo de alimentos¹¹³.

Na comparação intragrupos, comparadas ao dia em que ingeriram apenas água, as imagens de pacientes sem obesidade obtidas após a ingestão de solução lipídica, apresentaram perfusão aumentada em áreas relacionadas às seguintes funções: inibição de impulsos inapropriados, atruibuição do valor hedônico do alimento nos circuitos de motivação e recompensa e córtex sensorial primário gustatório. Uma vez que não houve no momento de injeção do radiofármaço, elevação da trigliceridemia o aumento perfusional não parece estar relacionado à absorção de lipídeos. Também considerando que não houve diferença entre as concentrações de leptina neste grupo entre os dias de teste com água e solução lipídica, a menor concentração de leptina parece estar correlacionada a maior intensidade de sinal nas áreas supracitadas, embora não tenha havido correlação com a massa gordurosa.

Achado contrastante foi observado em voluntários não obesos após a infusão intragástrica de ácido dodecanoico⁸⁵ onde, por meio de Ressonância Magnética, aumento do sinal no tronco encefálico, ponte, hipotálamo, cerebelo e áreas motoras corticais. Contudo, o momento avaliado pelo SPECT em nosso estudo foi 60 minutos após a ingestão do desafio alimentar o que difere daquele captado por estudos com Ressonância Magnética em que imagens obtidas após 2 minutos de teste foram consideradas.

Efeitos da distensão do esôfago¹¹⁴ e do estômago^{115,116} podem explicar a atividade cerebral aumentada observada no cíngulo anterior direito das voluntárias com obesidade na comparação intergrupos após a ingestão de água e nas voluntárias sem obesidade na comparação intragrupos após ingestão de solução lipídica. Contudo, não se pode desconsiderar que amígdala, hipocampo, ínsula e cíngulo anterior são estruturas envolvidas na codificação dos valores afetivos e do prazer que o alimento evoca 100, 117,118.

O córtex pré-frontal, ou seja a área não motora do lobo frontal, ocupa grande extensão e abriga circuitos neuronais complexos que recebem fibras de todas as áreas de associação além de comunicar-se com o sistema límbico e com o núcleo dorsomedial do tálamo. Esta região está implicada na escolha de estratégias adequadas, manutenção da atenção e, em conjunto com o hipotálamo e o sistema límbico, no controle do comportamento emocional e nos processos motivacionais primários. Estudos apontam o papel desempenhado por essa região em conjunto com os gânglios da base no controle de comportamentos impulsivos¹¹⁹.

Por sua vez, o córtex orbitofrontal, em conjunto com a amígdala, hipocampo e cíngulo anterior, desempenha papel crucial na avaliação do valor hedônico do alimento¹²⁰ ao integrar aferências sensoriais com os sinais de fome ou saciedade oriundos de núcleos talâmicos, hipotalâmicos e do NTS.

O aumento perfusional observado nessas duas regiões em voluntárias sem obesidade após estímulo lipídico pode representar uma melhor capacidade de analisar as consequências imediatas e tardias do consumo de um alimento e assim, decidir qual ação lhe será mais benéfica: comer ou parar de comer 121,122.

Áreas relacionadas às seguintes funções apresentaram redução da perfusão após ingestão de solução lipídica em voluntárias sem obesidade em relação ao teste com ingestão de água: córtex motor primário, área motora suplementar, córtex somatossensorial primário, gerenciamento da memória e processamento de estímulos auditivos. De igual maneira, a diminuição perfusional não parece estar relacionada à absorção dos triglicérides da solução lipídica.

Nossos achados contrastam com estudo com RMN onde, após a ingestão oral de proteínas, carboidratos e lipídeos, foi observado apenas em homens não obesos redução do sinal na ínsula, tálamo, além do núcleo caudato e córtex orbitofrontal¹²³.

Após ingestão de solução lipídica, as imagens de mulheres com obesidade não apresentaram aumento perfusional em nenhuma região quando comparadas às imagens das mesmas voluntárias após ingestão de água. Ao contrário, foi encontrada apenas redução de perfusão em algumas das áreas onde antes foram registradas elevações nas comparações com pacientes sem obesidade após ingestão de água como a ínsula, hipocampo e giro parahipocampal, tronco encefálico e opérculo frontal. Além destas áreas, o córtex pré-frontal e regiões relacionadas à percepção e reconhecimento de formas e parte do córtex visual primário apresentaram atividade reduzida em mulheres com obesidade após a ingestão de solução lipídica. Estudo com fRMN mostrou menor aumento de sinal no córte pré-frontal dorsolateral em voluntários com obesidade após ingestão de refeição mista o que sugeriu um prejuízo no controle de impulsos¹⁰⁵. No nosso estudo, a intensidade da redução do sinal não apresentou correlação linear com hormônios, nutrientes ou gordura corporal.

Em voluntárias com obesidade, foi observada após a ingestão de água, ou seja em estado basal, uma maior ativação de regiões relacionadas à atribuição de recompensas e à percepção de sensações do meio interno 100, 101 o que pode representar uma maior recompensa antecipatória frente a um estímulo alimentar. Também nessa população, a redução da perfusão no córtex gustatório primário e a ausência de elevação da perfusão na área préfrontal e córtex orbitofrontal, observadas após a ingestão de solução lipídica, podem apontar para uma inibição insuficiente de impulsos inapropriados frente a um consumo alimentar aumentado em decorrência de recompensa consumatória diminuída⁴⁹.

6 CONCLUSÃO

O aumento da perfusão cerebral em regiões relacionadas a controle de impulsos como o córtex pré-frontal, observado após a ingestão de solução lipídica apenas em pacientes sem obesidade, pode representar um maior controle do comportamento alimentar nesse grupo de pacientes. Por outro lado em pacientes com obesidade, após ingestão de água houve maior ativação de circuitos relacionados ao reconhecimento de sensações como fome e sede, associada após a ingestão de solução lipídica, à redução da perfusão em regiões envolvidas em regiões sensoriais gustatórias o que pode estar relacionado a uma ingestão alimentar aumentada decorrente de recompensa consumatória prejudicada.

Ambos os mecanismos, controle de impulsos prejudicado e dificuldade em obter a recompensa antecipada, isolados ou em conjunto, podem resultar em ganho ponderal e consequente obesidade.

REFERÊNCIAS BIBLIOGRÁFICAS

¹ HILL J.O.; et al. Obesidade: Etiologia. In: Shils, ME. Nutrição moderna na saúde e na doenca. Barueri: Ed. Manole, 2009. p 1088 – 1105.

- ² HEYMSFIELD S.B.; et al. Evaluation of total and regional adiposity. In: BRAY G.A.; BOUCHARD C. Handbook of Obesity - Etiology and Pathophysiology, New York, Ed., 93 – 108.
- ³ GODOY-MATOS A.F.; OLIVEIRA J.; GUEDES E.P.; et al. Diretrizes brasileiras de obesidade - Associação Brasileira para o Estudo da Obesidade e da Síndrome Metabólica. 3ª Edição. Itapevi: AC Farmacêutica, 2009.
- ⁴ CALLE E.E.; THUN M.J.; PETRELLI J.M; et al. Body-mass index and mortality in a prospective cohort of U.S. adults. N Engl J Med 1999; 341:1097-105.
- ⁵ GALLAGHER D.; VISSER M.; SEPULVEDA D.; et al. How useful is body mass index for comparison of body fatness across age, sex, and ethnic groups? Am J Epidemiol 1996;143:228-39.
- ⁶ GARN S.M.; LEONARD W.R.; HAWTHORNE V.M. Three limitations of the body mass index. Am J Clin Nutr 1986; 44:996-997.
- ⁷ DEURENBERG P.; YAP M.; WANG J.; et al. The impact of body build on the relationship between body mass index and percent body fat. Int J Obes Relat Metab Disord 1999;23:537-42.
- ⁸ GARROW J.S.; WEBSTER J. Quetelet's index (W/H2) as a measure of fatness. Int J Obes 1985; 9:147-153.
- ⁹ BAUMGARTNER R.N.; HEYMSFIELD S.B.; ROCHE A.F. Human body composition and the epidemiology of chronic disease. Obes Res 1995; 3:73–95.
- ¹⁰ REXRODE K.M.; CAREY V.J.; HENNEKENS C.H.; et al. Abdominal adiposity and coronary heart disease in women. JAMA 1998;280:1843-8.
- ¹¹ POULIOT M.C.; DESPRES J.P.; LEMIEUX S.; et al. Waist circumference and abdominal sagittal diameter: best simple anthropometric indexes of abdominal visceral adipose tissue accumulation and related cardiovascular risk in men and women. Am J Cardiol 1994;73:460-8.

- 12 HAN T.S.: SEIDELL J.C.: CURRALL J.E.: et al. The influences of height and age on waist circumference as an index of adiposity in adults. Int J Obes Relat Metab Disord 1997;21:83-9.
- ¹³ MOLARIUS A.; SEIDELL J.C.; SANS S.; et al. Varying sensitivity of waist action levels to identif v subjects with overweight or obesity in 19 populations of the WHO MONICA Project. J Clin Epidemiol 1999:52:1213-24.
- ¹⁴ FLEGAL K.M.; CARROLL M.D.; KIT B.K.; et al. Prevalence of obesity and trends in the distribution of body mass index among US adults, 1999-2010. JAMA 2012; 307:491-7.
- ¹⁵ World Health Organization. Disponível em www.who.int. Acesso em: 16 nov. 2014.
- ¹⁶ Ministério da Saúde do Brasil. Vigilância de Fatores de Risco e Proteção para Doenças Telefônico Inquérito (Vigitel). 2013. Disponível Crônicas http://portalsaude.saude.gov.br/images/pdf/2014/abril/30/Lancamento-Vigitel-28-04-ok.pdf. Acesso em: 16 nov. 2014.
- ¹⁷ TSURUGIZAWA T.; UEMATSU A.; NAKAMURA E.; et al. Mechanisms of neural response to gastrointestinal nutritive stimuli: the gut-brain axis. Gastroenterology 2009; 137:262–73.
- ¹⁸ FIGLEWICZ D.P.; BENOIT S.C. Insulin, leptin, and food reward: update 2008. Am J Physiol Regul Integr Comp Physiol. 2009; 296: R9-R19.
- ¹⁹ FELTRIN K.L.; PATTERSON M.; GHATEI M.A.; et al. Effect of fatty acid chain length on suppression of ghrelin and stimulation of PYY, GLP-2 and PP secretion in healthy men. Peptides 2006; 27: 1638-43.
- ²⁰ GAO O.: HORVATH, T.L. Neurobiology of feeding and energy expenditure. Annu. Rev. Neurosci. 2007; 30, 367–398.
- ²¹ STERNSON S.M. Hypothalamic Survival Circuits: Blueprints for Purposive Behaviors March a2013 Elsevier Neuron 77. 6. 2013 Inc. http://dx.doi.org/10.1016/j.neuron.2013.02.018.
- ²² YANG, Y.; ATASOY, D.; SU, H.H.; et al. Hunger states switch a flip-flop memory circuit via a synaptic AMPK-dependent positive feedback loop. Cell 2011: 146, 992–1003.
- ²³ ATASOY, D.; BETLEY, J.N.; SU, H.H.; et al. Deconstruction of a neural circuit for hunger. Nature 2012; 488, 172–177.

- ²⁴ OLLMANN, M.M.; WILSON, B.D.; YANG, Y.K.; et al. Antagonism of central melanocortin receptors in vitro and in vivo by agouti-related protein. Science 1997; 278, 135-138.
- ²⁵ VAN DEN TOP, M.; LEE, K.; WHYMENT, A.D.; et al. Orexigen-sensitive NPY/AgRP pacemaker neurons in the hypothalamic arcuate nucleus. Nat. Neurosci. 2004; 7, 493–494.
- ²⁶ KÖNNER, A.C.; JANOSCHEK, R.; PLUM, L.; et al. Insulin action in AgRP-expressing neurons is required for suppression of hepatic glucose production. Cell Metab. 2007; 5, 438-449.
- ²⁷ FIORAMONTI X.; CONTIÉ S.; SONG Z.; et al. Characterization of glucosensing neuron subpopulations in the arcuate nucleus: integration in neuropeptide Y and pro-opio melanocortin networks? Diabetes 2007; 56, 1219–1227.
- ²⁸ APONTE Y.; ATASOY D.; STERNSON S.M. AGRP neurons are sufficient to orchestrate feeding behavior rapidly and without training. Nat. Neurosci. 2011; 14, 351–355.
- ²⁹ TOKITA K.; INOUE T.; BOUGHTER Jr J.D. Afferent connections of the parabrachial nucleus in C57BL/6J mice. Neuroscience 2009; 161, 475-488.
- ³⁰ HAYES M.R.; SKIBICKA K.P.; LEICHNER T.M.; et al. Endogenous leptin signaling in the caudal nucleus tractus solitarius and area postrema is required for energy balance regulation. Cell Metab 2011; 11:77-83
- ³¹ COWLEY M.A.; SMART J.L.; RUBINSTEIN M.; et al. Leptin activates anorexigenic POMC neurons through a neural network in the arcuate nucleus. Nature 2001; 411, 480–484.
- ³² LEINNINGER G.M.; JO Y.H.; LESHAN R.L.; et al. Leptin acts via leptin receptorexpressing lateral hypothalamic neurons to modulate the mesolimbic dopamine system and suppress feeding. Cell Metab 2009; 10:89-98
- 33 BJORBAEK C.; KAHN B.B. Leptin signaling in the central nervous system and the periphery. Recent Prog Horm Res 2004; 59:305-331
- ³⁴ KISHI T.; ELMQUIST J.K. Body weight is regulated by the brain: a link between feeding and emotion. Mol Psychiatry 2005; 10: 132-46.
- ³⁵ PAPEZ J. A proposed mechanism for emotion. Archives of Neurology and Psychiatry 1937; 38:725-743.

- ³⁶ BERRIDGE K.C. Food reward: brain substrates of wanting and liking. Neurosci Biobehav Rev 1996; 20: 1-25.
- ³⁷ BERRIDGE K.C. 'Liking' and 'wanting' food rewards: brain substrates and roles in eating disorders. Physiol Behav 2009; 97: 537-50.
- ³⁸ MATTES R.D. Is there a fatty acid taste? Annu Rev Nutr 2009; 29: 305–27.
- ³⁹ ROLLS E.T.; GRABENHORST F. The orbitofrontal cortex and beyond: from affect to decision-making. Prog Neurobiol 2008; 86: 216-44.
- ⁴⁰ ROLLS E.T. Taste, olfactory and food texture reward processing in the brain and obesity International Journal of Obesity 2011; 35, 550–561; doi: 10.1038/ijo.2010.155;
- ⁴¹ DE ARAUJO I.E.; ROLLS E.T. Representation in the human brain of food texture and oral fat. J Neurosci 2004; 24: 3086-93.
- ⁴² GOSNELL B.; LEVINE A. Reward systems and food intake: role of opioids. Int. J. Obes. 2009; 33 (Suppl. 2), S54–S58
- ⁴³ WISE R. Role of brain dopamine in food reward and reinforcement. Philos. Trans. R. Soc. Lond. B. Biol. Sci. 2006; 361, 1149-1158
- ⁴⁴ BERRIDGE K.C. Wanting and Liking: Observations from the Neuroscience and Psychology Laboratory. Inquiry (Oslo) 2009; 52: 378.
- ⁴⁵ YEOMANS M.R.; MOBINI S. Hunger alters the expression of acquired hedonic but not sensory qualities of food-paired odors in humans. J Exp Psychol Anim Behav Process. 2006; 32:460-466. [PubMed: 17044748]
- ⁴⁶ ROLLS E.T.; ROLLS J.H. Olfactory sensory-specific satiety in humans. Physiol Behav. 1997; 61:461–473. [PubMed: 9089767]
- ⁴⁷ ROLLS E.T.; ROLLS B.J.; ROWE E.A. Sensory-specific and motivation-specific satiety for the sight and taste of food and water in man. Physiol Behav. 1983; 30:185-192. [PubMed: 68444321
- ⁴⁸ STOECKEL L.E.; COX J.E.; COOK 3rd E.W.; WELLER R.E. Motivational state modulates the hedonic value of food images differently in men and women. Appetite. 2007; 48:139–144. [PubMed: 17034902]

- ⁴⁹VOLKOW N.D.: WANG G.: BALER R.D. Reward, dopamine and the control of food intake: implications for obesity Trends in Cognitive Sciences January 2011; Vol. 15, No. 1 doi:10.1016/j.tics.2010.11.001
- ⁵⁰ JABER M.; JONES S.; GIROS B.; et al. The dopamine transporter: a crucial component regulating dopamine transmission. Mov Disord 1997; 12: 629–633.
- ⁵¹ CARROLL M.E.; MEISCH R.A. Increased drug-reinforced behavior due to food deprivation. Adv Behav Pharmacol 1984; 4: 47-88.
- ⁵² CARR K.D. Augmentation of drug reward by chronic food restriction: behavioral evidence and underlying mechanisms. Physiol Behav 2002: 76: 353–364.
- ⁵³ FIGLEWICZ D.P.; WOODS S.C. Adiposity signals and brain reward mechanisms. *Trends* Pharmacol Sci 2000; 21: 235–236.
- ⁵⁴ HALLSCHMID M.; BENEDICT C.; SCHULTES B.; et al. Intranasal insulin reduces body fat in men but not in women. Diabetes 2004; 53:3024-3029
- ⁵⁵ HOMMEL J.D.; TRINKO R.; SEARS R.M.; et al. Leptin receptor signaling in midbrain dopamine neurons regulates feeding. Neuron 2006; 51: 801-810.
- ⁵⁶ WOODS S.C.; SEELEY R.J. Insulin as an adiposity signal. Int J Obes Relat Metab Disord 2001; 25: S35–S38
- ⁵⁷ STEPHAN F.; REVILLE P.; THIERRY R. Correlations between plasma insulin and body weight in obesity, anorexia nervosa and diabetes mellitus. Diabetologia 1972; 8:196–201
- ⁵⁸ BAURA G.; FOSTER D.; PORTE D. JR.; et al. Saturable transport of insulin from plasma into the central nervous system of dogs in vivo: a mechanism for regulated insulin delivery to the brain. J Clin Invest 1993; 92:1824-1830.
- ⁵⁹ SCHWARTZ M.W.; FIGLEWICZ D.P.; BASKIN D.G.; et al. Insulin in the brain: a hormonal regulator of energy balance. Endocr Rev 1992; 13:387-414
- 60 MIRSHAMSI S.; LAIDLAW H.A.; NING K.; et al. Leptin and insulin stimulation of signaling pathways in arcuate nucleus neurons: PI3K dependent actin reorganization and K_{ATP} channel activation. BMI Neurosci 2004; 5:54.
- ⁶¹ NISWENDER K.D.; BASKIN D.G.; SCHWARTZ M.W. Insulin and its evolving partnership with leptin in the hypothalamic control of energy homeostasis. Trends Endocrinol Metab 2004; 15: 362–369.

- ⁶² VAN HOUTEN M.: POSNER B.I. Insulin binds to brain blood vessels in vivo. Nature 1979: 282:623-625
- ⁶³ BASKIN D.G.; PORTE D. JR.; GUEST K.; et al. Regional concentrations of insulin in the rat brain. Endocrinology 1983a; 112:898-903.
- ⁶⁴ BASKIN D.G.; WOODS S.C.; WEST D.B.; et al. Immunocytochemical detection of insulin in rat hypothalamus and its possible uptake from cerebrospinal fluid. Endocrinology 1983b; 113:1818-1825.
- ⁶⁵ VAN HOUTEN M.; POSNER B.I.; KOPRIWA B.M.; et al. Insulin-binding sites in the rat brain: in vivo localization to the circumventricular organs by quantitative radioautography. Endocrinology 1979; 105:666-673.
- ⁶⁶ MARKS J.L.; EASTMAN C.J.; Ontogeny of insulin binding in different regions of the rat brain. Dev Neurosci 1990; 12:349-358.
- ⁶⁷ MARKS J.L.; PORTE D JR.; STAHL W.L.; et al. Localization of insulin receptor mRNA in rat brain by in situ hybridization. Endocrinology 1990; 127:3236.
- ⁶⁸ PORTE D JR, WOODS S.C. Regulation of food intake and body weight by insulin. Diabetologia 20 Suppl: 1981; 274 –280.
- ⁶⁹ ZHANG Y.; PROENCA R.; MAFFIE M.; et al. Positional cloning of the mouse obese gene and its human homologue. *Nature* 1994; 372: 425–432.
- ⁷⁰ BANKS W.A.; KASTIN A.J.; HUANG W.; et al. Leptin enters the brain by a saturable system independent of insulin. Peptides 1996; 17:305-311.
- ⁷¹ SCARPACE P.J.; ZHANG Y. Leptin resistance: a prediposing factor for diet-induced obesity. Am J Physiol 2009; 296:R493-500.
- ⁷² BANKS W.; DIPALMA C.; FARRELL C. Impaired transport of leptin across the bloodbrain barrier in obesity. Peptides 1999; 20: 1341–1345.
- ⁷³ BANKS W.; KING B.; ROSSITER K.; et al. Obesity-inducing lesions of the central nervous system alter leptin uptake by the blood-brain barrier. Life Sci 2001; 69: 2765–2773.
- ⁷⁴ CARO J.; KOLACZYNSKI J.; NYCE M.; et al. Decreased cerebrospinal-fluid/serum leptin ratio in obesity: a possible mechanism for leptin resistance. Lancet, 1996; 348: 159–161.

- ⁷⁵ KAIYALA K.J.: PRIGEON R.L.: KAHN S.E.: et al. Obesity induced by a high-fat diet is associated with reduced brain insulin transport in dogs. Diabetes 2000; 49: 1525–1533.
- ⁷⁶ SCHWARTZ M.; PESKIND E.; RASKIND M.; et al. Cerebro-spinal fluid leptin levels: relationship to plasma levels and to adiposity in humans. *Nat Med* 1996; 2: 589 –59.
- ⁷⁷ LIN L.; MARTIN R.; SCHAFFHAUSER A.O.; et al. Acute changes in the response to peripheral leptin with alteration in the diet composition. Am J Physiol Regul Integr Comp Physiol 2001; 280: R504-R509.
- ⁷⁸ JORDAN S.D.; KONNER A.C.; BRUNING J.C. Sensing the fuels: glucose and lipid signaling in the CNS controlling energy homeostasis. Cell Mol Life Sci 2010; 67:3255–3273
- ⁷⁹ DREWNOWSKI A.; KRAHN D.D.; DEMITRACK M.A.; et al. Taste responses and preferences for sweet high-fat foods: evidence for opioid involvement. Physiol Behav 1992; 51: 371–379.
- ⁸⁰ CARNELL S.; GIBSON C.; BENSON L. Neuroimaging and obesity: current knowledge and future directions Obes Rev. 2012 January; 13(1): 43-56. doi:10.1111/j.1467-789X.2011.00927.x.
- 81 BENADIBA, M.; LUURTSEMA, G.; WICHERT-ANA, L.; et al. New Molecular Targets for PET and SPECT Imaging in Neurodegenerative Diseases. Revista Brasileira de Psiquiatria (São Paulo. 1999. Impresso) ICR 2012, v. 34, p. 125-148. doi:10.1016/j.rbp.2012.07.002.
- 82 VELASCO, T.R.; WICHERT-ANA, L.; SANTOS, A.C.; et al. Utility of Ictal Single Photon Emission Computed Tomography in Mesial Temporal Lobe Epilepsy With Hippocampal Atrophy: A Randomized Trial. Neurosurgery JCR 2011, v. 68, p. 431-436.
- 83 LIU, Y.; GAO, J.-H.; LIU, H.-L.; et al. The temporal response of the brain after eating revealed by functional MRI. Nature 2000; 405, 1058–1062.
- ⁸⁴ VIDARSDOTTIR, S.; SMEETS, P.A.; EICHELSHEIM, D.L.; et al. Glucose ingestion fails to inhibit hypothalamic neuronal activity in patients with type 2 diabetes. Diabetes 2007; 56 (10), 2547-2550.
- 85 LASSMAN D.J.; MCKIE S.; GREGORY J.L.; et al. Defining the Role of Cholecystokinin in the Lipid-Induced Human Brain Activation Matrix GASTROENTEROLOGY 2010; 138:1514-1524.

- ⁸⁶ ZIESSMAN H.A.: O'MALLEY J.P.: THRALL J.H. Nuclear Medicine. 3th ed. Philadelphia: Mosby Elsevier, 2006.
- ⁸⁷ PAGANO, M.; GAUVREAU K. Princípios de Bioestatística. São Paulo: Thomson Pioneira, 2003.
- 88 BORGES C.B.N.; BORGES R.M.; SUEN V.M.M. Gasto energético: técnicas de estimativa. In: VANNUCCHI H.; MARCHINI J.S. (Org.). Nutrição e Metabolismo - Nutrição Clínica. 01 ed. Rio de Janeiro: Guanabara Koogan, 2006, v., p. 16-21.
- 89 KYLE U.G.; BOSAEUS I.; DE LORENZO A.D.; et. al. ESPEN Working Group. Bioelectrical impedance analysis-part I: review of principles and methods. Clin Nutr. 2004; Oct:23(5):1226-43.
- ⁹⁰ NICOLETTI C.F.; CAMELO J.S. JR, MARCHINI J.S.; et al. Bioelectrical impedance vector analysis in obese women before and after bariatric surgery: changes in body composition. Nutrition. 2014; 30:569-74.
- ⁹¹ BRIGGS G.G.; NEBES R.D. Ptterns of Hand preference in a student population. Cortex 1975 Sep; 11 (3): 230-8.
- ⁹² LAIRON D.; LOPEZ-MIRANDA J.; WILLIAMS C. Methodology for studying postprandial lipid metabolism. European Journal of Clinical Nutrition 2007; 61, 1145-1161.
- 93 BJORNTORP P. Etiology of Metabolic Syndrome. In: GRAY G.A.; BOUCHARD C.Handbook of obesity Etiology and Pathophysiology. 2nd Edition. New York: CRC Press, 2007. p 787-812.
- ⁹⁴ DESPRÉSS J; et al. Obesity and Lipoprotein Metabolism. In: GRAY G.A.; BOUCHARD C. Handbook of obesity Etiology and Pathophysiology. 2nd Edition. New York: CRC Press, 2007. p 845-872.
- 95 ROCCHINI A.P. Obesity and Blood Pressure Regulation. In: GRAY G.A.; BOUCHARD C. Handbook of obesity Etiology and Pathophysiology. 2nd Edition. New York: CRC, 2007. p 787-812.
- ⁹⁶ LAMBERT J.A.; PARKS E.J. Postprandial metabolism of meal triglyceride in humans. Biochim Biophys Acta 2012 May; 1821(5): 721–726. doi:10.1016/j.bbalip.2012.01.006.

- ⁹⁷ WELTENS N.: ZHAO D.: VAN OUDENHOVE L. Where is the comfort in comfort foods? Mechanisms linking fat signaling, reward, and emotion Neurogastroenterol Motil 2014; 26, 303-315 doi: 10.1111/nmo.12309.
- 98 GISOLFI C.V.; SUMMERS R.W.; SCHEDL H.P.; et al. Human intestinal water absorption: direct vs. indirect measurements Am J Physiol Gastrointest Liver Physiol, 1990; 258:G216-G222.
- 99 LIN H.C.; VAN CITTERS G.W.; ZHAO X.; et al. Fat Intolerance Depends on Rapid Gastric Emptying Digestive Diseases and Sciences February 1999; Vol. 44, No. 2, pp. 330 ± 335
- 100 McFADDEN K.L.; CORNIER M.; MELANSON E.L.; et al. Effects of exercise on resting-state default mode and salience network activity in overweight/obese adults NeuroReport 2013, Vol 24 No 15.
- ¹⁰¹ CRAIG A.D. Interoception: the sense of the physiological condition of the body. Current Opinion in Neurobiology 2003, 13:500–505.
- ¹⁰² LITTLE J.T.; MCKIE S.; JONES R.B.; et al. Mapping glucose-mediated gut-to-brain NeuroImage 96 2014: signalling pathways in humans 1 - 11http://dx.doi.org/10.1016/j.neuroimage.2014.03.059.
- 103 BOHON C.; STICE E.; SPOOR S. Female emotional eaters show abnormalities in consummatory and anticipatory food reward: a functional magnetic resonance imaging study. Int J Eat Disord 2009; 42: 210-21.
- ¹⁰⁴ STICE E.; SPOOR S.; BOHON C.; VELDHUIZEN M.G.; et al. Relation of reward from food intake and anticipated food intake to obesity: a functional magnetic resonance imaging study. J Abnorm Psychol 2008; 117: 924-35.
- ¹⁰⁵ PARIGI A.; SALBE A.D.; REIMAN E.M.; et al. Less activation of the left dorsolateral prefrontal cortex in response to a meal: a feature of obesity. Am J Clin Nutr 2006; 84: 725-31.
- ¹⁰⁶ LE DS.; PANNACCIULLI N.; CHEN K.; et al. Less activation in the left dorsolateral prefrontal cortex in the reanalysis of the response to a meal in obese than in lean women and its association with successful weight loss. Am J Clin Nutr 2007; 86: 573–9.
- ¹⁰⁷ DELPARIGI A.; CHEN K.; SALBE A.D.; et al. Sensory experience of food and obesity: a positron emission tomography study of the brain regions affected by tasting a liquid meal after a prolonged fast. NeuroImage 2005; 24: 436–43.

- ¹⁰⁸ BURGER K.S.: STICE E. Variability in reward responsivity and obesity: evidence from brain imaging studies. Curr Drug Abuse Rev 2011; 4: 182–9.
- ¹⁰⁹ SCHMAHMANN J.D.; Doyon J.; McDONALD D.; et al. Three-dimensional MRI atlas of the cerebellum in proportional stereotaxic space. Neuroimage 1999; 10:233–26.
- 110 SOBEL N.; PRABHAKARAN V.; HARTLEY C.A.; et al. Odorant-induced and sniffinduced activation in the cerebellum of the human. J Neurosci 1998; 18:8990-9001.
- 111 CERF-DUCASTEL B.; MURPHY C. fMRI activation in response to odorants orally delivered in aqueous solutions. Chem Senses 2001; 26:625–637.
- 112 KILLGORE W.D.: YOUNG A.D.: FEMIA L.A.: et al. Cortical and limbic activation during viewing of high- versus low-calorie foods. Neuroimage 2003; 19:1381–1394.
- ¹¹³ ZHU J.: WANG J. The Cerebellum in Feeding Control: Possible Function and Mechanism Cell Mol Neurobiol 2008: 28:469–478 DOI 10.1007/s10571-007-9236-z
- ¹¹⁴ AZIZ Q.; ANDERSSON J.L.; VALIND S.; et al. Identification of human brain loci processing esophageal sensation using positron emission tomography. Gastroenterology 1997; 113:50-60.
- ¹¹⁵ VAN OUDENHOVE L.; VANDENBERGHE J.; DUPONT P.; et al. Cortical deactivations during gastric fundus distension in health: visceral pain-specific response or attenuation of 'default mode' brain function? A H₂¹⁵O-PET study. Neurogastroenterol Motil 2009; 21: 259 – 271.
- ¹¹⁶ LADABAUM U.; MINOSHIMA S.; HASLER W.L.; et al. Gastric distension correlates with activation of multiple cortical and subcortical regions. Gastroenterology 2001; 120: 369 -376.
- 117 KRINGELBACH M.L. Food for thought: hedonic experience beyond homeostasis in the human brain. Neuroscience 2004; 126: 807-19.
- ¹¹⁸ BERTHOUD H.R.; LENARD N.R.; SHIN A.C. Food reward, hyperphagia, and obesity. Am J Physiol Regul Integr Comp Physiol 2011; 300: R1266–77.
- 119 SOYOUN K.; DAEYEOL L. Prefrontal Cortex and Impulsive Decision Making Biol Psychiatry. 2011 June 15; 69(12): 1140–1146. doi:10.1016/j.biopsych.2010.07.005.

- ¹²⁰ ZHENG H.; LENARD N.R.; SHIN A.C.; et al. Appetite control and energy balance regulation in the modern world: reward-driven brain overrides repletion signals. Int J Obes Lond 2009; 33 (Suppl. 2): S8–13.
- ¹²¹ MCCLURE S.M.; ERICSON K.M.; LAIBSON D.I.; et al. Time discounting for primary rewards. J Neurosci. 2007; 27:5796-5804. [PubMed: 17522323]
- ¹²² HARE T.A.; CAMERER C.F.; RANGEL A. Self-control in decision-making involves modulation of the vmPFC valuation system. Science. 2009; 324:646-648. [PubMed: 19407204]
- ¹²³ LI J.; AN R.; ZHANG Y.; et al. Correlations of macronutrient-induced functional magnetic resonance imaging signal changes in human brain and gut hormone responses Am J Clin Nutr 2012; 96:275–82. Printed in USA. 2012 American Society for Nutrition.

APÊNDICES

Apêndice 1



HOSPITAL DAS CLÍNICAS DA FACULDADE DE MEDICINA DE RIBEIRÃO PRETO DA UNIVERSIDADE DE SÃO PAULO



Ribeirão Preto, 07 de dezembro de 2011

Oficio nº 4481/2011 CEP/MGV

Prezados Senhores,

O trabalho intitulado "INGESTÃO AGUDA DE LIPÍDEOS E ALTERAÇÃO DA PERFUSÃO CEREBRAL DE PACIENTES OBESOS", foi analisado pelo Comitê de Ética em Pesquisa, em sua 338ª Reunião Ordinária realizada em 05/12/2011, e enquadrado na categoria: APROVADO, bem como o Termo de Consentimento Livre e Esclarecido, de acordo com o Processo HCRP nº 14080/2011.

De acordo com Carta Circular nº 003/2011/CONEP/CNS. datada de 21/03/2011, o sujeito de pesquisa ou seu representante, quando for o caso, deverá rubricar todas as folhas do Termo de Consentimento Livre e Esclarecido - TCLE - apondo sua assinatura na última do referido Termo; o pesquisador responsável deverá da mesma forma, rubricar todas as folhas do Termo de Consentimento Livre e Esclarecido - TCLE - apondo sua assinatura na última página do referido Termo.

Este Comité segue integralmente a Conferência Internacional de Harmonização de Boas Práticas Clínicas (IGH-GCP), bem como a Resolução nº 196/96 CNS/MS.

Lembramos que devem ser apresentados a este CEP, Relatório Parcial e o Relatório Final da pesquisa.

Atenciosamente.

Coordenadora do Comitê de Ética em Pesquisa do HCRP e da FMRP-USP

Ilustrissimos Senhores CRISTIANE MARIA MÁRTIRES DE LIMA PROF.DR. JÚLIO SÉRGIO MARCHINI Depto. de Clínica Médica - Nutrologia

Apêndice 2



HOSPITAL DAS CLÍNICAS DA FACULDADE DE MEDICINA DE RIBEIRÃO PRETO DA UNIVERSIDADE DE SÃO PAULO

www.hcrp.fmrp.usp.br



Apêndice I - TERMO DE CONSENTIMENTO LIVRE E ESCLARECIDO – Grupo NO (Não Obesos)

Você está sendo convidado a participar, como voluntário, de uma pesquisa. Após o conhecimento das informações a seguir, você poderá decidir sobre sua participação ou não neste projeto, sem perda do direito de receber os cuidados médicos de rotina ou quaisquer outros benefícios aos quais tenha direito na assistência médica regular na clínica habitual, qualquer que seja sua decisão.

Título do Projeto de Pesquisa: Ingestão aguda de lipídeos e alteração da perfusão cerebral de pacientes obesos

Local da Pesquisa: Seção de Medicina Nuclear do Hospital das Clínicas da Faculdade de Medicina de Ribeirão Preto – Av. Bandeirantes, 3900 – Bairro Monte Alegre – CEP: 14048-900 – Fone/FAX: (16) 3602-2596 – E-mail: nucmed@hcrp.usp.br.

Pesquisadores responsáveis:

- Cristiane Maria Mártires de Lima. Médica Nutróloga. Departamento de Clínica Médica da Faculdade de Medicina de Ribeirão Preto-USP. Telefones: (16) 3633-0036/3602-2448 Fax: (16) 3633-6695.
- Prof. Dr. Júlio Sérgio Marchini. Departamento de Clínica Médica da Faculdade de Medicina de Ribeirão Preto- USP. Telefone: (16) 3633-0036/3602-2448 Fax: (16) 3633-6695.
- Prof. Dr. Lauro Wichert Ana. Seção de Medicina Nuclear Hospital das Clínicas de Ribeirão Preto FMRP USP. Telefone: (16) 3602-2596.

Justificativa e Objetivos da pesquisa

Esse projeto será realizado por mim, Cristiane Maria Mártires de Lima, médica Nutróloga, pósgraduanda da Faculdade de Medicina de Ribeirão Preto (HC) e meus orientadores. Queremos entender uma parte do que acontece para que uma pessoa fique gorda, mais exatamente que alterações o alimento pode fazer no cérebro da pessoa com esse problema.

Informações sobre os procedimentos que serão realizados

Serão realizados exames da cabeça com aparelho de Tomografia Computadorizada, Ressonância Magnética e também precisaremos retirar um pouco de seu sangue através de uma veia do seu braço para dosagem laboratorial de glicose, triglicérides e hormônios. Esses podem estar alterados na obesidade e são importantes para o estudo. O (A) senhor (a) será chamado (a) para realização de um exame de Ressonância Magnética e dois exames de Tomografia da cabeça, sendo necessário ficar em jejum por doze horas antes de cada um. Durante os exames de tomografia será coletado um pouco do seu sangue antes e depois de o (a) senhor (a) tomar pela boca uma pequena quantidade de óleo ou água. O pesquisador não saberá qual foi a engolida. Para realização dos exames de tomografia, um medicamento precisa ser administrado por uma veia de seu braço. O ECD-Tecnécio-99m. Esses exames de tomografia têm previsão de durar não mais que duas horas

Desconfortos e Riscos Esperados

As injeções não apresentarão riscos ou prejuízos a você, mas poderão causar ligeira dor ou ardência, sangramento, hematoma ou inflamações nos locais de aplicação, queixas estas que podem acontecer após uma injeção na pele. O estudo será realizado em duas fases. Em cada etapa, o (a) Sr (Sra) receberá uma dose do radiofármaco Etilenodicisteína marcado com Tecnécio-99m (99mTc-ECD) na veia, que é utilizado para investigar várias doenças e também para estudar como o remédio é distribuído no cérebro, e fazer uma tomografia cerebral, um exame que fornece imagens do cérebro. Este radiofármaco possui pequena quantidade de radiação, mas na dose já aprovada para diagnóstico pelos órgãos reguladores sendo no Brasil, pela Comissão Nacional de Energia Nuclear (CNEN). Quanto ao risco de efeitos colaterais, raramente este radiofármaco pode causar alguns sintomas, tais como febre, dor de cabeça, dor no peito, vermelhidão na pele, tontura e náuseas. O óleo que o (a) Senhor (a) vai tomar é um tipo de gordura, um alimento. Assim, não se espera que o (a) Senhor (a) venha a apresentar qualquer problema com os exames. O Sr. (Sra.) será avaliado por médico caso sinta algum desconforto durante a realização dos exames.

Privacidade

A sua privacidade será respeitada, ou seja, o seu nome ou qualquer outro dado que possa de alguma forma identificá-lo (a) <u>não serão revelados nunca</u>. Os dados deste estudo serão mantidos em um banco de dados da Seção de Medicina Nuclear do Hospital das Clínicas – FMRP – USP.

Benefícios que se pode obter

O (A) senhor (a) foi escolhido (a) porque não tem obesidade. O motivo de fazermos essa pesquisa é tentar entender porque a pessoa engorda e conseguir, no futuro, tratar melhor as pessoas com esse problema. Isto não significa que a presente pesquisa tenha algum resultado benéfico e atual para você.

Custos

O senhor (a) não ganhará nada e não gastará nada para participar nesse projeto. No entanto, está sendo oferecida uma ajuda de custo no valor de cinquenta reais, apenas para cobrir os seus gastos com o transporte e alimentação em cada vinda ao Hospital das Clínicas de Ribeirão Preto. O (A) senhor (a) pode decidir aceitar ou não essa ajuda, como achar melhor.

Consentimento Pós-Informação
Eu,, fui informado (a) sobre o
que a pesquisadora quer fazer e porque precisa da minha colaboração, e entendi a explicação.
Por isso, eu concordo em participar do projeto "Ingestão aguda de lipídeos e alteração da
perfusão cerebral de pacientes obesos". Fui devidamente informado (a) em detalhes pelo (s)
pesquisador (es) responsável (eis) no que diz respeito aos objetivos da pesquisa, aos
procedimentos que serei submetido (a), aos riscos e benefícios e quanto à garantia de sigilo
sobre os meus dados clínicos e de identificação. Fui informado (a) de que será assegurada a
minha assistência médica durante toda a pesquisa, bem como terei livre acesso a todas as
informações e esclarecimentos adicionais sobre esta pesquisa e suas consequências. Entendi
que não vou ganhar nada e que posso sair quando quiser, sem que isto leve a qualquer
penalidade ou interrupção de meu acompanhamento, assistência médica, diagnóstica e
tratamento. Entendi que está sendo me oferecida uma ajuda de custo, apenas para me ajudar
nos gastos com transporte e alimentação e que não estou sendo pago (a) para participar dessa
pesquisa. Declaro, ainda, que concordo inteiramente com as condições que me foram
apresentadas e que, livremente, manifesto a minha vontade de participar desse estudo.
Estou recebendo uma cópia deste documento, assinada, que vou guardar. Para qualquer outra
informação o senhor (a) poderá entrar em contato comigo pelo telefone (16) 3633-
0036/3602-2448 Fax: (16) 3633-6695 ou pelo e-mail cris martires@hotmail.com.
Nome do participante:RG:
Ass.:
Pesquisadora Responsável: Cristiane Maria Mártires de Lima- CRMSP: 136885



HOSPITAL DAS CLÍNICAS DA FACULDADE DE MEDICINA DE RIBEIRÃO PRETO DA UNIVERSIDADE DE SÃO PAULO

www.hcrp.fmrp.usp.br



TERMO DE CONSENTIMENTO LIVRE E

ESCLARECIDO - Grupo O (Obesos)

Você está sendo convidado a participar, como voluntário, de uma pesquisa. Após o conhecimento das informações a seguir, você poderá decidir sobre sua participação ou não neste projeto, sem perda do direito de receber os cuidados médicos de rotina ou quaisquer outros benefícios aos quais tenha direito na assistência médica regular na clínica habitual, qualquer que seja sua decisão.

Título do Projeto de Pesquisa: Ingestão aguda de lipídeos e alteração da perfusão cerebral de pacientes obesos

Local da Pesquisa: Seção de Medicina Nuclear do Hospital das Clínicas da Faculdade de Medicina de Ribeirão Preto - Av. Bandeirantes, 3900 - Bairro Monte Alegre - CEP: 14048-900 - Fone/FAX: (16) 3602-2596 - E-mail: nucmed@hcrp.usp.br.

Pesquisadores responsáveis:

- Cristiane Maria Mártires de Lima. Médica Nutróloga. Departamento de Clínica Médica da Faculdade de Medicina de Ribeirão Preto-USP. Telefones: (16) 3633-0036/3602-2448 Fax: (16) 3633-6695.
- Prof. Dr. Júlio Sérgio Marchini. Departamento de Clínica Médica da Faculdade de Medicina de Ribeirão Preto- USP. Telefone: (16) 3633-0036/3602-2448 Fax: (16) 3633-6695.
- Prof. Dr. Lauro Wichert Ana. Seção de Medicina Nuclear Hospital das Clínicas de Ribeirão Preto FMRP - USP. Telefone: (16) 3602-2596.

Justificativa e Objetivos da pesquisa

Esse projeto será realizado por mim, Cristiane Maria Mártires de Lima, médica Nutróloga, pósgraduanda da Faculdade de Medicina de Ribeirão Preto (HC) e meus orientadores. Queremos entender uma parte do que acontece para que uma pessoa fique gorda, mais exatamente que alterações o alimento pode fazer no cérebro da pessoa com esse problema.

Informações sobre os procedimentos que serão realizados

Serão realizados exames da cabeça com aparelho de Tomografia Computadorizada, Ressonância Magnética e também precisaremos retirar um pouco de seu sangue através de uma veia do seu braço para dosagem laboratorial de glicose, triglicérides e hormônios. Esses podem estar alterados na obesidade e são importantes para o estudo. O (A) senhor (a) será chamado (a) para internar em um leito do HC e permanecerá não mais que uma semana. Essa internação vai acontecer quando houver leito vago na enfermaria da Nutrologia do HC. No dia da internação, deverá comparecer em jejum para realização de um exame chamado calorimetria indireta. Para esse exame basta o jejum de 12 horas e que o senhor (a) fique deitado em uma cama como em posição de descanso. Vai ser colocada uma espécie de máscara por cima da sua cabeça enquanto fica deitado e vai ser pedido que apenas respire normalmente. Se for preciso, por motivo de doença durante a internação, o (a) senhor (a) receberá toda assistência disponível no hospital, só recebendo alta quando estiver em boas condições. Vamos realizar dois exames de Tomografia, sendo necessário ficar em jejum por doze horas antes de cada um. No restante do tempo o senhor (a) receberá uma alimentação adequada. Durante os exames de tomografia, será coletado um pouco do seu sangue antes e depois de o (a) senhor (a) tomar pela boca uma pequena quantidade de óleo ou água. O pesquisador não saberá qual foi a engolida. Para realização dos exames de tomografia, um medicamento precisa ser administrado por uma veia de seu braço. O ECD-Tecnécio-99m. Esses exames de tomografia têm previsão de durar não mais que duas horas. Durante a semana de internação, o (a) senhor (a) receberá orientação alimentar para perda de peso e na alta será encaminhado (a) para a rede pública de saúde para que continue o tratamento de obesidade. Essa orientação será feita por mim, a responsável pelo projeto. Durante esse período de internação o médico acompanhará o senhor (a) todos os dias.

Desconfortos e Riscos Esperados

As injeções não apresentarão riscos ou prejuízos a você, mas poderão causar ligeira dor ou ardência, sangramento, hematoma ou inflamações nos locais de aplicação, queixas estas que podem acontecer após uma injeção na pele. O estudo será realizado em duas fases. Em cada etapa, o (a) Sr (Sra) receberá uma dose do radiofármaco Etilenodicisteína marcado com Tecnécio-99m (99mTc-ECD) na veia, que é utilizado para investigar várias doenças e também para estudar como o remédio é distribuído no cérebro, e fazer uma tomografia cerebral, um exame que fornece imagens do cérebro. Este radiofármaco possui pequena quantidade de radiação, mas na dose já aprovada para diagnóstico pelos órgãos reguladores sendo no Brasil, pela Comissão Nacional de Energia Nuclear (CNEN). Quanto ao risco de efeitos colaterais,

raramente este radiofármaco pode causar alguns sintomas, tais como febre, dor de cabeça, dor no peito, vermelhidão na pele, tontura e náuseas. O óleo que o (a) Senhor (a) vai tomar é um tipo de gordura, um alimento. Assim, não se espera que o (a) Senhor (a) venha a apresentar qualquer problema com os exames. O Sr. (Sra.) será avaliado por médico caso sinta algum desconforto durante a realização dos exames.

Privacidade

A sua privacidade será respeitada, ou seja, o seu nome ou qualquer outro dado que possa de alguma forma identificá-lo (a) <u>não serão revelados nunca</u>. Os dados deste estudo serão mantidos em um banco de dados da Seção de Medicina Nuclear do Hospital das Clínicas – FMRP – USP.

Benefícios que se pode obter

O (A) senhor (a) foi escolhido (a) porque tem obesidade. O motivo de fazermos essa pesquisa é tentar entender porque a pessoa engorda e conseguir, no futuro, tratar melhor as pessoas com esse problema. Isto não significa que a presente pesquisa tenha algum resultado benéfico e atual para você.

Custos

O senhor (a) não ganhará nada e não gastará nada para participar nesse projeto. No entanto, poderá ser ou não oferecida uma <u>ajuda de custo</u> no valor de cinquenta reais, a depender de aprovação, <u>apenas</u> para cobrir os seus gastos com o transporte e alimentação em cada vinda ao Hospital das Clínicas de Ribeirão Preto. O (A) senhor (a) pode decidir aceitar ou não essa ajuda, como achar melhor.

ConsentimentoPós-Informação

tratamento. Entendi que está sendo me oferecida uma ajuda de custo, apenas para me ajudar nos gastos com transporte e alimentação e que não estou sendo pago (a) para participar dessa pesquisa. Declaro, ainda, que concordo inteiramente com as condições que me foram apresentadas e que, livremente, manifesto a minha vontade de participar desse estudo. Estou recebendo uma cónia deste documento assinada que vou guardar

recebendo uma	copia deste do	cumento, as	ssiliaua, c	que vou gua	ii dai.			
Para qualquer o	outra informaç	ão o senho	r (a) pod	erá entrar	em co	ontato co	migo pelo	telefone
(16) 3633-0036	/3602-2448 F	ax: (16) 363	33-6695	ou pelo e-m	ail cr	is_martir	es@hotma	il.com.
Nome do partici	ipante:					RG:		
Ass.:								
Pesquisadora Ass.:	Responsável:	Cristiane	Maria	Mártires	de	Lima-	CRMSP:	136885
Data: / /	Piheirão	Dreto						

Apêndice 3 - Códigos dos tubos das coletas de sangue e microtubos das amostras de soro

NOBES	Voluntária	fase		Códigos nos	tubos de tampas cinz	a e vermelho			
NOBES			Tempo zero	Тетро 30'	Tempo 60'	Тетро 90'	Tempo 120'		
OBES_1 A OBES_1, A_1 OBES_1, A_2 OBES_1, A_3 OBES_1, A_4 OBES_1, A_5 OBES_1 L OBES_1, A_1 OBES_1, A_2 OBES_1, A_3 OBES_1, A_4 OBES_1, A_5 NOBES_2 A NOBES_2, A_1 NOBES_2, A_2 NOBES_2, A_3 NOBES_2, A_4 NOBES_2, A_5 OBES_2 A OBES_2, A_1 OBES_2, A_2 OBES_2, A_3 OBES_2, A_4 OBES_2, A_5 OBES_2 A OBES_2, A_1 OBES_2, A_2 OBES_2, A_3 OBES_2, A_4 OBES_2, A_5 OBES_3 A OBES_3, A_1 NOBES_3, A_2 NOBES_3, A_3 OBES_2, A_4 OBES_2, A_5 OBES_3 A OBES_3, A_1 NOBES_3, A_2 NOBES_3, A_3 NOBES_3, A_4 NOBES_3, A_5 OBES_3 A OBES_3, A_1 OBES_3, A_2 OBES_3, A_3 OBES_3, A_4 OBES_3, A_5 OBES_4 A NOBES_4, A_1 NOBES_4, A_2 NOBES_4, A_3 NOBES_4, A_4 NOBES_4, A_5 NOBES_4 A NOBES_4, A_1 OBES_4, A_2 OBES_4, A_3 OBES_4, A_4	NOBES_1	Α	NOBES_1_A_1	NOBES_1_A_2	NOBES_1_A_3	NOBES_1_A_4	NOBES_1_A_5		
OBES_1 L OBES_1_1 OBES_1_2 OBES_1_3 OBES_1_4 OBES_1_5 NOBES_2 A NOBES_2_A_1 NOBES_2_A_2 NOBES_2_A_3 NOBES_2_A_4 NOBES_2_A_5 NOBES_2 L NOBES_2_L_1 NOBES_2_A_3 NOBES_2_A_4 NOBES_2_A_5 OBES_2 A OBES_2_A_1 OBES_2_A_2 OBES_2_A_3 OBES_2_A_4 OBES_2_L_5 NOBES_3 L OBES_3_A_1 NOBES_3_A_2 NOBES_3_A_3 NOBES_3_A_4 NOBES_3_A_5 NOBES_3 L NOBES_3_A_1 NOBES_3_A_2 NOBES_3_A_3 NOBES_3_A_4 NOBES_3_A_5 NOBES_3 L NOBES_3_A_1 NOBES_3_A_2 OBES_3_A_3 NOBES_3_A_4 OBES_3_A_5 NOBES_3 L OBES_3_A_1 OBES_3_A_2 OBES_3_A_3 OBES_3_A_4 OBES_3_A_5 NOBES_4 A NOBES_4_A_1 NOBES_4_A_2 NOBES_4_A_3 NOBES_4_A_4 OBES_3_A_5 NOBES_4 A OBES_4_A_1 OBES_4_A_2 OBES_4_A_3 OBES_4_A_4 OBES_4_A_5 OBES_4 </td <td>NOBES_1</td> <td>L</td> <td>NOBES_1_L_1</td> <td>NOBES_1_L_2</td> <td>NOBES_1_L_3</td> <td>NOBES_1_L_4</td> <td>NOBES_1_L_5</td>	NOBES_1	L	NOBES_1_L_1	NOBES_1_L_2	NOBES_1_L_3	NOBES_1_L_4	NOBES_1_L_5		
NOBES 2 A NOBES 2.A.1 NOBES 2.A.2 NOBES 2.A.3 NOBES 2.A.4 NOBES 2.A.5 NOBES 2 L NOBES 2.L.1 NOBES 2.L.2 NOBES 2.L.3 NOBES 2.L.4 NOBES 2.L.5 OBES 2 L OBES 2.L.1 OBES 2.L.2 OBES 2.A.3 OBES 2.L.4 OBES 2.L.5 OBES 2 L OBES 2.L.1 OBES 2.L.2 OBES 2.L.3 OBES 2.L.4 OBES 2.L.5 OBES 2 L OBES 2.L.1 OBES 2.L.2 OBES 2.L.3 OBES 2.L.4 OBES 2.L.5 OBES 2.L.5 OBES 2.L.4 OBES 3.L.5 NOBES 3.L.1 NOBES 3.L.1 NOBES 3.L.2 NOBES 3.L.4 NOBES 3.L.5 NOBES 3.L.4 NOBES 3.L.5 OBES 3.L.1 NOBES 3.L.1 NOBES 3.L.2 OBES 3.L.3 NOBES 3.L.4 NOBES 3.L.5 OBES 3.L.4 NOBES 3.L.5 OBES 3.L.1 OBES 3.L.2 OBES 3.L.3 OBES 3.L.4 NOBES 3.L.5 NOBES 4.L.1 NOBES 4.L.2 NOBES 4.L.2 NOBES 4.L.3 NOBES 4.L.4 NOBES 4.L.5 NOBES 4.L.1 NOBES 4.L.2 NOBES 4.L.2 NOBES 4.L.4 NOBES 4.L.5 OBES 4.L.5 NOBES 4.L.1 OBES 4.L.2 OBES 4.L.3 OBES 4.L.4 OBES 4.L.5 OBES 4.L.5 NOBES 5.L.1 NOBES 5.L.2 OBES 5.L.3 NOBES 5.L.4 NOBES 5.L.5 NOBES 5.L. NOBES 5.L.1 NOBES 5.L.2 NOBES 5.L.3 NOBES 5.L.4 NOBES 5.L.5 NOBES 5.L. NOBES 5.L.1 NOBES 5.L.2 NOBES 5.L.3 NOBES 5.L.4 NOBES 5.L.5 NOBES 5.L. NOBES 5.L.1 NOBES 5.L.2 NOBES 5.L.3 NOBES 5.L.4 NOBES 5.L.5 NOBES 6.L. NOBES 6.L.1 NOBES 6.L.2 NOBES 6.L.3 NOBES 6.L.4 NOBES 5.L.5 NOBES 6.L. NOBES 6.L.1 NOBES 6.L.2 NOBES 6.L.3 NOBES 6.L.4 NOBES 6.L.5 NOBES 6.L. NOBES 6.L.1 NOBES 6.L.2 NOBES 6.L.3 NOBES 6.L.4 NOBES 6.L.5 NOBES 6.L. NOBES 6.L.1 NOBES 6.L.2 NOBES 6.L.3 NOBES 6.L.4 NOBES 6.L.5 NOBES 7.L.1 NOBES 6.L.2 NOBES 7.L.3 NOBES 6.L.4 NOBES 6.L.5 NOBES 7.L.1 NOBES 6.L.2 NOBES 7.L.3 NOBES 6.L.4 NOBES 6.L.5 NOBES 7.L.1 NOBES 6.L.2 NOBES 6.L.3 NOBES 6.L.4 NOBES 6.L.5 NOBES 7.L.1 NOBES 6.L.2 NOBES 6.L.3 NOBES 6.L.4 NOBES 6.L.5 NOBES 7.L.1 NOBES 6.L.2 NOBES 7.L.3 NOBES 7.L.4 NOBES 7.L.5 NOBES 7.L.1 NOBES 7.L.2 NOBES 7.L.3 NOBES 7.L.4 NOBES 7.L.5 NOBES 7.L.1 NOBES 7.L.2 NOBES 7.L.3 NOBES 7.L.4 NOBES 7.L.5 NOBES 7.L.1 NOBES 7.L.2 NOBES 7.L.3 NOBES 7.L.4 NOBES 7.L.5 NOBES 7.L.4 NOBES 7.L.5 NOBES 7.L.4 NOBES 7.L.5 NOBES 7.L.4 NOBES 7.L.	OBES_1	A	OBES_1_A_1	OBES_1_A_2	OBES_1_A_3	OBES_1_A_4	OBES_1_A_5		
NOBES_2 L NOBES_2_L_1 NOBES_2_L_2 NOBES_2_L_3 NOBES_2_L_4 NOBES_2_L_5 OBES_2 A OBES_2_A_1 OBES_2_A_2 OBES_2_A_3 OBES_2_A_4 OBES_2_A_5 OBES_2 L OBES_2_L_1 OBES_2_L_3 OBES_2_L_4 OBES_2_L_5 NOBES_3 A NOBES_3_A_1 NOBES_3_A_2 NOBES_3_A_3 NOBES_3_A_4 NOBES_3_A_5 NOBES_3 L NOBES_3_A_1 NOBES_3_A_2 OBES_3_A_3 NOBES_3_A_4 NOBES_3_A_5 OBES_3 L OBES_3_L_1 OBES_3_L_2 OBES_3_A_3 OBES_3_A_4 OBES_3_A_5 OBES_4 A NOBES_4_L_1 NOBES_4_L_2 NOBES_4_A_3 NOBES_3_L_4 OBES_3_L_5 NOBES_4 A NOBES_4_L_1 NOBES_4_L_2 NOBES_4_L_3 NOBES_4_L_4 NOBES_4_L_5 OBES_4 A OBES_4_L_1 OBES_4_L_2 OBES_4_L_3 OBES_4_L_4 NOBES_4_L_5 NOBES_5 A NOBES_5_A_1 NOBES_5_A_2 OBES_5_A_3 OBES_5_A_4 OBES_5_A_5	OBES_1	L	OBES_1_L_1	OBES_1_L_2	OBES_1_L_3	OBES_1_L_4	OBES_1_L_5		
OBES_2 A OBES_2A_1 OBES_2A_2 OBES_2A_3 OBES_2A_4 OBES_2A_5 OBES_2 L OBES_2L_1 OBES_2L_2 OBES_2L_3 OBES_2L_4 OBES_2L_5 NOBES_3 A NOBES_3A_1 NOBES_3A_2 NOBES_3A_3 NOBES_3A_4 NOBES_3A_5 NOBES_3 L NOBES_3A_1 OBES_3A_2 NOBES_3L_3 NOBES_3A_4 OBES_3A_5 OBES_3 L NOBES_3A_1 OBES_3A_2 OBES_3A_3 OBES_3A_4 OBES_3A_5 OBES_3 L OBES_3A_1 OBES_3A_2 OBES_3A_3 OBES_3A_4 OBES_3A_5 NOBES_4 A NOBES_4A_1 NOBES_4A_2 NOBES_3A_3 OBES_3A_4 NOBES_3A_5 NOBES_4 A NOBES_4A_1 NOBES_4A_2 NOBES_4A_3 NOBES_4A_4 OBES_4A_5 NOBES_4 A OBES_4A_1 OBES_4A_2 OBES_4A_3 OBES_4A_4 OBES_4A_5 NOBES_5 A NOBES_5A_1 NOBES_5A_2 OBES_5A_3 OBES_5A_4 OBES_4A_5 NOBES_5 A </td <td>NOBES_2</td> <td>A</td> <td>NOBES_2_A_1</td> <td>NOBES 2 A 2</td> <td>NOBES_2_A_3</td> <td>NOBES_2_A_4</td> <td>NOBES_2_A_5</td>	NOBES_2	A	NOBES_2_A_1	NOBES 2 A 2	NOBES_2_A_3	NOBES_2_A_4	NOBES_2_A_5		
OBES_2 L OBES_2_L_1 OBES_2_L_2 OBES_2_L_3 OBES_2_L_4 OBES_2_L_5 NOBES_3 A NOBES_3_A_1 NOBES_3_A_2 NOBES_3_A_3 NOBES_3_A_4 NOBES_3_A_5 NOBES_3 L NOBES_3_L_1 NOBES_3_L_2 NOBES_3_L_3 NOBES_3_A_4 OBES_3_A_5 OBES_3 A OBES_3_L_1 OBES_3_L_2 OBES_3_L_3 OBES_3_A_4 OBES_3_A_5 NOBES_4 A NOBES_4_L_1 NOBES_4_L_2 OBES_3_L_3 OBES_3_L_4 OBES_3_L_5 NOBES_4 L NOBES_4_L_1 NOBES_4_L_2 NOBES_4_L_3 NOBES_4_L_4 NOBES_4_L_5 NOBES_4 L NOBES_4_L_1 NOBES_4_L_2 OBES_4_L_3 OBES_4_L_4 OBES_4_L_5 NOBES_5 A OBES_5_A_1 OBES_5_A_2 OBES_4_L_3 OBES_4_L_4 OBES_4_L_5 NOBES_5 A NOBES_5_A_1 NOBES_5_A_2 NOBES_5_A_3 NOBES_5_A_4 OBES_5_A_5 NOBES_5 A OBES_5_L_1 OBES_5_A_2 OBES_5_A_3 OBES_5_A_4 OBES_5_A_5	NOBES_2	L	NOBES_2_L_1	NOBES_2_L_2	NOBES_2_L_3	NOBES_2_L_4	NOBES_2_L_5		
NOBES_3 A NOBES_3_L_1 NOBES_3_A_2 NOBES_3_A_3 NOBES_3_A_4 NOBES_3_A_5 NOBES_3 L NOBES_3_L_1 NOBES_3_L_2 NOBES_3_L_3 NOBES_3_L_4 NOBES_3_L_5 OBES_3 A OBES_3_L_1 OBES_3_L_2 OBES_3_L_3 OBES_3_L_4 OBES_3_L_5 NOBES_4 A NOBES_4_L_1 NOBES_4_L_2 NOBES_4_A_3 NOBES_4_A_4 NOBES_4_L_5 NOBES_4 L NOBES_4_L_1 NOBES_4_L_2 NOBES_4_L_3 NOBES_4_L_4 NOBES_4_L_5 OBES_4 L NOBES_4_L_1 OBES_4_L_2 OBES_4_L_3 NOBES_4_L_4 OBES_4_L_5 OBES_4 L OBES_4_L_1 OBES_4_L_2 OBES_4_L_3 OBES_4_L_4 OBES_4_L_5 NOBES_5 A NOBES_5_L_1 NOBES_5_A_2 NOBES_5_A_3 NOBES_5_A_4 OBES_4_L_5 OBES_5 A NOBES_5_L_1 NOBES_5_A_2 NOBES_5_A_3 NOBES_5_A_4 OBES_5_A_5 OBES_5 L NOBES_6_L_1 NOBES_6_A_2 OBES_5_L_3 NOBES_5_A_4 OBES_5_A_5 </td <td>OBES_2</td> <td>A</td> <td>OBES_2_A_1</td> <td>OBES_2_A_2</td> <td>OBES_2_A_3</td> <td>OBES_2_A_4</td> <td>OBES_2_A_5</td>	OBES_2	A	OBES_2_A_1	OBES_2_A_2	OBES_2_A_3	OBES_2_A_4	OBES_2_A_5		
NOBES_3 L NOBES_3_L_1 NOBES_3_L_2 NOBES_3_L_3 NOBES_3_L_4 NOBES_3_L_5 OBES_3 A OBES_3_A_1 OBES_3_A_2 OBES_3_A_3 OBES_3_L_4 OBES_3_L_5 OBES_3 L OBES_3_L_1 OBES_3_L_2 OBES_3_L_3 OBES_3_L_4 OBES_3_L_5 NOBES_4 A NOBES_4_A_1 NOBES_4_A_2 NOBES_4_A_3 NOBES_4_A_4 NOBES_4_A_5 NOBES_4 L NOBES_4_A_1 OBES_4_A_2 NOBES_4_A_3 OBES_4_A_4 OBES_4_A_5 OBES_4 L OBES_4_A_1 OBES_4_A_2 OBES_4_A_3 OBES_4_A_4 OBES_4_A_5 NOBES_5 L OBES_4_A_1 OBES_5_A_2 OBES_5_A_3 OBES_4_A_4 OBES_4_A_5 NOBES_5 A NOBES_5_L1 NOBES_5_A_2 NOBES_5_A_3 NOBES_5_A_4 OBES_4_A_5 NOBES_5 A NOBES_5_L1 NOBES_5_A_2 NOBES_5_A_3 NOBES_5_A_4 OBES_5_A_5 OBES_5 L OBES_5_A_1 OBES_5_A_2 OBES_5_A_3 OBES_5_A_4 OBES_5_A_5	OBES_2	L	OBES_2_L_1	OBES_2_L_2	OBES_2_L_3	OBES_2_L_4	OBES_2_L_5		
OBES_3 A OBES_3_A_1 OBES_3_A_2 OBES_3_A_3 OBES_3_A_4 OBES_3_A_5 OBES_3 L OBES_3_L_1 OBES_3_L_2 OBES_3_L_3 OBES_3_L_4 OBES_3_L_5 NOBES_4 A NOBES_4_A_1 NOBES_4_A_2 NOBES_4_A_3 NOBES_4_A_4 NOBES_4_L_5 NOBES_4 L NOBES_4_L_1 NOBES_4_L_2 NOBES_4_L_3 NOBES_4_L_4 NOBES_4_L_5 OBES_4 A OBES_4_L_1 OBES_4_L_2 OBES_4_L_3 OBES_4_L_4 OBES_4_L_5 NOBES_5 A NOBES_5_A_1 NOBES_5_A_2 OBES_5_A_3 NOBES_5_A_4 OBES_4_L_5 NOBES_5 A NOBES_5_A_1 NOBES_5_A_2 OBES_5_A_3 NOBES_5_A_4 OBES_5_A_5 OBES_5 A NOBES_5_A_1 NOBES_5_A_2 OBES_5_A_3 NOBES_5_A_4 OBES_5_A_5 OBES_5 A NOBES_5_A_1 NOBES_6_A_2 OBES_5_A_3 OBES_5_A_4 OBES_5_A_5 OBES_6 A NOBES_6_A_1 NOBES_6_A_2 OBES_5_A_3 OBES_6_A_4 OBES_5_A_5 <td>NOBES_3</td> <td>Ā</td> <td>NOBES_3_A_1</td> <td>NOBES_3_A_2</td> <td>NOBES_3_A_3</td> <td>NOBES_3_A_4</td> <td>NOBES_3_A_5</td>	NOBES_3	Ā	NOBES_3_A_1	NOBES_3_A_2	NOBES_3_A_3	NOBES_3_A_4	NOBES_3_A_5		
OBES_3 L OBES_3_L_1 OBES_3_L_2 OBES_3_L_3 OBES_3_L_4 OBES_3_L_5 NOBES_4 A NOBES_4_A_1 NOBES_4_A_2 NOBES_4_A_3 NOBES_4_A_4 NOBES_4_L_5 NOBES_4 L NOBES_4_L_1 NOBES_4_L_2 NOBES_4_L_3 NOBES_4_L_4 NOBES_4_L_5 OBES_4 A OBES_4_L_1 OBES_4_L_2 OBES_4_L_3 OBES_4_L_4 OBES_4_L_5 OBES_5 A NOBES_5_L_1 NOBES_5_L_2 NOBES_5_L_3 NOBES_5_L_4 NOBES_4_L_5 NOBES_5 A NOBES_5_L_1 NOBES_5_L_2 NOBES_5_L_3 NOBES_5_L_4 NOBES_5_L_5 NOBES_5 A NOBES_5_L_1 NOBES_5_L_2 NOBES_5_L_3 NOBES_5_L_4 NOBES_5_L_5 NOBES_5 A OBES_5_L_1 NOBES_5_L_2 OBES_5_L_3 OBES_5_L_4 OBES_5_L_5 OBES_6 A NOBES_6_L_1 OBES_6_L_2 OBES_6_L_3 OBES_6_L_4 OBES_6_L_5 NOBES_6 A NOBES_6_L_1 NOBES_6_L_2 OBES_6_L_3 NOBES_6_L_4 OBES_6_L_5 <td>NOBES_3</td> <td>L</td> <td>NOBES_3_L_1</td> <td>NOBES_3_L_2</td> <td>NOBES_3_L_3</td> <td>NOBES_3_L_4</td> <td>NOBES_3_L_5</td>	NOBES_3	L	NOBES_3_L_1	NOBES_3_L_2	NOBES_3_L_3	NOBES_3_L_4	NOBES_3_L_5		
NOBES_4 A NOBES_4_A_1 NOBES_4_A_2 NOBES_4_A_3 NOBES_4_A_4 NOBES_4_A_5 NOBES_4 L NOBES_4_L_1 NOBES_4_L_2 NOBES_4_L_3 NOBES_4_L_4 NOBES_4_L_5 OBES_4 A OBES_4_A_1 OBES_4_L_2 OBES_4_A_3 OBES_4_L_4 OBES_4_L_5 OBES_4 L OBES_4_L_1 OBES_4_L_2 OBES_4_L_3 OBES_4_L_4 OBES_4_L_5 NOBES_5 A NOBES_5_L_1 NOBES_5_A_2 NOBES_5_A_3 NOBES_5_A_4 NOBES_5_A_5 NOBES_5 L NOBES_5_L_1 NOBES_5_L_2 NOBES_5_L_3 NOBES_5_L_4 OBES_5_L_5 OBES_5 L OBES_5_L_1 OBES_5_L_2 OBES_5_L_3 OBES_5_L_4 OBES_5_L_5 OBES_6 L OBES_6_L_1 OBES_6_L_2 OBES_6_L_3 OBES_5_L_4 OBES_6_L_5 NOBES_6 L NOBES_6_L_1 NOBES_6_L_2 NOBES_6_L_3 NOBES_6_L_4 OBES_6_L_5 OBES_6 L NOBES_6_L_1 OBES_6_L_3 NOBES_6_L_4 OBES_6_L_5 O	OBES_3	A	OBES_3_A_1	OBES_3_A_2	OBES_3_A_3	OBES_3_A_4	OBES_3_A_5		
NOBES 4 L NOBES 4 L 1 NOBES 4 L 2 NOBES 4 L 3 NOBES 4 L 4 NOBES 4 L 5 OBES 4 A OBES 4 L 1 OBES 4 L 2 OBES 4 L 3 OBES 4 L 4 OBES 4 L 5 OBES 4 L OBES 4 L 1 OBES 4 L 2 OBES 4 L 3 OBES 4 L 4 OBES 4 L 5 NOBES 5 A NOBES 5 L 1 NOBES 5 L 2 NOBES 5 L 3 NOBES 5 L 4 NOBES 5 L 5 NOBES 5 A OBES 5 L 1 NOBES 5 L 2 NOBES 5 L 3 NOBES 5 L 4 NOBES 5 L 5 OBES 5 A OBES 5 L 1 OBES 5 L 2 OBES 5 L 3 OBES 5 L 4 OBES 5 L 5 OBES 6 A OBES 5 L 1 OBES 6 L 2 OBES 6 L 3 OBES 6 L 4 OBES 6 L 5 NOBES 6 A NOBES 6 L 1 NOBES 6 L 2 NOBES 6 L 3 NOBES 6 L 4 NOBES 6 L 5 OBES 6 A OBES 6 L 1 OBES 6 L 2 OBES 6 L 3 OBES 6 L 4 OBES 6 L 5 OBES 7 A NOBES 7 L 1 OBES 6 L 2 OBES 6 L 3 OBES 6 L 4 OBES 6 L 5	OBES_3	L	OBES_3_L_1	OBES_3_L_2	OBES_3_L_3	OBES_3_L_4	OBES_3_L_5		
OBES_4 A OBES_4_A_1 OBES_4_A_2 OBES_4_A_3 OBES_4_A_4 OBES_4_A_5 OBES_4 L OBES_4_L_1 OBES_4_L_2 OBES_4_L_3 OBES_4_L_4 OBES_4_L_5 NOBES_5 A NOBES_5_A_1 NOBES_5_A_2 NOBES_5_A_3 NOBES_5_A_4 NOBES_5_A_5 NOBES_5 L NOBES_5_L_1 NOBES_5_L_2 NOBES_5_L_3 NOBES_5_L_4 NOBES_5_L_5 OBES_5 A OBES_5_L_1 OBES_5_A_2 OBES_5_L_3 OBES_5_L_4 OBES_5_L_5 OBES_5 L OBES_5_L_1 OBES_5_L_2 OBES_5_L_3 OBES_5_L_4 OBES_5_L_5 OBES_6 A NOBES_6_L_1 OBES_6_L_2 OBES_6_A_3 OBES_6_L_4 OBES_6_L_5 NOBES_6 L NOBES_6_L_1 NOBES_6_L_2 NOBES_6_L_3 OBES_6_L_4 OBES_6_L_5 OBES_6 L OBES_6_L_1 OBES_6_L_2 OBES_6_L_3 OBES_6_L_4 OBES_6_L_5 NOBES_7 A NOBES_7_L_1 OBES_7_A_2 NOBES_7_A_3 NOBES_6_L_4 OBES_6_L_5	NOBES_4	A	NOBES_4_A_1	NOBES_4_A_2	NOBES_4_A_3	NOBES_4_A_4	NOBES_4_A_5		
OBES_4 L OBES_4_I_1 OBES_4_I_2 OBES_4_I_3 OBES_4_I_4 OBES_4_I_5 NOBES_5 A NOBES_5_A_1 NOBES_5_A_2 NOBES_5_A_3 NOBES_5_A_4 NOBES_5_A_5 NOBES_5 L NOBES_5_L_1 NOBES_5_L_2 NOBES_5_L_3 NOBES_5_L_4 NOBES_5_L_5 OBES_5 A OBES_5_L_1 OBES_5_L_2 OBES_5_L_3 OBES_5_L_4 OBES_5_L_5 NOBES_6 A NOBES_6_A_1 NOBES_6_L_2 OBES_5_L_3 OBES_6_A_4 NOBES_6_A_5 NOBES_6 A NOBES_6_L_1 NOBES_6_L_2 NOBES_6_A_3 NOBES_6_A_4 NOBES_6_L_5 NOBES_6 A NOBES_6_L_1 NOBES_6_L_2 NOBES_6_L_3 NOBES_6_L_4 NOBES_6_L_5 OBES_6 A OBES_6_L_1 OBES_6_L_2 OBES_6_L_3 OBES_6_L_4 OBES_6_L_5 NOBES_7 A NOBES_7A_1 NOBES_7A_2 OBES_7A_3 OBES_6_L_4 NOBES_6_L_5 NOBES_7 A NOBES_7A_1 NOBES_7A_2 OBES_7A_3 NOBES_6_L_4 OBES_6_L_5	NOBES_4	L	NOBES_4_L_1	NOBES_4_L_2	NOBES_4_L_3	NOBES_4_L_4	NOBES_4_L_5		
NOBES_5 A NOBES_5A_1 NOBES_5A_2 NOBES_5A_3 NOBES_5A_4 NOBES_5A_5 NOBES_5 L NOBES_5L_1 NOBES_5L_2 NOBES_5L_3 NOBES_5L_4 NOBES_5L_5 OBES_5 A OBES_5A_1 OBES_5A_2 OBES_5A_3 OBES_5L_4 OBES_5L_5 OBES_5 L OBES_5L_1 OBES_5L_2 OBES_5L_3 OBES_5L_4 OBES_5L_5 NOBES_6 A NOBES_6A_1 NOBES_6A_2 NOBES_6A_3 NOBES_6A_4 NOBES_6A_5 NOBES_6 L NOBES_6A_1 NOBES_6A_2 NOBES_6A_3 NOBES_6A_4 NOBES_6A_5 OBES_6 A OBES_6A_1 OBES_6A_2 OBES_6A_3 OBES_6A_4 OBES_6A_5 OBES_6 A OBES_6A_1 OBES_6A_2 OBES_6A_3 OBES_6A_4 OBES_6A_5 OBES_6 L OBES_6A_1 OBES_6A_2 OBES_6A_3 OBES_6A_4 OBES_6A_5 NOBES_7 A NOBES_7A_1 NOBES_7A_2 NOBES_6A_3 NOBES_6A_4 OBES_6A_5 NOBES_7 <td< td=""><td>OBES_4</td><td>Ā</td><td>OBES_4_A_1</td><td>OBES_4_A_2</td><td>OBES_4_A_3</td><td>OBES_4_A_4</td><td>OBES_4_A_5</td></td<>	OBES_4	Ā	OBES_4_A_1	OBES_4_A_2	OBES_4_A_3	OBES_4_A_4	OBES_4_A_5		
NOBES_5 L NOBES_5_L_1 NOBES_5_L_2 NOBES_5_L_3 NOBES_5_L_4 NOBES_5_L_5 OBES_5 A OBES_5_A_1 OBES_5_A_2 OBES_5_A_3 OBES_5_L_4 OBES_5_L_5 OBES_5 L OBES_5_L_1 OBES_5_L_2 OBES_5_L_3 OBES_5_L_4 OBES_5_L_5 NOBES_6 A NOBES_6_L_1 NOBES_6_L_2 NOBES_6_L_3 NOBES_6_L_4 NOBES_6_L_5 NOBES_6 A OBES_6_L_1 NOBES_6_L_2 NOBES_6_L_3 NOBES_6_L_4 NOBES_6_L_5 OBES_6 A OBES_6_L_1 OBES_6_L_2 OBES_6_L_3 OBES_6_L_4 OBES_6_L_5 OBES_6 A OBES_6_L_1 OBES_6_L_2 OBES_6_L_3 OBES_6_L_4 OBES_6_L_5 NOBES_7 A NOBES_7_L_1 NOBES_7_L_2 OBES_6_L_3 NOBES_6_L_4 NOBES_6_L_5 NOBES_7 A NOBES_7_L_1 NOBES_7_L_2 NOBES_7_L_3 NOBES_7_L_4 NOBES_7_L_5 OBES_7 A OBES_7_L_1 OBES_7_L_2 OBES_7_L_3 OBES_7_L_4 OBES_7_L_5 </td <td>OBES_4</td> <td>L</td> <td>OBES_4_L_1</td> <td>OBES_4_L_2</td> <td>OBES_4_L_3</td> <td>OBES_4_L_4</td> <td>OBES_4_L_5</td>	OBES_4	L	OBES_4_L_1	OBES_4_L_2	OBES_4_L_3	OBES_4_L_4	OBES_4_L_5		
OBES_5 A OBES_5_A_1 OBES_5_A_2 OBES_5_A_3 OBES_5_A_4 OBES_5_A_5 OBES_5 L OBES_5_L_1 OBES_5_L_2 OBES_5_L_3 OBES_5_L_4 OBES_5_L_5 NOBES_6 A NOBES_6_A_1 NOBES_6_A_2 NOBES_6_A_3 NOBES_6_A_4 NOBES_6_A_5 NOBES_6 L NOBES_6_L_1 NOBES_6_L_2 NOBES_6_L_3 NOBES_6_L_4 NOBES_6_L_5 OBES_6 A OBES_6_L_1 OBES_6_L_2 OBES_6_A_3 OBES_6_L_4 OBES_6_L_5 OBES_6 A OBES_6_L_1 OBES_6_L_2 OBES_6_A_3 OBES_6_L_4 OBES_6_L_5 OBES_6 L OBES_6_L_1 OBES_6_L_3 OBES_6_L_4 OBES_6_L_5 NOBES_7 A NOBES_7_A_1 NOBES_7_A_2 NOBES_7_A_3 NOBES_6_L_4 NOBES_6_L_5 NOBES_7 A OBES_7_A_1 NOBES_7_L_2 NOBES_7_L_3 NOBES_7_L_4 NOBES_7_L_5 OBES_7 A OBES_8_A_1 OBES_8_A_2 OBES_7_L_3 OBES_8_A_4 OBES_7_L_5 NOBES_8<	NOBES_5	A	NOBES_5_A_1	NOBES_5_A_2	NOBES_5_A_3	NOBES_5_A_4	NOBES_5_A_5		
OBES_5 L OBES_5_L_1 OBES_5_L_2 OBES_5_L_3 OBES_5_L_4 OBES_5_L_5 NOBES_6 A NOBES_6_A_1 NOBES_6_A_2 NOBES_6_A_3 NOBES_6_A_4 NOBES_6_A_5 NOBES_6 L NOBES_6_L_1 NOBES_6_L_2 NOBES_6_L_3 NOBES_6_L_4 NOBES_6_L_5 OBES_6 A OBES_6_A_1 OBES_6_A_2 OBES_6_L_3 OBES_6_A_4 OBES_6_L_5 OBES_6 L OBES_6_L_1 OBES_6_L_2 OBES_6_L_3 OBES_6_L_4 OBES_6_L_5 NOBES_7 A NOBES_7_A_1 NOBES_7_A_2 NOBES_7_A_3 NOBES_7_A_4 NOBES_7_A_5 NOBES_7 A OBES_7_A_1 NOBES_7_A_2 NOBES_7_A_3 NOBES_7_A_4 OBES_7_A_5 OBES_7 A OBES_7_A_1 OBES_7_A_2 OBES_7_A_3 OBES_7_A_4 OBES_7_A_5 OBES_7 L OBES_7_A_1 OBES_8_A_2 OBES_7_A_3 OBES_7_A_4 OBES_7_A_5 NOBES_8 A NOBES_8_A_1 NOBES_8_A_2 NOBES_8_A_3 NOBES_8_A_4 NOBES_8_A_5 </td <td>NOBES_5</td> <td>L</td> <td>NOBES_5_L_1</td> <td>NOBES_5_L_2</td> <td>NOBES_5_L_3</td> <td>NOBES_5_L_4</td> <td>NOBES_5_L_5</td>	NOBES_5	L	NOBES_5_L_1	NOBES_5_L_2	NOBES_5_L_3	NOBES_5_L_4	NOBES_5_L_5		
NOBES_6 A NOBES_6A_1 NOBES_6A_2 NOBES_6A_3 NOBES_6A_4 NOBES_6A_5 NOBES_6 L NOBES_6L_1 NOBES_6L_2 NOBES_6L_3 NOBES_6L_4 NOBES_6L_5 OBES_6 A OBES_6A_1 OBES_6A_2 OBES_6A_3 OBES_6A_4 OBES_6A_5 OBES_6 L OBES_6A_1 OBES_6A_2 OBES_6A_3 OBES_6A_4 OBES_6A_5 OBES_6 L OBES_6A_1 OBES_6A_2 OBES_6A_3 OBES_6A_4 OBES_6A_5 OBES_6 L OBES_6A_1 OBES_6A_2 OBES_6A_3 OBES_6A_4 OBES_6A_5 NOBES_7 A NOBES_6A_1 OBES_7A_2 OBES_6A_3 OBES_6A_4 OBES_6A_5 NOBES_7 A NOBES_7A_1 OBES_7A_2 NOBES_7A_3 OBES_6L_4 NOBES_6L_5 NOBES_7 A OBES_7A_1 OBES_7A_2 OBES_7A_3 OBES_7A_4 OBES_7A_5 OBES_7 A OBES_8A_1 OBES_8A_2 OBES_7A_3 OBES_8A_4 OBES_7A_5 NOBES_8 A	OBES_5	A	OBES_5_A_1	OBES_5_A_2	OBES_5_A_3	OBES_5_A_4	OBES_5_A_5		
NOBES_6 L NOBES_6 L_1 NOBES_6 L_2 NOBES_6 L_3 NOBES_6 L_4 NOBES_6 L_5 OBES_6 A OBES_6 A_1 OBES_6 A_2 OBES_6 A_3 OBES_6 A_4 OBES_6 A_5 OBES_6 L OBES_6 L_1 OBES_6 L_2 OBES_6 L_3 OBES_6 L_4 OBES_6 L_5 NOBES_7 A NOBES_7 A_1 NOBES_7 A_2 NOBES_7 A_3 NOBES_7 A_4 NOBES_7 A_5 NOBES_7 L NOBES_7 L_1 NOBES_7 L_2 NOBES_7 L_3 NOBES_7 L_4 NOBES_7 L_5 OBES_7 A OBES_7 A_1 OBES_7 A_2 OBES_7 A_3 OBES_7 A_4 OBES_7 A_5 OBES_7 A OBES_7 A_1 OBES_7 A_2 OBES_7 A_3 OBES_7 A_4 OBES_7 A_5 OBES_7 L OBES_8 A_1 NOBES_8 A_2 OBES_8 A_3 NOBES_8 A_4 NOBES_8 A_5 NOBES_8 L NOBES_8 A_1 NOBES_8 A_2 OBES_8 A_3 OBES_8 A_4 OBES_8 A_5 OBES_8 L OBES_8 A_1 OBES_8 A_2 OBES_8 A_3 OBES_8 A_4 OBES_8 A_5	OBES_5	L	OBES_5_L_1	OBES_5_L_2	OBES_5_L_3	OBES_5_L_4	OBES_5_L_5		
OBES_6 A OBES_6A_1 OBES_6A_2 OBES_6A_3 OBES_6A_4 OBES_6A_5 OBES_6 L OBES_6L_1 OBES_6L_2 OBES_6L_3 OBES_6L_4 OBES_6L_5 NOBES_7 A NOBES_7A_1 NOBES_7A_2 NOBES_7A_3 NOBES_7A_4 NOBES_7A_5 NOBES_7 L NOBES_7L_1 NOBES_7L_2 NOBES_7L_3 NOBES_7L_4 NOBES_7L_5 OBES_7 A OBES_7A_1 OBES_7A_2 OBES_7A_3 OBES_7A_4 OBES_7A_5 OBES_7 A OBES_7L_1 OBES_7L_2 OBES_7L_3 OBES_7A_4 OBES_7A_5 OBES_7 L OBES_7L_1 OBES_7L_2 OBES_7L_3 OBES_7L_4 OBES_7L_5 NOBES_8 A NOBES_8A_1 NOBES_8A_2 NOBES_8A_3 NOBES_8A_4 NOBES_8A_5 NOBES_8 L NOBES_8A_1 OBES_8A_2 OBES_8A_3 OBES_8A_4 OBES_8A_5 OBES_8 L OBES_8L_1 OBES_8L_2 OBES_8A_3 OBES_8A_4 OBES_8A_5 NOBES_9 A	NOBES_6	Α	NOBES_6_A_1	NOBES_6_A_2	NOBES_6_A_3	NOBES_6_A_4	NOBES_6_A_5		
OBES_6 L OBES_6_L_1 OBES_6_L_2 OBES_6_L_3 OBES_6_L_4 OBES_6_L_5 NOBES_7 A NOBES_7_A_1 NOBES_7_A_2 NOBES_7_A_3 NOBES_7_A_4 NOBES_7_A_5 NOBES_7 L NOBES_7_L_1 NOBES_7_L_2 NOBES_7_L_3 NOBES_7_L_4 NOBES_7_L_5 OBES_7 A OBES_7_A_1 OBES_7_A_2 OBES_7_A_3 OBES_7_A_4 OBES_7_A_5 OBES_7 L OBES_7_L_1 OBES_7_L_2 OBES_7_L_3 OBES_7_L_4 OBES_7_L_5 NOBES_8 A NOBES_8_A_1 NOBES_8_A_2 NOBES_8_A_3 NOBES_8_A_4 NOBES_8_A_5 NOBES_8 L NOBES_8_A_1 NOBES_8_A_2 OBES_8_A_3 OBES_8_A_4 NOBES_8_A_5 OBES_8 A OBES_8_A_1 OBES_8_A_2 OBES_8_A_3 OBES_8_A_4 OBES_8_A_5 OBES_8 A OBES_8_A_1 OBES_8_A_2 OBES_8_A_3 OBES_8_A_4 OBES_8_A_5 OBES_8 L OBES_8_L_1 OBES_8_A_2 OBES_8_A_3 OBES_8_A_4 OBES_8_A_5	NOBES_6	L	NOBES_6_L_1	NOBES_6_L_2	NOBES_6_L_3	NOBES_6_L_4	NOBES_6_L_5		
NOBES_7 A NOBES_7_A_1 NOBES_7_A_2 NOBES_7_A_3 NOBES_7_A_4 NOBES_7_A_5 NOBES_7 L NOBES_7_L_1 NOBES_7_L_2 NOBES_7_L_3 NOBES_7_L_4 NOBES_7_L_5 OBES_7 A OBES_7_A_1 OBES_7_L_2 OBES_7_L_3 OBES_7_L_4 OBES_7_L_5 OBES_7 L OBES_7_L_1 OBES_7_L_2 OBES_7_L_3 OBES_7_L_4 OBES_7_L_5 NOBES_8 A NOBES_8_A_1 NOBES_8_A_2 NOBES_8_A_3 NOBES_8_A_4 NOBES_8_A_5 NOBES_8 L NOBES_8_L_1 NOBES_8_A_2 NOBES_8_A_3 NOBES_8_A_4 NOBES_8_L_5 OBES_8 A OBES_8_A_1 OBES_8_A_2 OBES_8_A_3 OBES_8_A_4 OBES_8_A_5 OBES_8 B OBES_8_A_1 OBES_8_A_2 OBES_8_A_3 OBES_8_A_4 OBES_8_A_5 OBES_8 B OBES_8_A_1 OBES_8_A_2 OBES_8_A_3 OBES_8_A_4 OBES_8_A_5 NOBES_9 A NOBES_9_A_1 NOBES_9_A_2 NOBES_9_A_3 NOBES_9_A_4 NOBES_9_A_5	OBES_6	A	OBES_6_A_1	OBES_6_A_2	OBES_6_A_3	OBES_6_A_4	OBES_6_A_5		
NOBES_7 L NOBES_7_L_1 NOBES_7_L_2 NOBES_7_L_3 NOBES_7_L_4 NOBES_7_L_5 OBES_7 A OBES_7_A_1 OBES_7_A_2 OBES_7_A_3 OBES_7_A_4 OBES_7_A_5 OBES_7 L OBES_7_L_1 OBES_7_L_2 OBES_7_L_3 OBES_7_L_4 OBES_7_L_5 NOBES_8 A NOBES_8_A_1 NOBES_8_A_2 NOBES_8_A_3 NOBES_8_A_4 NOBES_8_A_5 NOBES_8 L NOBES_8_L_1 NOBES_8_L_2 NOBES_8_L_3 NOBES_8_L_4 NOBES_8_L_5 OBES_8 A OBES_8_A_1 OBES_8_A_2 OBES_8_A_3 OBES_8_A_4 OBES_8_A_5 OBES_8 L OBES_8_A_1 OBES_8_A_2 OBES_8_A_3 OBES_8_A_4 OBES_8_A_5 OBES_8 L OBES_8_A_1 OBES_8_A_2 OBES_8_A_3 OBES_8_A_4 OBES_8_A_5 OBES_8 L OBES_8_A_1 OBES_8_A_2 OBES_8_A_3 OBES_8_A_4 OBES_8_A_5 NOBES_9 A NOBES_9_A_1 NOBES_9_A_2 NOBES_9_A_3 NOBES_9_A_4 NOBES_9_A_5	OBES_6	L	OBES_6_L_1	OBES_6_L_2	OBES_6_L_3	OBES_6_L_4	OBES_6_L_5		
OBES_7 A OBES_7_A_1 OBES_7_A_2 OBES_7_A_3 OBES_7_A_4 OBES_7_A_5 OBES_7 L OBES_7_L_1 OBES_7_L_2 OBES_7_L_3 OBES_7_L_4 OBES_7_L_5 NOBES_8 A NOBES_8_A_1 NOBES_8_A_2 NOBES_8_A_3 NOBES_8_A_4 NOBES_8_A_5 NOBES_8 L NOBES_8_L_1 NOBES_8_L_2 NOBES_8_L_3 NOBES_8_L_4 NOBES_8_L_5 OBES_8 A OBES_8_A_1 OBES_8_A_2 OBES_8_A_3 OBES_8_A_4 OBES_8_A_5 OBES_8 L OBES_8_L_1 OBES_8_L_2 OBES_8_L_3 OBES_8_A_4 OBES_8_A_5 OBES_8 L OBES_8_L_1 OBES_8_L_2 OBES_8_L_3 OBES_8_L_4 OBES_8_A_5 NOBES_9 A NOBES_9_A_1 NOBES_9_A_2 NOBES_9_A_3 NOBES_9_A_4 NOBES_9_A_5 NOBES_9 A OBES_9_A_1 OBES_9_A_2 OBES_9_A_3 OBES_9_A_4 OBES_9_A_5 OBES_9 A OBES_9_A_1 OBES_9_A_2 OBES_9_A_3 OBES_9_A_4 OBES_9_A_5 <	NOBES_7	A	NOBES_7_A_1	NOBES_7_A_2	NOBES_7_A_3	NOBES_7_A_4	NOBES_7_A_5		
OBES_7 L OBES_7_L_1 OBES_7_L_2 OBES_7_L_3 OBES_7_L_4 OBES_7_L_5 NOBES_8 A NOBES_8_A_1 NOBES_8_A_2 NOBES_8_A_3 NOBES_8_A_4 NOBES_8_A_5 NOBES_8 L NOBES_8_L_1 NOBES_8_L_2 NOBES_8_L_3 NOBES_8_L_4 NOBES_8_L_5 OBES_8 A OBES_8_L_1 OBES_8_L_2 OBES_8_L_3 OBES_8_L_4 OBES_8_L_5 NOBES_9 A NOBES_9_A_1 NOBES_9_A_2 NOBES_9_A_3 NOBES_9_A_4 NOBES_9_A_5 NOBES_9 A NOBES_9_L_1 NOBES_9_L_2 NOBES_9_L_3 NOBES_9_L_4 NOBES_9_L_5 OBES_9 A OBES_9_L_1 OBES_9_L_2 OBES_9_L_3 OBES_9_L_4 OBES_9_L_5 NOBES_10 A NOBES_10_A_1 NOBES_10_A_2 NOBES_9_L_3 OBES_9_L_4 OBES_9_L_5 NOBES_10 A NOBES_10_A_1 NOBES_10_A_2 NOBES_10_A_3 NOBES_10_A_4 NOBES_10_A_5 NOBES_10 A OBES_10_A_1 NOBES_10_A_2 NOBES_10_A_3 NOBES_10_A_4 <t< td=""><td>NOBES_7</td><td>L</td><td>NOBES_7_L_1</td><td>NOBES_7_L_2</td><td>NOBES_7_L_3</td><td>NOBES_7_L_4</td><td>NOBES_7_L_5</td></t<>	NOBES_7	L	NOBES_7_L_1	NOBES_7_L_2	NOBES_7_L_3	NOBES_7_L_4	NOBES_7_L_5		
NOBES_8 A NOBES_8_A_1 NOBES_8_A_2 NOBES_8_A_3 NOBES_8_A_4 NOBES_8_A_5 NOBES_8 L NOBES_8_L_1 NOBES_8_L_2 NOBES_8_L_3 NOBES_8_L_4 NOBES_8_L_5 OBES_8 A OBES_8_A_1 OBES_8_A_2 OBES_8_A_3 OBES_8_A_4 OBES_8_A_5 OBES_8 L OBES_8_L_1 OBES_8_L_2 OBES_8_L_3 OBES_8_L_4 OBES_8_L_5 NOBES_9 A NOBES_9_A_1 NOBES_9_A_2 NOBES_9_A_3 NOBES_9_A_4 NOBES_9_A_5 NOBES_9 L NOBES_9_L_1 NOBES_9_L_2 NOBES_9_L_3 NOBES_9_L_4 NOBES_9_L_5 OBES_9 A OBES_9_A_1 OBES_9_A_2 OBES_9_A_3 OBES_9_A_4 OBES_9_A_5 OBES_9 A OBES_9_A_1 OBES_9_A_2 OBES_9_A_3 OBES_9_A_4 OBES_9_A_5 OBES_9 A OBES_9_L_1 OBES_9_L_3 OBES_9_L_4 OBES_9_L_5 NOBES_10 A NOBES_10_A_1 NOBES_10_A_2 NOBES_10_A_3 NOBES_10_A_4 NOBES_10_A_5	OBES_7	A	OBES_7_A_1	OBES_7_A_2	OBES_7_A_3	OBES_7_A_4	OBES_7_A_5		
NOBES_8 L NOBES_8_L_1 NOBES_8_L_2 NOBES_8_L_3 NOBES_8_L_4 NOBES_8_L_5 OBES_8 A OBES_8_A_1 OBES_8_A_2 OBES_8_A_3 OBES_8_A_4 OBES_8_A_5 OBES_8 L OBES_8_L_1 OBES_8_L_2 OBES_8_L_3 OBES_8_L_4 OBES_8_L_5 NOBES_9 A NOBES_9_A_1 NOBES_9_A_2 NOBES_9_A_3 NOBES_9_A_4 NOBES_9_A_5 NOBES_9 L NOBES_9_L_1 NOBES_9_L_2 NOBES_9_L_3 NOBES_9_L_4 NOBES_9_L_5 OBES_9 A OBES_9_A_1 OBES_9_A_2 OBES_9_A_3 OBES_9_A_4 OBES_9_A_5 OBES_9 L OBES_9_L_1 OBES_9_L_3 OBES_9_A_4 OBES_9_L_5 NOBES_10 A NOBES_10_A_1 NOBES_10_A_2 NOBES_10_A_3 NOBES_10_A_4 NOBES_10_A_5 NOBES_10 L NOBES_10_L_1 NOBES_10_L_2 NOBES_10_L_3 NOBES_10_L_4 NOBES_10_L_5 OBES_10 A OBES_10_A_1 OBES_10_A_2 OBES_10_A_3 OBES_10_A_4 OBES_10_A_5	OBES_7	L	OBES_7_L_1	OBES_7_L_2	OBES_7_L_3	OBES_7_L_4	OBES_7_L_5		
OBES_8 A OBES_8_A_1 OBES_8_A_2 OBES_8_A_3 OBES_8_A_4 OBES_8_A_5 OBES_8 L OBES_8_L_1 OBES_8_L_3 OBES_8_L_4 OBES_8_L_5 NOBES_9 A NOBES_9_A_1 NOBES_9_A_2 NOBES_9_A_3 NOBES_9_A_4 NOBES_9_A_5 NOBES_9 L NOBES_9_L_1 NOBES_9_L_2 NOBES_9_L_3 NOBES_9_L_4 NOBES_9_L_5 OBES_9 A OBES_9_A_1 OBES_9_A_2 OBES_9_A_3 OBES_9_A_4 OBES_9_A_5 OBES_9 A OBES_9_L_1 OBES_9_L_3 OBES_9_L_4 OBES_9_L_5 NOBES_10 A NOBES_10_A_1 NOBES_10_A_2 NOBES_9_L_3 NOBES_9_L_4 OBES_9_L_5 NOBES_10 A NOBES_10_A_1 NOBES_10_A_2 NOBES_10_A_3 NOBES_10_A_4 NOBES_10_A_5 NOBES_10 A NOBES_10_L_1 NOBES_10_L_2 NOBES_10_L_3 NOBES_10_L_4 NOBES_10_L_5 OBES_10 A OBES_10_A_1 OBES_10_A_2 OBES_10_A_3 OBES_10_A_4 OBES_10_A_5	NOBES_8	A	NOBES_8_A_1	NOBES_8_A_2	NOBES_8_A_3	NOBES_8_A_4	NOBES_8_A_5		
OBES_8 L OBES_8_L_1 OBES_8_L_2 OBES_8_L_3 OBES_8_L_4 OBES_8_L_5 NOBES_9 A NOBES_9_A_1 NOBES_9_A_2 NOBES_9_A_3 NOBES_9_A_4 NOBES_9_A_5 NOBES_9 L NOBES_9_L_1 NOBES_9_L_2 NOBES_9_L_3 NOBES_9_L_4 NOBES_9_L_5 OBES_9 A OBES_9_L_1 OBES_9_L_2 OBES_9_L_3 OBES_9_L_4 OBES_9_L_5 NOBES_10 A NOBES_10_A_1 NOBES_10_A_2 NOBES_10_A_3 NOBES_10_A_4 NOBES_10_A_5 NOBES_10 L NOBES_10_L_1 NOBES_10_L_2 NOBES_10_L_3 NOBES_10_A_4 NOBES_10_L_5 OBES_10 A OBES_10_L_1 NOBES_10_L_2 NOBES_10_L_3 NOBES_10_L_4 NOBES_10_L_5 OBES_10 A OBES_10_A_1 OBES_10_A_2 OBES_10_L_3 OBES_10_L_4 OBES_10_L_5	NOBES_8	L	NOBES_8_L_1	NOBES_8_L_2	NOBES_8_L_3	NOBES_8_L_4	NOBES_8_L_5		
NOBES_9 A NOBES_9_A_1 NOBES_9_A_2 NOBES_9_A_3 NOBES_9_A_4 NOBES_9_A_5 NOBES_9 L NOBES_9_L_1 NOBES_9_L_2 NOBES_9_L_3 NOBES_9_L_4 NOBES_9_L_5 OBES_9 A OBES_9_A_1 OBES_9_A_2 OBES_9_A_3 OBES_9_A_4 OBES_9_A_5 OBES_9 L OBES_9_L_1 OBES_9_L_3 OBES_9_L_4 OBES_9_L_5 NOBES_10 A NOBES_10_A_1 NOBES_10_A_2 NOBES_10_A_3 NOBES_10_A_4 NOBES_10_A_5 NOBES_10 L NOBES_10_L_1 NOBES_10_L_2 NOBES_10_L_3 NOBES_10_L_4 NOBES_10_L_5 OBES_10 A OBES_10_L_1 NOBES_10_L_2 NOBES_10_L_3 NOBES_10_L_4 NOBES_10_L_5 OBES_10 A OBES_10_A_1 OBES_10_A_2 OBES_10_A_3 OBES_10_A_4 OBES_10_A_5	OBES_8	Α	OBES_8_A_1	OBES_8_A_2	OBES_8_A_3	OBES_8_A_4	OBES_8_A_5		
NOBES_9 L NOBES_9 L_1 NOBES_9 L_2 NOBES_9 L_3 NOBES_9 L_4 NOBES_9 L_5 OBES_9 A OBES_9 A_1 OBES_9 A_2 OBES_9 A_3 OBES_9 A_4 OBES_9 A_5 OBES_9 L OBES_9 L_1 OBES_9 L_2 OBES_9 L_3 OBES_9 L_4 OBES_9 L_5 NOBES_10 A NOBES_10 A_1 NOBES_10 A_2 NOBES_10 A_3 NOBES_10 A_4 NOBES_10 A_5 NOBES_10 L NOBES_10 L_1 NOBES_10 L_2 NOBES_10 L_3 NOBES_10 L_4 NOBES_10 L_5 OBES_10 A OBES_10 A_1 OBES_10 A_2 OBES_10 A_3 OBES_10 A_4 OBES_10 A_5	OBES_8	L	OBES_8_L_1	OBES_8_L_2	OBES_8_L_3	OBES_8_L_4	OBES_8_L_5		
OBES_9 A OBES_9_A_1 OBES_9_A_2 OBES_9_A_3 OBES_9_A_4 OBES_9_A_5 OBES_9 L OBES_9_L_1 OBES_9_L_2 OBES_9_L_3 OBES_9_L_4 OBES_9_L_5 NOBES_10 A NOBES_10_A_1 NOBES_10_A_2 NOBES_10_A_3 NOBES_10_A_4 NOBES_10_A_5 NOBES_10 L NOBES_10_L_1 NOBES_10_L_2 NOBES_10_L_3 NOBES_10_L_4 NOBES_10_L_5 OBES_10 A OBES_10_A_1 OBES_10_A_2 OBES_10_A_3 OBES_10_A_4 OBES_10_A_5	NOBES_9	A	NOBES_9_A_1	NOBES_9_A_2	NOBES_9_A_3	NOBES_9_A_4	NOBES_9_A_5		
OBES_9 L OBES_9_L_1 OBES_9_L_2 OBES_9_L_3 OBES_9_L_4 OBES_9_L_5 NOBES_10 A NOBES_10_A_1 NOBES_10_A_2 NOBES_10_A_3 NOBES_10_A_4 NOBES_10_A_5 NOBES_10 L NOBES_10_L_1 NOBES_10_L_2 NOBES_10_L_3 NOBES_10_L_4 NOBES_10_L_5 OBES_10 A OBES_10_A_1 OBES_10_A_2 OBES_10_A_3 OBES_10_A_4 OBES_10_A_5	NOBES_9	L	NOBES_9_L_1	NOBES_9_L_2	NOBES_9_L_3	NOBES_9_L_4	NOBES_9_L_5		
NOBES_10 A NOBES_10_A_1 NOBES_10_A_2 NOBES_10_A_3 NOBES_10_A_4 NOBES_10_A_5 NOBES_10 L NOBES_10_L_1 NOBES_10_L_2 NOBES_10_L_3 NOBES_10_L_4 NOBES_10_L_5 OBES_10 A OBES_10_A_1 OBES_10_A_2 OBES_10_A_3 OBES_10_A_4 OBES_10_A_5	OBES_9	A	OBES_9_A_1	OBES_9_A_2	OBES_9_A_3	OBES_9_A_4	OBES_9_A_5		
NOBES_10 L NOBES_10_L_1 NOBES_10_L_2 NOBES_10_L_3 NOBES_10_L_4 NOBES_10_L_5 OBES_10 A OBES_10_A_1 OBES_10_A_2 OBES_10_A_3 OBES_10_A_4 OBES_10_A_5	OBES_9	L	OBES_9_L_1	OBES_9_L_2	OBES_9_L_3	OBES_9_L_4	OBES_9_L_5		
OBES_10 A OBES_10_A_1 OBES_10_A_2 OBES_10_A_3 OBES_10_A_4 OBES_10_A_5	NOBES_10	A	NOBES_10_A_1	NOBES_10_A_2	NOBES_10_A_3	NOBES_10_A_4	NOBES_10_A_5		
	NOBES_10	L	NOBES_10_L_1	NOBES_10_L_2	NOBES_10_L_3	NOBES_10_L_4	NOBES_10_L_5		
OBES_10 L OBES_10_L_1 OBES_10_L_2 OBES_10_L_3 OBES_10_L_4 OBES_10_L_5	OBES_10	A	OBES_10_A_1	OBES_10_A_2	OBES_10_A_3	OBES_10_A_4			
	OBES_10	L	OBES_10_L_1	OBES_10_L_2	OBES_10_L_3	OBES_10_L_4	OBES_10_L_5		

Legenda: OBES, mulheres com obesidade; NOBES, mulheres sem obesidade, Fase A, água; fase L, lipídeo.

Voluntária	fase		Códigos nos micro	tubos com soro dos tu	bos de tampa cinza	
		Тетро зего	Tempo 30'	Тетро 60'	Tempo 90'	Tempo 120'
NOBES_1	A	26	28	30	32	34
NOBES_1	L	1	4	7	10	13
OBES_1	A	61	63	65	67	69
OBES_1	L	- 36	39	42	45	48
NOBES_2	Α	96	98	100	102	104
NOBES_2	L	71	74	77	80	83
OBES_2	A	131	133	135	137	139
OBES_2	L	106	109	112	115	118
NOBES_3	A	166	168	170	172	174
NOBES_3	L	141	144	147	150	153
OBES_3	A	201	203	205	207	209
OBES_3	L	176	179	182	185	188
NOBES_4	A	236	238	240	242	244
NOBES_4	L	211	214	217	220	223
OBES_4		271	273	275	277	279
OBES_4	L	246	249	252	255	258
NOBES_5	A	306	308	310	312	314
NOBES_5	L	281	284	287	290	293
OBES_5		341	343	345	347	349
OBES_5	L	316	319	322	325	328
NOBES_6	A	376	378	380	382	384
NOBES_6	Ĺ	351	354	357	360	363
OBES_6	A	411	413	415	417	419
OBES_6	L	386	389	392	395	398
NOBES_7	A	446	448	450	452	454
NOBES_7	L	421	424	427	430	433
OBES_7	A	481	483	485	487	489
OBES_7	L	456	459	462	465	468
NOBES_8	A	516	518	520	522	524
NOBES_8	L	491	494	497	500	503
OBES_8	A	551	553	555	557	559
OBES_8	L	526	529	532	535	538
NOBES_9	A	586	588	590	592	594
NOBES_9	L	561	564	567	570	573
OBES_9	A	621	623	625	627	629
OBES_9	L	596	599	602	605	608
NOBES_10	A	656	658	660	662	664
NOBES_10	L	631	634	637	640	643
OBES_10	A	691	693	695	697	698
OBES_10	L	666	669	702	705	708

Legenda: OBES, mulheres com obesidade; NOBES, mulheres sem obesidade, Fase A, água; fase L, lipídeo.

	··	Tempo zero	Tempo 30'	Tempo 60'	Tempo 90'	Tempo 120
NOBES_1	A -	27	29	31	33	35
NOBES_1	L	2,3	5,6	8,9	11,12	14,15
OBES_1	A	62	64	66	68	70
OBES_1	L	37,38	40,41	43,44	46,47	49,50
NOBES 2	A	97	99	101	103	105
NOBES_2	L	72,73	75,76	78,79	81,82	84,85
OBES_2	A	132	134	136	138	140
OBES_2	L	107,108	110,111	113,114	116,117	119,120
NOBES_3	A	167	169	171	173	175
NOBES_3	L	142,143	145,146	148,149	151,152	154,155
OBES_3	A	202	204	206	208	210
OBES_3	L	177,178	180,181	183,184	186,187	189,190
NOBES 4	A	237	239	241	243	245
NOBES 4	L	212,213	215,216	218,219	221,222	224,225
OBES_4		272	274		278	280
_	A L			276		
OBES_4		247,248	250,251 309	253,254	256,257	259,260
NOBES_5	A	307		311	313	315
NOBES_5	L	282,283	285,286	288,289	291,292	294,295
OBES_5	A	342	344	346	348	350
OBES_5	L .	317,318	320,321	323,324	326,327	329,330
NOBES_6	A	377	379	381	383	385
NOBES_6	L	352,353	355,356	358,359	361,362	364,365
OBES_6	A	412	414	416	418	420
OBES_6	L	387,388	390,391	393,394	396,397	399,400
NOBES_7	A	447	449	451	453	455
NOBES_7	L	422,423	425,426	428,429	431,432	434,435
OBES_7	A	482	484	486	488	490
OBES_7	L	457,458	460,461	463,464	466,467	469,470
NOBES_8	A	517	519	521	523	525
NOBES_8	L	492,493	495,496	498,499	501,502	504,505
OBES_8	A	552	554	556	558	560
OBES_8	L	527,528	530,531	533,534	536,537	539,540
NOBES_9	A	587	589	591	593	595
NOBES_9	L	562,563	565,566	568,569	571,572	574,575
OBES_9	A	622	624	626	628	630
OBES_9	L	597,598	600,601	603,604	606,607	609,610
NOBES_10	A	657	659	661	663	665
NOBES_10	L	632,633	635,636	638,639	641,642	644,645
OBES_10	A	692	694	696	698	700
OBES_10	L	667,668	670,671	673,674	676,677	679,680

Legenda: OBES, mulheres com obesidade; NOBES, mulheres sem obesidade, Fase A, água; fase L, lipídeo.

Apêndice 4 - Correção de atenuação e reconstrução

Butterwoth Cutoff Azimuth (°) Elevation (°) Twist (°) OBES_1_LIP 0,3 359,5 273,5 358 OBES_1_AGUA 0,29 359 276,5 4,5 NOBES_1_LIP 0,24 359,5 252 355,5 NOBES_1_LAGUA 0,25 1 261,5 0,5 OBES_2_LIP 0,22 2,5 267 357 OBES_2_AGUA 0,23 3 277 358 NOBES_2_LIP 0,23 359,5 267 359,5 NOBES_3_LIP 0,23 0 268,5 358,4 OBES_3_AGUA 0,23 2 264 355,3 OBES_3_AGUA 0,22 358 264 352,8 NOBES_3_LIP 0,25 2 259,5 1,5 NOBES_3_AGUA 0,23 1 265 1 OBES_4_LIP 0,29 359 270 1 OBES_4_LIP 0,29 359 275,5 358 <t< th=""><th>Voluntária</th><th></th><th></th><th>Orientação</th><th></th></t<>	Voluntária			Orientação	
OBES_1_ÁGUA 0,29 359 276,5 4,5 NOBES_1_LIP 0,24 359,5 252 355,5 NOBES_1_AGUA 0,25 1 261,5 0,5 OBES_2_LIP 0,22 2,5 267 357 OBES_2_AGUA 0,23 3 277 358 NOBES_2_AGUA 0,23 0 268,5 358,4 OBES_3_LIP 0,23 2 264 355,3 OBES_3_AGUA 0,22 358 264 352,8 NOBES_3_LIP 0,23 2 264 355,3 OBES_3_AGUA 0,22 358 264 352,8 NOBES_3_LIP 0,25 2 259,5 1,5 NOBES_3_AGUA 0,22 358 264 352,8 NOBES_3_LIP 0,25 2 259,5 1,5 NOBES_4_AGUA 0,23 1 265 1 OBES_4_AGUA 0,28 354,6 270 1,5 NOBES_4_AGUA <td></td> <td></td> <td>Azimuth (°)</td> <td>Elevation (°)</td> <td>Twist (°)</td>			Azimuth (°)	Elevation (°)	Twist (°)
NOBES_1_LIP 0,24 359,5 252 355,5 NOBES_1_AGUA 0,25 1 261,5 0,5 OBES_2_LIP 0,22 2,5 267 357 OBES_2_AGUA 0,23 3 277 358 NOBES_2_AGUA 0,23 359,5 267 359,5 NOBES_2_AGUA 0,23 0 268,5 358,4 OBES_3_LIP 0,23 2 264 355,3 OBES_3_AGUA 0,22 358 264 352,8 NOBES_3_ALIP 0,25 2 259,5 1,5 NOBES_3_LIP 0,25 2 259,5 1,5 NOBES_3_AGUA 0,23 1 265 1 OBES_3_AGUA 0,23 1 265 1 OBES_3_AGUA 0,23 1 265 1 OBES_4_AGUA 0,29 359 270 1 OBES_4_AGUA 0,29 359 275,5 358 NOBES_5_LIP <t< td=""><td>OBES_1_LIP</td><td>0,3</td><td>359,5</td><td>273,5</td><td>358</td></t<>	OBES_1_LIP	0,3	359,5	273,5	358
NOBES_1_ÁGUA 0,25 1 261,5 0,5 OBES_2_LIP 0,22 2,5 267 357 OBES_2_ÁGUA 0,23 3 277 358 NOBES_2_ÁGUA 0,23 359,5 267 359,5 NOBES_2_ÁGUA 0,23 0 268,5 358,4 OBES_3_LIP 0,23 2 264 355,3 OBES_3_ÁGUA 0,22 358 264 352,8 NOBES_3_AGUA 0,22 358 264 352,8 NOBES_3_AGUA 0,22 358 264 352,8 NOBES_3_LIP 0,25 2 259,5 1,5 NOBES_3_AGUA 0,23 1 265 1 OBES_4_LIP 0,29 359 270 1 OBES_4_AGUA 0,28 354,6 270 1,5 NOBES_4_AGUA 0,29 359 275,5 358 NOBES_5_LIP 0,28 0 262,5 4 OBES_5_AGUA	OBES_1_ÁGUA	0,29	359	276,5	4,5
OBES_2_LIP 0,22 2,5 267 357 OBES_2_AGUA 0,23 3 277 358 NOBES_2_LIP 0,23 359,5 267 359,5 NOBES_2_AGUA 0,23 0 268,5 358,4 OBES_3_LIP 0,23 2 264 355,3 OBES_3_AGUA 0,22 358 264 352,8 NOBES_3_AGUA 0,22 358 264 352,8 NOBES_3_LIP 0,25 2 259,5 1,5 NOBES_3_LIP 0,25 2 259,5 1,5 NOBES_3_LIP 0,25 2 259,5 1,5 NOBES_3_LIP 0,29 359 270 1 OBES_4_LIP 0,29 359 270 1 NOBES_4_AGUA 0,28 354,6 270 1,5 NOBES_4_AGUA 0,29 359 275,5 358 NOBES_5_LIP 0,28 0 262,5 4 OBES_5_AGUA	NOBES_1_LIP	0,24	359,5	252	355,5
OBES_2_ÁGUA 0,23 3 277 358 NOBES_2_LIP 0,23 359,5 267 359,5 NOBES_2_ÁGUA 0,23 0 268,5 358,4 OBES_3_LIP 0,23 2 264 355,3 OBES_3_ÁGUA 0,22 358 264 352,8 NOBES_3_LIP 0,25 2 259,5 1,5 NOBES_3_LIP 0,25 2 259,5 1,5 NOBES_3_LIP 0,25 2 259,5 1,5 NOBES_3_LIP 0,22 359 270 1 OBES_4_LIP 0,29 359 270 1 OBES_4_AGUA 0,28 354,6 270 1,5 NOBES_4_LIP 0,29 359 275,5 358 NOBES_4_LIP 0,29 359 275,5 357 OBES_5_LIP 0,28 0 262,5 4 OBES_5_AGUA 0,29 356 269 355 NOBES_6_LIP	NOBES_1_ÁGUA	0,25	1	261,5	0,5
NOBES_2_LIP 0,23 359,5 267 359,5 NOBES_2_AGUA 0,23 0 268,5 358,4 OBES_3_LIP 0,23 2 264 355,3 OBES_3_AGUA 0,22 358 264 352,8 NOBES_3_LIP 0,25 2 259,5 1,5 NOBES_3_AGUA 0,23 1 265 1 OBES_4_LIP 0,29 359 270 1 OBES_4_AGUA 0,28 354,6 270 1,5 NOBES_4_LIP 0,29 359 275,5 358 NOBES_4_AGUA 0,29 359 275,5 358 NOBES_4_AGUA 0,29 1,5 272,5 357 OBES_5_LIP 0,28 0 262,5 4 OBES_5_AGUA 0,29 356 269 355 NOBES_5_LIP 0,32 359,5 263,5 1,5 NOBES_6_LIP 0,27 356 275 358,5 OBES_6_AGUA </td <td>OBES_2_LIP</td> <td>0,22</td> <td>2,5</td> <td>267</td> <td>357</td>	OBES_2_LIP	0,22	2,5	267	357
NOBES_2_ÁGUA 0,23 0 268,5 358,4 OBES_3_LIP 0,23 2 264 355,3 OBES_3_ÁGUA 0,22 358 264 352,8 NOBES_3_ÁGUA 0,25 2 259,5 1,5 NOBES_3_ÁGUA 0,23 1 265 1 OBES_4_LIP 0,29 359 270 1 OBES_4_ÁGUA 0,28 354,6 270 1,5 NOBES_4_ÁGUA 0,29 359 275,5 358 NOBES_4_ÁGUA 0,29 359 275,5 357 OBES_5_LIP 0,28 0 262,5 4 OBES_5_ÁGUA 0,29 356 269 355 NOBES_5_ÁGUA 0,29 359 264 355 OBES_6_ÁGUA 0,29 359 264 355 OBES_6_ÁGUA 0,29 359 264 355 OBES_6_ÁGUA 0,3 359 274 357,5 NOBES_6_ÁGUA	OBES_2_ÁGUA	0,23	3	277	358
OBES_3_LIP 0,23 2 264 355,3 OBES_3_AGUA 0,22 358 264 352,8 NOBES_3_LIP 0,25 2 259,5 1,5 NOBES_3_AGUA 0,23 1 265 1 OBES_4_LIP 0,29 359 270 1 OBES_4_AGUA 0,28 354,6 270 1,5 NOBES_4_LIP 0,29 359 275,5 358 NOBES_4_AGUA 0,29 359 275,5 357 OBES_5_LIP 0,28 0 262,5 4 OBES_5_AGUA 0,29 356 269 355 NOBES_5_AGUA 0,29 359 264 355 OBES_6_LIP 0,32 359,5 263,5 1,5 NOBES_6_AGUA 0,29 359 264 355 OBES_6_AGUA 0,3 359 274 357,5 NOBES_6_AGUA 0,3 1,5 276 0,5 NOBES_7_LIP	NOBES_2_LIP	0,23	359,5	267	359,5
OBES_3_ÁGUA 0,22 358 264 352,8 NOBES_3_LIP 0,25 2 259,5 1,5 NOBES_3_ÁGUA 0,23 1 265 1 OBES_4_LIP 0,29 359 270 1 OBES_4_AGUA 0,28 354,6 270 1,5 NOBES_4_LIP 0,29 359 275,5 358 NOBES_4_AGUA 0,29 359 272,5 357 OBES_5_LIP 0,28 0 262,5 4 OBES_5_AGUA 0,29 356 269 355 NOBES_5_AGUA 0,29 359,5 263,5 1,5 NOBES_5_AGUA 0,29 359 264 355 OBES_6_LIP 0,32 359,5 263,5 1,5 NOBES_6_LIP 0,27 356 275 358,5 OBES_6_AGUA 0,3 359 274 357,5 NOBES_6_AGUA 0,3 2,5 263 358 OBES_7_LIP	NOBES_2_ÁGUA	0,23	0	268,5	358,4
NOBES_3_LIP 0,25 2 259,5 1,5 NOBES_3_AGUA 0,23 1 265 1 OBES_4_LIP 0,29 359 270 1 OBES_4_AGUA 0,28 354,6 270 1,5 NOBES_4_LIP 0,29 359 275,5 358 NOBES_4_AGUA 0,29 1,5 272,5 357 OBES_5_LIP 0,28 0 262,5 4 OBES_5_AGUA 0,29 356 269 355 NOBES_5_LIP 0,32 359,5 263,5 1,5 NOBES_5_AGUA 0,29 359 264 355 OBES_6_LIP 0,27 356 275 358,5 OBES_6_AGUA 0,3 359 274 357,5 NOBES_6_AGUA 0,3 2,5 263 358 OBES_7_LIP 0,23 359 257,5 356,1 OBES_7_AGUA 0,25 1,5 263,5 1,9 NOBES_7_AGUA	OBES_3_LIP	0,23	2	264	355,3
NOBES_3_AGUA 0,23 1 265 1 OBES_4_LIP 0,29 359 270 1 OBES_4_AGUA 0,28 354,6 270 1,5 NOBES_4_LIP 0,29 359 275,5 358 NOBES_4_AGUA 0,29 1,5 272,5 357 OBES_5_LIP 0,28 0 262,5 4 OBES_5_AGUA 0,29 356 269 355 NOBES_5_LIP 0,32 359,5 263,5 1,5 NOBES_5_AGUA 0,29 359 264 355 OBES_6_LIP 0,27 356 275 358,5 OBES_6_AGUA 0,3 359 274 357,5 NOBES_6_AGUA 0,3 1,5 276 0,5 NOBES_6_AGUA 0,3 2,5 263 358 OBES_7_LIP 0,23 359 257,5 356,1 OBES_7_AGUA 0,25 1,5 263,5 1,9 NOBES_7_LIP 0,3 358,5 272,5 3,1 NOBES_7_AGUA 0,33 </td <td>OBES_3_ÁGUA</td> <td>0,22</td> <td>358</td> <td>264</td> <td>352,8</td>	OBES_3_ÁGUA	0,22	358	264	352,8
OBES_4_LIP 0,29 359 270 1 OBES_4_AGUA 0,28 354,6 270 1,5 NOBES_4_LIP 0,29 359 275,5 358 NOBES_4_AGUA 0,29 1,5 272,5 357 OBES_5_LIP 0,28 0 262,5 4 OBES_5_AGUA 0,29 356 269 355 NOBES_5_LIP 0,32 359,5 263,5 1,5 NOBES_5_AGUA 0,29 359 264 355 OBES_6_LIP 0,27 356 275 358,5 OBES_6_AGUA 0,3 359 274 357,5 NOBES_6_LIP 0,3 1,5 276 0,5 NOBES_6_AGUA 0,3 2,5 263 358 OBES_7_LIP 0,23 359 257,5 356,1 OBES_7_AGUA 0,25 1,5 263,5 1,9 NOBES_7_LIP 0,3 358,5 272,5 3,1 NOBES_7_LIP </td <td>NOBES_3_LIP</td> <td>0,25</td> <td>2</td> <td>259,5</td> <td>1,5</td>	NOBES_3_LIP	0,25	2	259,5	1,5
OBES_4_ÁGUA 0,28 354,6 270 1,5 NOBES_4_LIP 0,29 359 275,5 358 NOBES_4_ÁGUA 0,29 1,5 272,5 357 OBES_5_LIP 0,28 0 262,5 4 OBES_5_LIP 0,29 356 269 355 NOBES_5_LIP 0,32 359,5 263,5 1,5 NOBES_5_AGUA 0,29 359 264 355 OBES_6_LIP 0,27 356 275 358,5 OBES_6_AGUA 0,3 359 274 357,5 NOBES_6_LIP 0,3 1,5 276 0,5 NOBES_6_AGUA 0,3 2,5 263 358 OBES_7_LIP 0,23 359 257,5 356,1 OBES_7_AGUA 0,25 1,5 263,5 1,9 NOBES_7_LIP 0,3 358,5 272,5 3,1 NOBES_7_AGUA 0,33 1,5 262 3,9	NOBES_3_AGUA	0,23	1	265	1
NOBES_4_LIP 0,29 359 275,5 358 NOBES_4_AGUA 0,29 1,5 272,5 357 OBES_5_LIP 0,28 0 262,5 4 OBES_5_AGUA 0,29 356 269 355 NOBES_5_LIP 0,32 359,5 263,5 1,5 NOBES_5_AGUA 0,29 359 264 355 OBES_6_LIP 0,27 356 275 358,5 OBES_6_AGUA 0,3 359 274 357,5 NOBES_6_LIP 0,3 1,5 276 0,5 NOBES_6_AGUA 0,3 2,5 263 358 OBES_7_LIP 0,23 359 257,5 356,1 OBES_7_AGUA 0,25 1,5 263,5 1,9 NOBES_7_LIP 0,3 358,5 272,5 3,1 NOBES_7_AGUA 0,33 1,5 262 3,9	OBES_4_LIP	0,29	359	270	1
NOBES_4_AGUA 0,29 1,5 272,5 357 OBES_5_LIP 0,28 0 262,5 4 OBES_5_AGUA 0,29 356 269 355 NOBES_5_LIP 0,32 359,5 263,5 1,5 NOBES_5_AGUA 0,29 359 264 355 OBES_6_LIP 0,27 356 275 358,5 OBES_6_AGUA 0,3 359 274 357,5 NOBES_6_AGUA 0,3 1,5 276 0,5 NOBES_6_AGUA 0,3 2,5 263 358 OBES_7_LIP 0,23 359 257,5 356,1 OBES_7_AGUA 0,25 1,5 263,5 1,9 NOBES_7_LIP 0,3 358,5 272,5 3,1 NOBES_7_AGUA 0,33 1,5 262 3,9	OBES_4_ÁGUA	0,28	354,6	270	1,5
OBES_5_LIP 0,28 0 262,5 4 OBES_5_AGUA 0,29 356 269 355 NOBES_5_LIP 0,32 359,5 263,5 1,5 NOBES_5_AGUA 0,29 359 264 355 OBES_6_LIP 0,27 356 275 358,5 OBES_6_AGUA 0,3 359 274 357,5 NOBES_6_LIP 0,3 1,5 276 0,5 NOBES_6_AGUA 0,3 2,5 263 358 OBES_7_LIP 0,23 359 257,5 356,1 OBES_7_AGUA 0,25 1,5 263,5 1,9 NOBES_7_LIP 0,3 358,5 272,5 3,1 NOBES_7_AGUA 0,33 1,5 262 3,9	NOBES_4_LIP	0,29	359	275,5	358
OBES_5_ÁGUA 0,29 356 269 355 NOBES_5_LIP 0,32 359,5 263,5 1,5 NOBES_5_ÁGUA 0,29 359 264 355 OBES_6_LIP 0,27 356 275 358,5 OBES_6_ÁGUA 0,3 359 274 357,5 NOBES_6_LIP 0,3 1,5 276 0,5 NOBES_6_ÁGUA 0,3 2,5 263 358 OBES_7_LIP 0,23 359 257,5 356,1 OBES_7_ÁGUA 0,25 1,5 263,5 1,9 NOBES_7_LIP 0,3 358,5 272,5 3,1 NOBES_7_ÁGUA 0,33 1,5 262 3,9	NOBES_4_ÁGUA	0,29	1,5	272,5	357
NOBES_5_LIP 0,32 359,5 263,5 1,5 NOBES_5_AGUA 0,29 359 264 355 OBES_6_LIP 0,27 356 275 358,5 OBES_6_AGUA 0,3 359 274 357,5 NOBES_6_LIP 0,3 1,5 276 0,5 NOBES_6_AGUA 0,3 2,5 263 358 OBES_7_LIP 0,23 359 257,5 356,1 OBES_7_AGUA 0,25 1,5 263,5 1,9 NOBES_7_LIP 0,3 358,5 272,5 3,1 NOBES_7_AGUA 0,33 1,5 262 3,9	OBES_5_LIP	0,28	0	262,5	4
NOBES_5_ÁGUA 0,29 359 264 355 OBES_6_LIP 0,27 356 275 358,5 OBES_6_ÁGUA 0,3 359 274 357,5 NOBES_6_LIP 0,3 1,5 276 0,5 NOBES_6_ÁGUA 0,3 2,5 263 358 OBES_7_LIP 0,23 359 257,5 356,1 OBES_7_ÁGUA 0,25 1,5 263,5 1,9 NOBES_7_LIP 0,3 358,5 272,5 3,1 NOBES_7_ÁGUA 0,33 1,5 262 3,9	OBES_5_ÁGUA	0,29	356	269	355
OBES_6_LIP 0,27 356 275 358,5 OBES_6_ÁGUA 0,3 359 274 357,5 NOBES_6_LIP 0,3 1,5 276 0,5 NOBES_6_ÁGUA 0,3 2,5 263 358 OBES_7_LIP 0,23 359 257,5 356,1 OBES_7_ÁGUA 0,25 1,5 263,5 1,9 NOBES_7_LIP 0,3 358,5 272,5 3,1 NOBES_7_ÁGUA 0,33 1,5 262 3,9	NOBES_5_LIP	0,32	359,5	263,5	1,5
OBES_6_ÁGUA 0,3 359 274 357,5 NOBES_6_LIP 0,3 1,5 276 0,5 NOBES_6_ÁGUA 0,3 2,5 263 358 OBES_7_LIP 0,23 359 257,5 356,1 OBES_7_ÁGUA 0,25 1,5 263,5 1,9 NOBES_7_LIP 0,3 358,5 272,5 3,1 NOBES_7_ÁGUA 0,33 1,5 262 3,9	NOBES_5_AGUA	0,29	359	264	355
NOBES_6_LIP 0,3 1,5 276 0,5 NOBES_6_AGUA 0,3 2,5 263 358 OBES_7_LIP 0,23 359 257,5 356,1 OBES_7_AGUA 0,25 1,5 263,5 1,9 NOBES_7_LIP 0,3 358,5 272,5 3,1 NOBES_7_AGUA 0,33 1,5 262 3,9	OBES_6_LIP	0,27	356	275	358,5
NOBES_6_ÁGUA 0,3 2,5 263 358 OBES_7_LIP 0,23 359 257,5 356,1 OBES_7_ÁGUA 0,25 1,5 263,5 1,9 NOBES_7_LIP 0,3 358,5 272,5 3,1 NOBES_7_ÁGUA 0,33 1,5 262 3,9	OBES_6_ÁGUA	0,3	359	274	357,5
OBES_7_LIP 0,23 359 257,5 356,1 OBES_7_ÁGUA 0,25 1,5 263,5 1,9 NOBES_7_LIP 0,3 358,5 272,5 3,1 NOBES_7_ÁGUA 0,33 1,5 262 3,9	NOBES_6_LIP	0,3	1,5	276	0,5
OBES_7_ÁGUA 0,25 1,5 263,5 1,9 NOBES_7_LIP 0,3 358,5 272,5 3,1 NOBES_7_ÁGUA 0,33 1,5 262 3,9	NOBES_6_ÁGUA	0,3	2,5	263	358
NOBES_7_LIP 0,3 358,5 272,5 3,1 NOBES_7_ÁGUA 0,33 1,5 262 3,9	OBES_7_LIP	0,23	359	257,5	356,1
NOBES_7_ÁGUA 0,33 1,5 262 3,9	OBES_7_ÁGUA	0,25	1,5	263,5	1,9
	NOBES_7_LIP	0,3	358,5	272,5	3,1
	NOBES_7_ÁGUA	0,33	1,5	262	3,9
OBES_8_LIP 0,28 353,5 283 356	OBES_8_LIP	0,28	353,5	283	356
OBES_8_ÁGUA 0,32 0 272 356,4	OBES_8_ÁGUA	0,32	0	272	356,4
NOBES_8_LIP 0,28 3,6 267,5 2	NOBES_8_LIP	0,28	3,6	267,5	2

NOBES_8_ÁGUA	0,27	359	271,5	357,5
OBES_9_LIP	0,29	354	280	0,5
OBES_9_ÁGUA	0,3	0,5	277	356,5
NOBES_9_LIP	0,28	355,5	290	359
NOBES_9_ÁGUA	0,28	357,5	276,5	1,5
OBES_10_LIP	0,31	0,5	259,5	358,9
OBES_10_ÁGUA	0	263	263	356,4
NOBES_10_LIP	0,27	2	276	2
NOBES_10_ÁGUA	0,31	1,5	267,5	0,9

S
ados
\mathbf{z}
Dac
a)
g
0
3anco
ā
щ
ij
5 - E
pêndice 5 - E

ХС	69.7	65.4	7.97	67.5	78.7	29	689	87.6	76.3	64.4	65.2	58.6	75	6.99	56.8	72.6	67.4	57.9	69.2	89	68.5	64.8	9.6	68.1	69.3	67.1	74.7	76.8	77.6	66.5	60.5	61.6
resis	594.3	599.3	661.3	595.3	631.6	625.2	643.6	9.089	622.9	582.9	549.9	475.4	556.1	521.2	484.5	598.5	488.7	448.5	582.6	502.9	627.2	009	671.1	600.7	584.9	647.8	8.77.9	9.999	691.4	614.6	518.6	490.5
ree	1436.86	1585.66	1242.15	1103.23	1357.39	1417.8	1143.31	1214.95	1210.44	1251.37	1801.38	1652.22	1530.81	1800.77	1495.35	1371.74	1441.65	1584	1539	1560.9	1406.69	1548.06	1254.73	1035.8	1313.08	1299.05	1053.1	1108.68	1422.13	1091.75	1715.9	1873.85
qr	0.81	0.88	0.79	98.0	0.78	0.82	0.75	0.99	0.77	89.0	92.0	0.91	0.78	0.83	0.75	0.87	6.0	0.72	6.0	0.7	8.0	0.72	0.7	98.0	0.7	6.0	0.35	0.84	92.0	0.77	0.71	0.77
vco2	169.16	199.86	142.8	136.17	155.333	168.48	125.93	167.047	137.089	127.331	201.24	212.33	174.93	216.7	165.61	170.47	184.25	170.27	197.03	163.46	163.82	165.69	131.35	128.51	137.38	166.95	61.14	135.1	159.57	124.041	183.29	212.49
vo2	208.56	225.85	181.42	158.08	198.49	205.28	168.79	168.495	177.469	188.178	265.01	233.99	223.93	259.85	220.27	196.17	204.51	235.23	218.2	233.21	204.77	230.12	187.48	148.2	196.22	183.97	173.42	159.43	208.99	159.938	255.18	274.64
pad	20	9	09	9	80	80	09	20	70	78	80	20	80	78	65	80	80	20	70	80	70	20	09	9	70	9	80	70	4	78	70	09
pas	120	100	100	100	120	110	110	106	100	112	127	130	130	120	163	120	120	06	100	120	110	100	06	100	100	06	120	100	96	112	110	110
imc	19.71	21.13	19.74	18.75	22.33	23.3	23.15	19.56	22.88	20.2	35.92	33.49	31.97	36.36	32.64	32.54	36.71	38.71	31	36.26	19.54	21.16	19.82	18.83	22.46	22.98	22.94	19.98	22.77	20.17	35.47	32.77
altura	1.69	1.695	1.59	1.575	1.705	1.77	1.66	1.61	1.67	1.69	1.64	1.7	1.57	1.665	1.64	1.65	1.55	1.6	1.7	1.565	1.69	1.695	1.59	1.575	1.705	1.77	1.66	1.61	1.67	1.69	1.64	1.7
beso	56.3	60.7	49.9	46.5	64.9	73	8.89	20.7	63.8	27.7	9.96	8.96	78.8	100.8	87.8	88.6	88.2	99.1	9.68	88.8	55.8	8.09	50.1	46.7	65.3	72	63.2	51.8	63.5	27.6	95.4	94.7
idade	27.91	29.85	30.93	34.07	34.78	27.4	24.7	39.12	22.65	30.73	33.62	25.85	19.39	28.52	38.96	30.02	26.73	29.34	31.57	39.01	27.98	29.91	30.83	34.13	34.63	27.5	24.83	39.18	22.14	30.66	33.68	26.29
fase	lip	lip	lip	lip	lip	lip	lip	lip	lip	lip	lip	lip	lip	lip	lip	lip	lip	lip	lip	lip	ágna	ágna	ágna	ágna	ágna	ágna	ágna	ágna	ágna	ágna	ágna	água
grupo	nobes	nobes	nopes	nopes	nobes	nobes	nobes	nobes	nopes	nopes	opes	opes	opes	opes	nobes	nobes	nopes	nobes	nopes	nobes	nopes	nobes	nobes	nobes	opes	opes						
										_																						

4	70.1	9.	∞	1.		ζ.	Ξ.																				
∞	7	59	7	73	57	89	71																				
614	513.1	500.6	626.8	516.8	462.8	566.4	482.8																				
1449.09	1607.44	1481.3	1462.44	947.06	1380.47	1504.2	1588.92																				
0.81	0.84	0.77	0.93	0.92	96.0	6.0	0.41																				
171.64	194.99	167.6	192.1	123.59	185.68	193.45	105.94																				
210	231.44	217.23	205.75	133.51	192.8	212.98	257.17																				
70	80	9	80	80	80	80	80	70	20	9	20	9	9	20	70	74	78	92	20	09	80	80	80	80	9	80	0/
110	110	100	120	120	120	110	100	120	120	100	80	110	110	90	110	116	112	128	130	96	110	120	120	120	110	120	130
32.05	36.25	32.94	32.8	36.8	39.18	31.38	36.3	19.71	21.23	19.86	18.7	22.02	23.62	23.08	20.02	22.88	19.68	37.55	33.49	31.81	36.29	33.5	32.03	36.8	38.83	30.66	36.26
1.57	1.665	1.64	1.65	1.55	1.6	1.7	1.565	1.69	1.7	1.59	1.58	1.71	1.77	1.66	1.61	1.67	1.69	1.64	1.7	1.57	1.67	1.64	1.65	1.55	1.6	1.7	1.57
79	100.5	9.88	89.3	88.4	100.3	7.06	88.9	56.3	61	50.2	46.4	64	74	63.6	51.9	63.8	56.2	101	8.96	78.4	100.6	90.1	87.2	88.4	99.4	9.88	88.8
19.01	28.42	39.13	30.44	26.67	29.2	31.55	39.26	27.81	29.82	30.74	33.92	34.35	27.33	24.49	39.05	22.09	30.6	33.47	25.74	18.83	28.23	38.85	29.97	26.57	29.11	31.41	38.81
água	ágna	ágna	ágna	ágna	ágna	ágna	ágna	triagem	triagem	triagem	triagem	triagem	triagem	triagem	triagem	triagem	triagem	triagem	triagem	triagem							
opes	opes	opes	opes	opes	opes	opes	opes	nobes	nobes	nobes	opes	opes	opes														
3	4	2	9	7	∞	6	10	1	2	3	4	5	9	7	∞	6	10	_	7	3	4	5	9	7	∞	6	10

		_																											,,,,,,			
00134;	0 E	5.5 7.91	5.32	3.32	3.89	5.42	3.21	7.31	4.75	4.5	9.78	1.74	10.8	9.78	13.2	4.35	10.9	5.87	3.63	5.53	1.47	2.05	2.05	3.72	4.01	5.87	2.71	5.02	2.86	2.42	5.6	2.05
1901160	00108111	3.28	4.42	3.89	2.5	4.58	0.904	1.37	1.74	4.07	9.19	2.74	13.4	8.7	3.29	1.37	1.37	5.32	1.37	1.99	1.67	1.57	5.6	3.35	1.82	5.42	3.54	6.75	4.01	3.35	2.51	1.86
inen120	OCIDENI	6.35	8.06	7.16	4.84	4.84	4.01	7.75	7.45	5.98	10.2	3.32	13.4	14.6		6.29	14.9	13.2	5.22	11.3	1.74	1.74	1.74	1.86	1.49	1.62	1.49	2.5	2.12	1.62	2.24	1.86
inen10	Olusiii	4.4 5.3	10	7.8	1.5	3.6	-	7	9.9	5.5	15	2.1	12	11	5.6	33	1.5	3.2	4.5	15	1.5	1.3	2.9	2.2	1.7	5.3	2	3.7	6.3	3.7	2.2	2.6
tria120	124	154	97.9	49.8	103	65.8	123	69.3	130	78.4	6.79	78.8	99.3	79.3	97.5	125	85.3	19.7	119	135	2.66	8.98	6.3	46.4	86.5	36	92.2	114	105	49.9	98.3	61.5
000111	1330	123	110	42.2	79.7	47.8	102	63.8	124	9.6	61.4	98.6	82.9	26	92.2	113	83.6	28	9.78	123	95.5	68.9	83.3	42.8	109	32.6	100	120	101	58.5	106	61.9
triago	105	102	92.3	40.8	57.9	47.1	101	71.8	97.1	78	54.1	61.1	67.5	9.69	81.2	107	77.8	40	82.7	101	101	76.1	91.4	46.9	75.5	31.3	89.3	120	66.2	57.3	102	57.9
tri030	110	91.9	96.4	24	81.2	48.3	92.9	<i>L</i> 9	92	45	83.7	78.7	69.4	6.79		122	85	45.4	2.96	110	91.7	83.5	72.7	46.4	76.5	33.4	106	92.8	89	20	102	57.7
(mim)	112	86.6	89.8	31	73.4	41.8	92.3	66.5	87.3	53.5	73.1	<i>L</i> 9	74.1	9.99	82.8	114	70.4	44.1	8.98	110	122	4	9.92	38.7	85.5	32.2	26	8.86	90.1	64.1	108	61.6
oli 120	67.66	74.43	81.52	74.99	76.88	66.72	99.19	86.16	79.08	78.3	81.84	67.64	75.79	72.39	78.79	<i>19.69</i>	80.23	54.86	81.92	79.53	64.88	78.58	78.66	91.62	80.34	62.46	66.29	82.43	78.17	81.49	80.2	82.21
01100	50 17	39.17	72.2	71.13	67.37	69.94	63.9	87.56	76.23	90.41	81.49	82.87	80.55	67.13	89.55	77.2	76.15	82.08	73.2	78.42	68.56	80.81	81.11	78.02	71.79	65.13	91.19	84.6	83.65	83.28	82.18	83.5
01160	71.97	78.85	77.51	75.25	78.43	68.16	62.79	81.5	75.17	77.46	84.01	61.1	76.32	75.59	90.34	64.16	69.02	79.3	73.47	79.42	73.35	75.53	62.97	73.43		<i>L.</i> 7.9	62.79	86.32	78.91	78.02	81.26	9.92
01:30	65 0A	78.99	85.56	70.53	73.9	73.26	65.42	77.48	76.31	89.12	76.47	78	83.47	75.65		78.55	78.17	86.17	76.01	84.84	80.89	82.32	74.73	75.93	74.85	70.34	66.4	80.7	76.21	81	79.53	78.19
oliO	77 1	87.5	71.4	9.6	79.9	73.6	62.9	80	77.8	9.98	87.1	77.8	83.3	77.4	82.8	71.2	76.5	60.1	73.9	83.2	75.2	76.5	56.4	71.7	72.4	75.4	63.5	84.7	76.3	78.7	79.5	82
Ę,	15.00	17.45	12.7	9.5	19.94	25.57	22.03	11.98	21.29	14.72	42.51	39.44	31.99	41.47	35.48	39.24	34.91	38.53	38.31	37.18	14.52	17.63	12.77	6.77	19.57	25.7	21.93	13.81	21.95	15.68	38.5	38.4

lep60 0.69
3.3
1.8
2.6
4.6
3.5
5.1
6.2
22 14